

**ANALISIS MODEL MATEMATIKA PADA PENYEBARAN
PENYAKIT POLIO DENGAN PENGARUH VAKSINASI DAN
MATERNAL ANTIBODY**



SKRIPSI

**Diajukan Untuk Memenuhi Salah Satu Syarat Meraih Gelar
Sarjana Matematika Program Studi Matematika
Pada Fakultas Sains Dan Teknologi
UIN Alauddin Makassar**

Oleh:

SRI WAHYUNI

NIM. 60600119044

**JURUSAN MATEMATIKA
FAKULTAS SAINS DAN TEKNOLOGI**

UIN ALAUDDIN MAKASSAR

2023

PERNYATAAN KEASLIAN SKRIPSI

Mahasiswa yang bertanda tangan di bawah ini:

Nama : Sri Wahyuni
NIM : 60600119044
Tempat/Tgl. Lahir : Sinjai, 2 Februari 2002
Jurusan : Matematika
Fakultas : Sains dan Teknologi
Judul : Analisis Model Matematika pada Penyebaran Penyakit
Polio dengan Pengaruh Vaksinasi dan Maternal Antibody

Menyatakan dengan sesungguhnya dan penuh kesadaran bahwa skripsi ini benar adalah hasil karya sendiri. Jika dikemudian hari terbukti bahwa ia merupakan duplikat, tiruan, plagiat, atau dibuat oleh orang lain, Sebagian atau seluruhnya, maka skripsi dan gelar yang diperoleh karenanya batal demi hukum.

Gowa, Mei 2023

Penyusun



Sri Wahyuni

NIM.60600119044

UNIVERSITAS ISLAM NEGERI
ALAUDDIN
MAKASSAR

PENGESAHAN SKRIPSI

Skripsi yang berjudul “Analisis Model Matematika pada Penyebaran Penyakit Polio dengan Pengaruh Vaksinasi dan Maternal Antibody”, yang disusun oleh Saudari **Sri Wahyuni**, Nim: **60600119044** Mahasiswa Jurusan Matematika pada Fakultas Sains dan Teknologi Universitas Islam Negeri (UIN) Alauddin Makassar, telah diuji dan dipertahankan dalam sidang *munaqasyah* yang diselenggarakan pada hari Rabu tanggal **16 Mei 2023 M**, bertepatan dengan **25 Syawal 1444 H**, dinyatakan telah dapat diterima sebagai salah satu syarat untuk memperoleh gelar Sarjana Matematika (S.Mat).

Makassar, 16 Mei 2023 M
25 Syawal 1444 H

DEWAN PENGUJI

Ketua : Prof. Dr. Muhammad Halifah Mustami, M.Pd.(.....)
Sekretaris : Wahidah Alwi, S.Si., M.Si. (.....)
Munaqisy I : Try Azisah Nurman, S.Pd., M.Pd. (.....)
Munaqisy II : Rofia Masrifah, S.Pd. I., M.Pd. I (.....)
Pembimbing I : Hikmawati Pathuddin, S.Pd., M.Si. (.....)
Pembimbing II : Muh. Irwan, S.Si., M.Si. (.....)

Diketahui oleh:

Dekan Fakultas Sains dan Teknologi
UIN Alauddin Makassar

Prof. Dr. Muhammad Halifah Mustami, M.Pd
Nip. 19710412 200003 1 001

MOTTO

Oloi oloi

(Hadapi dan Lalui)

“Boleh jadi kamu membenci sesuatu padahal ia amat baik bagimu, dan boleh jadi pula kamu menyukai sesuatu padahal ia amat buruk bagimu, Allah Mengetahui sedang kamu tidak mengetahui”

(QS. Al-Baqarah/2:216)

PERSEMBAHAN

Ku persembahkan sebuah karya kecil ini untuk Ayahanda H. Usman dan Ibunda saya Hj. Kambe T, S.Pd. tercinta, yang tiada hentinya selama ini memberi doa, semangat, nasehat, kasih sayang, dan pengorbanan yang tak tergantikan hingga Ananda selalu tegar menjalani setiap rintangan. “Ya Allah Ya Rahman, Ya Rahim, terimakasih telah engkau tempatkan hamba diantara kedua malaikatMu yang setiap waktu ikhlas menjagaku, mendidikku, membimbingku dengan baik, ya Allah berukanlah balasan yang setimpal syurga Firdaus untuk mereka dan jauhkanlah mereka nanti dari siksaanMu”, Aamiin.

Terima kasih Bapak... Terima kasih Mmi...

KATA PENGANTAR

بِسْمِ اللَّهِ الرَّحْمَنِ الرَّحِيمِ

Ucapan *Alhamdulillah* selalu terucap sebagai bentuk puji syukur atas kehadiran Allah *Subhanahu Wa Ta'ala* yang telah melimpahkan segala nikmat, rahmat dan hidayah-Nya sehingga penulis dapat menyelesaikan draf skripsi yang berjudul “**Analisis Model Matematika pada Penyebaran Penyakit Polio dengan Pengaruh Vaksinasi dan Maternal Antibody**”. Tidak terlupakan shalawat serta salam senantiasa tercurahkan kepada Rasulullah *Sallallahu Alaihi Wasallam* suri tauladan yang baik sepanjang masa, kepada para istri beliau, keluarga, sahabat, *tabi'in*, serta para pengikutnya yang senantiasa istiqamah di jalan-Nya.

Skripsi ini disusun sebagai salah satu syarat akademik dalam menyelesaikan study (S1) Jurusan Matematika Fakultas Sains dan Teknologi Universitas Islam Negeri Alauddin Makassar. Skripsi ini disusun dengan usaha yang sungguh-sungguh dari penulis, dengan mengerahkan semua ilmu yang telah diperoleh selama proses perkuliahan. Pada penulisan dan penyusunan skripsi ini tentunya memiliki hambatan dan tantangan, namun berkat bantuan dan berbagai pihak serta kekuatan do'a yang tidak pernah padam terutama dari kedua orang tua sosok motivator terhebat yang tiada duanya, ayah saya **H. Usman** dan ibu saya **Hj. Kambe T, S.Pd.** yang dengan penuh kasih sayang merawat saya dari bayi, penyemangat, dan semua hal baik bersumber darinya. Terima kasih yang sebesar-besarnya Mmi, Pa. Tidak terlupakan kakak-kakak saya Mulawarman, S.Si., Wilda Angraeni S.Si., dan Kurniati, S.Kep. yang selalu memberikan saya dukungan dan semangat.

Tanpa adanya bantuan, bimbingan dan dukungan dari berbagai pihak penulis tidak akan bisa menyelesaikan skripsi ini. Sehingga, pada kesempatan ini penulis menghaturkan banyak terima kasih dan penghargaan yang setinggi-tingginya, kepada :

1. Bapak Prof. Drs. Hamdan Juhanis, M.A, Ph.D., selaku Rektor Universitas Islam Negeri Alauddin Makassar, jajaran Wakil Rektor, serta Staff/Pegawai atas seluruh bantuannya selama penulis melaksanakan pendidikan di kampus.
2. Bapak Prof. Dr. Muhammad Khalifah Mustami, M.Pd., selaku Dekan Fakultas Sains dan Teknologi Universitas Islam Negeri Alauddin Makassar, jajaran Wakil Dekan, Dosen pengajar beserta staf/pegawai atas seluruh bantuannya selama penulis melaksanakan pendidikan di Fakultas Sains dan Teknologi Universitas Islam Negeri Alauddin Makassar.
3. Ibu Wahidah Alwi, S.Si., M.Si., selaku Ketua Program Studi Matematika Fakultas Sains dan Teknologi Universitas Islam Negeri Alauddin Makassar yang selalu bersedia membimbing dan memberikan solusi serta nasihat kepada penulis.
4. Ibu Hikmawati Pathuddin, S.Pd.,M.Si., Dosen Pembimbing I yang telah dengan sabar meluangkan waktu, tenaga dan pikiran untuk memberikan penulis arahan, saran dan motivasi yang sangat bermanfaat serta membantu penulis selama menyelesaikan skripsi ini.
5. Bapak Muh. Irwan, S.Si.,M.Si., selaku Dosen Pembimbing II yang telah bersedia meluangkan waktu, tenaga dan pikiran serta memberikan motivasi, arahan dan saran yang sangat bermanfaat dalam proses penyusunan skripsi ini.

6. Ibu Try Azisah Nurman, S.Pd.,M.Pd., selaku Penguji I sekaligus dosen Pembimbing Akademik (PA) dan Ibu Rofiah Musrifah, S.Pd.I., M.Pd.I, selaku Penguji II yang telah memberikan saran dan masukan kepada penulis dalam menyelesaikan skripsi ini.
7. Segenap Dosen dan Staf Prodi Matematika Fakultas Sains dan Teknologi Universitas Islam Negeri Alauddin Makassar yang telah membekali ilmu pengetahuan, bimbingan dan arahan.
8. Teman seperjuangan A19ORITMA, Matematika Angkatan 2019, yang selalu memberikan semangat, Nurul Qurani, S.Mat., Nurinayah Anwar, S.Mat. yang bersedia direpotkan, serta Ahkhiriani Assyiamanah, S.Mat. yang telah membersamai penulis sejak maba hingga sekarang, menjadi sahabat yang baik dan memberikan semangat dalam proses penyelesaian skripsi ini.
9. Kepada pemilik NIM 90200119064 terima kasih telah membersamai penulis pada hari-hari yang tidak mudah, telah berkontribusi banyak dan senantiasa sabar mendengar keluh, kesah dan tangis selama proses penyusunan skripsi ini.
10. Sahabat seperjuangan KKN Angkatan 70 Posko 3 Desa Manera, Farid, Uke, Nita, Rizna, Putri, Anci, Uci, Ekky, dan Kak Gandhi serta rekan-rekan KKN Angkatan 70 Kecamatan Salomekko, Bone yang senantiasa memberikan semangat dan dukungannya selama proses penyusunan skripsi ini.
11. Semua pihak terkait yang tidak dapat penulis sebutkan satu persatu yang telah membantu dalam penyelesaian skripsi ini.

Penulis menyadari bahwa skripsi ini banyak kekurangan dan masih perlu ditingkatkan kualitasnya baik pada teknik penulisan, materi, maupun metode

penelitian yang digunakan. Mengingat kemampuan yang penulis miliki masih kurang, untuk itu kritik dan saran yang membangun sangat diharapkan.

Akhir kata, penulis berharap semoga Allah *Subhanahu Wa Ta'ala* membalas semua jasa yang telah diberikan kepada penulis. Semoga kripsi ini dapat memberikan manfaat bagi kita semua. Terima kasih.

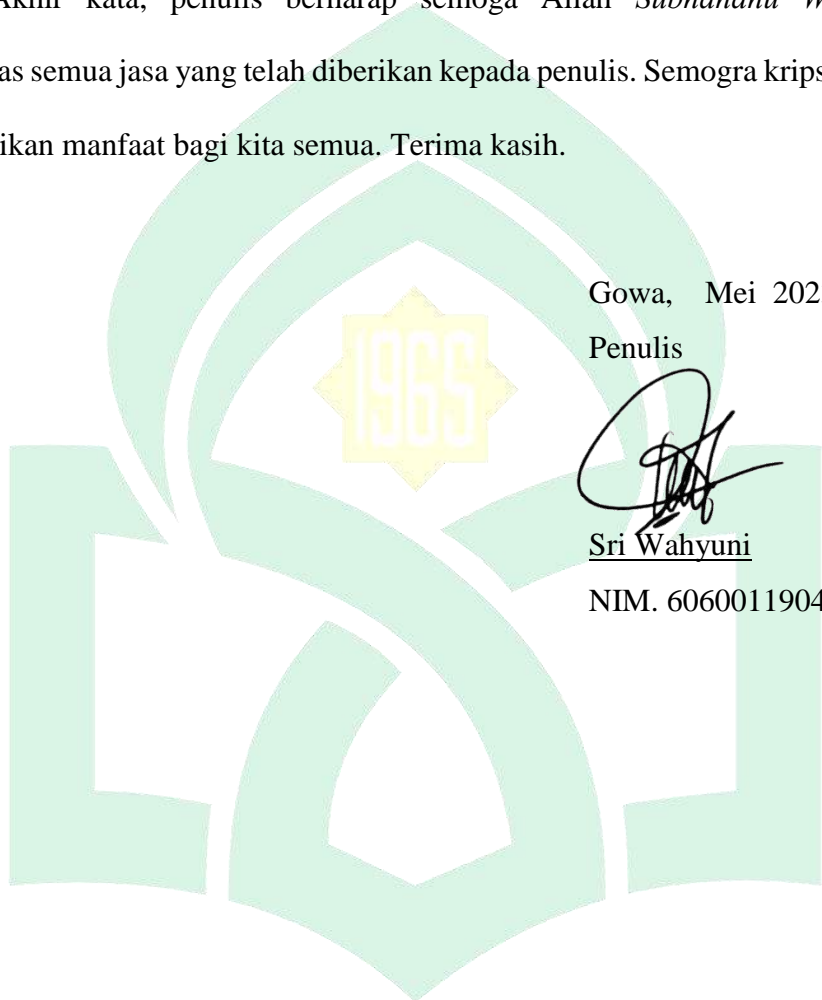
Gowa, Mei 2023

Penulis



Sri Wahyuni

NIM. 60600119044

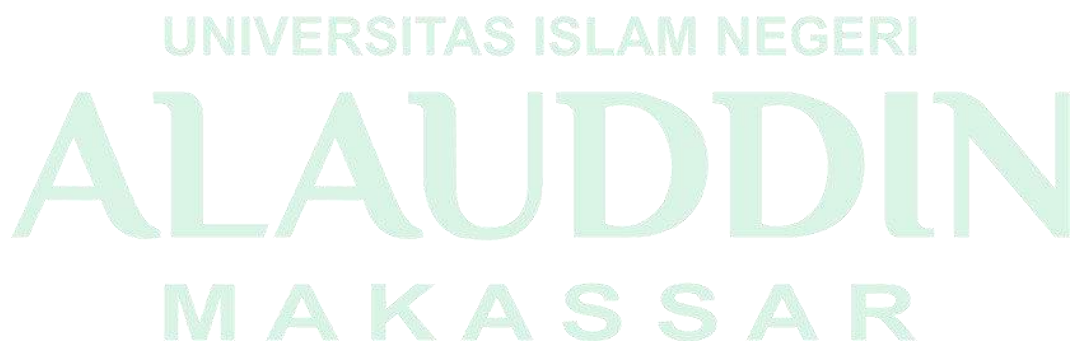


UNIVERSITAS ISLAM NEGERI
ALAUDDIN
MAKASSAR

DAFTAR ISI

PERNYATAAN KEASLIAN SKRIPSI.....	ii
PENGESAHAN SKRIPSI	iii
MOTTO DAN PERSEMBAHAN	iv
KATA PENGANTAR	v
DAFTAR ISI.....	ix
DAFTAR TABEL.....	xi
DAFTAR GAMBAR	xii
DAFTAR SIMBOL.....	xiii
ABSTRAK.....	xv
ABSTRACT.....	xvi
BAB I PENDAHULUAN.....	1
A. Latar Belakang	1
B. Rumusan Masalah	5
C. Tujuan Penelitian	5
D. Manfaat Penelitian	6
E. Batasan Masalah.....	6
F. Sistematika Penulisan	7
BAB II TINJAUAN PUSTAKA.....	9
A. Pemodelan Matematika.....	9
B. Persamaan Diferensial.....	10
C. Sistem Persamaan Diferensial.....	10
D. Titik Keseimbangan (Ekuilibrium).....	12
E. Nilai Eigen	12
F. Kestabilan Titik Keseimbangan.....	13
G. Pelinearan.....	14
H. Kriteria Routh-Hurwitz.....	16
I. Bilangan Reproduksi dasar (R_0).....	17
J. Penyakit Polio	19
K. Model SEIV dan Maternal Antibody.....	22

L. Estimasi Parameter Model Epidemiologi	24
BAB III METODOLOGI PENELITIAN	26
A. Jenis Penelitian.....	26
B. Waktu Penelitian	26
C. Variabel dan Definisi Operasional Variabel	26
D. Prosedur Penelitian.....	27
E. Kerangka Berfikir.....	28
BAB IV HASIL DAN PEMBAHASAN	30
A. Hasil Penelitian	30
B. Pembahasan	73
BAB V PENUTUP.....	78
A. Kesimpulan	78
B. Saran.....	79
DAFTAR PUSTAKA	80
LAMPIRAN.....	82
DAFTAR RIWAYAT HIDUP.....	99



DAFTAR TABEL

Tabel 2. 1 Kestabilan Titik Ekuilibrium Sistem Dinamik.....	13
Tabel 2. 2 <i>Routh-Hurwitz</i>	16
Tabel 2. 3 Definisi dan Formulasi Parameter dalam model MSEIV.....	25
Tabel 4. 1 Variabel dan Parameter.....	31
Tabel 4. 2 Kriteria <i>Routh-Hurwitz</i>	58
Tabel 4. 3 Nilai Awal.....	63
Tabel 4. 4 Nilai Parameter.....	64
Tabel 4.5 Nilai R_0 dan titik kesetimbangan dengan pemberian vaksin pada subpopulasi <i>susceptible</i> sebesar 0 hingga 100%.....	67



DAFTAR GAMBAR

Gambar 2.1 Diagram Transmisi Penyebaran penyalit polio (Agarwal & Bhadauria, 2011)	23
Gambar 3.1 Kerangka Berfikir	29
Gambar 4.1 Diagram transmisi penyebaran penyakit polio	31
Gambar 4.2 Grafik titik $M(t)$, $S(t)$, $E(t)$, $I(t)$, dan $V(t)$ terhadap t saat $\beta = 0.0049$	65
Gambar 4.3 Grafik titik $M(t)$, $S(t)$, $E(t)$, $I(t)$, dan $V(t)$ terhadap t saat $\beta = 0.8589$ dan tanpa vaksinasi	69
Gambar 4.4 Grafik titik $M(t)$, $S(t)$, $E(t)$, $I(t)$, dan $V(t)$ terhadap t saat $\beta = 0.8589$ dengan minimum vaksinasi 70%	72

DAFTAR SIMBOL

- N : Total Populasi,
- M : Jumlah individu yang baru lahir dan dilindungi imun pasif yang diperoleh dari ibu,
- S : Jumlah individu yang rentan terinfeksi penyakit,
- E : Jumlah individu laten,
- I : Jumlah individu yang terinfeksi penyakit polio dan dapat menularkan penyakit polio,
- V : Jumlah individu yang telah divaksin,
- b : Laju kelahiran populasi,
- δ : Laju perpindahan dari populasi imun pasif (*maternal antibody*) ke populasi rentan (*susceptible*),
- β : Laju penularan infeksi oleh populasi terinfeksi(*infected*),
- r : Laju Pengurangan penularan infeksi oleh populasi laten (*exposed*),
- μ : Laju kematian alami,
- α : Laju kematian yang diakibatkan penyakit polio,
- ε : Laju perpindahan dari keadaan laten (*exposed*) menuju keadaan terinfeksi,
- ω : Laju perubahan populasi rentan (*susceptible*) yang pindah ke populasi vaksin (*vaccinated*),
- ω_1 : Laju populasi laten (*exposed*) yang divaksinasi karena gejala polio belum terlihat,
- $\frac{dM}{dt}$: Laju perubahan subpopulasi *maternal antibody* terhadap waktu,
- $\frac{dS}{dt}$: Laju perubahan subpopulasi *susceptible* terhadap waktu,
- $\frac{dE}{dt}$: Laju perubahan subpopulasi *exposed* terhadap waktu,
- $\frac{dI}{dt}$: Laju perubahan subpopulasi *infected* terhadap waktu,

- $\frac{dV}{dt}$: Laju perubahan subpopulasi *vaccinated* terhadap waktu,
 E_0 : Titik kesetimbangan bebas penyakit polio,
 E_1 : Titik kesetimbangan endemik penyakit polio,
 R_0 : Nilai reproduksi dasar,
 R_{0e} : Infeksi sekunder oleh satu individu *exposed*,
 R_{0i} : Infeksi sekunder oleh satu individu *infected*,
 λ : Nilai eigen,
 J_{E_0} : Matriks Jacobian kesetimbangan bebas penyakit,
 J_{E_1} : Matriks Jacobian kesetimbangan endemik penyakit.

ABSTRAK

Nama Penyusun : Sri Wahyuni
NIM : 60600119044
Judul : Analisis Model Matematika pada Penyebaran Penyakit Polio dengan Pengaruh Vaksinasi dan Maternal Antibody

Polio (*poliomyelitis*) merupakan penyakit menular berbahaya yang menyerang jaringan saraf dan dapat menyebabkan kelumpuhan permanen. Penelitian ini membahas penyebaran penyakit polio dengan menggunakan model matematika *Maternal Antibody, Susceptible, Exposed, Infected, Vaccinated* (MSEIV). Penelitian ini bertujuan untuk mengetahui bagaimana model matematika, bagaimana menganalisis kestabilan titik kesetimbangan dari model MSEIV, serta menentukan proporsi minimum vaksin yang diberikan pada populasi *susceptible* untuk mencegah penyakit polio. Berdasarkan hasil penelitian diperoleh model MSEIV penyebaran penyakit polio yang terdiri dari lima kompartemen dengan setiap kompartemen menginterpretasikan laju perubahan jumlah populasi. Dari model diperoleh titik kesetimbangan bebas penyakit yang stabil asimtotik jika dan hanya jika $R_0 < 1$, dan kesetimbangan endemik penyakit jika dan hanya jika $R_0 > 1$. Simulasi model dilakukan pada kejadian polio di Indonesia pada tahun 2005 dengan memperhatikan pemberian vaksin pada populasi *susceptible*. Diperlukan minimal 70% vaksin yang diberikan pada populasi *susceptible* untuk menghilangkan penyakit dari populasi.

Kata kunci: Pemodelan Matematika, Titik Kesetimbangan, Bilangan Reproduksi Dasar, Polio, MSEIV

UNIVERSITAS ISLAM NEGERI
ALAUDDIN
MAKASSAR

ABSTRACT

Name : Sri Wahyuni
NIM : 60600119044
Title : **Analysis of Mathematical Models on the Spread of Polio Disease with the Effect of Vaccination and Maternal Antibody**

Polio (poliomyelitis) is a dangerous infectious disease that infects the nervous system and can cause permanent paralysis. This research studies the spread of polio using the Maternal Antibody, Susceptible, Exposed, Infected, Vaccinated (MSEIV) mathematical model. This study aims to find out how to make a mathematical model, how to analyze the stability of the equilibrium point of the MSEIV model, and how to determine the minimum proportion of vaccine given to a susceptible population to prevent polio. Based on the research results, it was obtained that the MSEIV model of the spread of polio consisted of five compartments with each compartment interpreting the rate of change in the population. From the model, asymptotically stable disease-free equilibrium points are obtained if $R_0 < 1$, and disease-endemic equilibrium if $R_0 > 1$. The model simulation was carried out on the incidence of polio in Indonesia in 2005 with attention to vaccine administration in susceptible populations. A minimum of 70% of the vaccine given to a susceptible population is required to eliminate the disease from the population.

Keywords: *Mathematical Modeling, Equilibrium Points, Basic Reproduction Number, Polio, MSEIV.*

UNIVERSITAS ISLAM NEGERI
ALAUDDIN
MAKASSAR

BAB I

PENDAHULUAN

A. Latar Belakang

Matematika adalah ilmu universal yang erat kaitannya dengan kehidupan dunia nyata. Matematika sebagai disiplin ilmu pengetahuan, biasanya terkait dengan pengembangan pengetahuan tentang bilangan (*'ilm al-'adad*) dan ilmu hitung (*'ilm al-hisab*). Konsep-konsep yang terdapat dalam matematika bersifat hierarkis, logis, terstruktur dan sistematis (Suherman, 1993). Salah satu bentuk dari konsep matematika dapat dilihat di alam semesta. Alam semesta dan segala isinya telah diciptakan oleh Allah *Subhanahu Wa Ta'ala* dengan ukuran dan perhitungan yang cermat. Hal ini berkaitan dengan firman Allah *Subhanahu Wa Ta'ala* dalam QS Al-Qamar/54:49.

إِنَّا كُلَّ شَيْءٍ خَلَقْنَاهُ بِقَدَرٍ

Terjemahnya :

“Sesungguhnya kami menciptakan segala sesuatu menurut ukuran” (QS Al-Qamar/54:49).

As-Sa'diy menafsirkan bahwa sesungguhnya Allah *Subhanahu Wa Ta'ala* menciptakan segala sesuatu menurut ukuran, ini mencakup seluruh makhluk dan seluruh alam (As-Sa'diy, 2016). Allah *Subhanahu Wa Ta'ala* menciptakan berdasarkan ketentuan yang telah terdahulu berdasarkan ilmunya dan sesuai catatan penanya berdasar waktu dan ukuran yang telah ditetapkan. Selain itu, dapat dilihat dalam struktur redaksi Al Qur'an pun tersusun dengan sistematis dan penuh

perhitungan atau ukuran yang secara tidak langsung Al Qur'an telah mengindikasikan bahwa konsep matematika telah tertuang didalamnya.

Berdasarkan hikmah dari QS Al Qamar/54:49, maka Allah *Subhanahu Wa Ta'ala* telah menunjukkan bahwa matematika menjadi bagian dari proses penciptaan. Segala sesuatu dalam dunia ini sudah ada ukurannya, ada persamaan dan hitungan-hitungannya. Ahli matematika tidak sedikit pun menciptakan rumus atau teorinya, melainkan hanya menemukan suatu fenomena yang kemudian diterjemahkan dalam bahasa matematika.

Pemodelan matematika adalah suatu proses menggambarkan dan menjelaskan masalah dunia nyata ke dalam pernyataan matematis. Tahap pemodelan matematika dilakukan dengan menyatakan permasalahan nyata kedalam pernyataan matematis yang meliputi identifikasi variabel dan membuat asumsi yang mencerminkan proses berfikir, memformulasikan model matematika, kemudian penyelesaian model dan interpretasi hasil ke situasi nyata (Ansar, 2018).

Salah satu persamaan untuk menyelesaikan model matematika yaitu dengan persamaan diferensial. Persamaan ini memuat turunan terhadap satu atau lebih dari variabel-variabel bebas. Adapun masalah yang umum ditemui dalam persamaan diferensial yaitu bagaimana mendapatkan solusi analitik dari model-model matematika yang didapatkan dari suatu masalah atau fenomena alam (Waluya, 2006). Konsep persamaan diferensial banyak diterapkan dalam memodelkan masalah kesehatan. Salah satunya yaitu dalam fenomena penyebaran penyakit polio.

Polio (*Poliomyelitis*) merupakan penyakit menular yang disebabkan oleh virus polio dari genus *Enterovirus* dan family *Picornaviridae* yang dapat menyerang dan merusak jaringan saraf sehingga dapat menimbulkan kelumpuhan permanen. Virus ini berkembang biak dalam tenggorokan dan usus selama 4 hingga 35 hari, lalu beberapa minggu kemudian dikeluarkan melalui tinja. Gejalanya meliputi demam, sakit kepala, sakit tenggorokan, dan muntah. Beberapa korban mengalami komplikasi neurologis, seperti kekakuan leher dan punggung, otot lemah, nyeri pada persendian dan gangguan pada pernapasan (Miller, 2004).

Penyebaran virus polio terjadi melalui kontak langsung dengan tinja penderita polio atau mengonsumsi makanan dan minuman yang terkontaminasi polio, dan juga sanitasi lingkungan yang buruk. Sanitasi yang buruk bisa menyebabkan munculnya berbagai jenis penyakit diantaranya penyakit diare, infeksi saluran pernapasan dan yang parah adalah penyakit polio.

Untuk itu penting bagi kita untuk menjaga kebersihan lingkungan sebagaimana yang telah diperintahkan Allah *Subhanahu Wa Ta'ala* dalam QS Al-Muddatstsir/74:4.

وَتِيَابَكَ فَطَهِّرْ

Terjemahnya :

“Dan bersihkanlah pakaianmu” (QS Al-Muddatstsir/74:4).

Dijelaskan dalam tafsir Al-Wajiz bahwa hendaklah mensucikan pakaian dari berbagai najis, dan juga sucikanlah batinmu dari berbagai penyakit hati (Al-Andalusi, 1997). Dalam ayat ini makna “bersihkanlah pakaianmu” tidak hanya merujuk pada kebersihan pakaian, tetapi merujuk banyak hal diantaranya menjaga

kebersihan tempat tinggal dan lingkungan hidup agar terhindar dari penyakit, karena lingkungan yang kotor akan memudahkan berkembang biaknya segala sumber penyakit. Ayat tersebut merupakan perintah dari Allah *Subhanahu Wa Ta'ala* kepada manusia agar senantiasa menjaga kebersihan agar sanitasi lingkungan tetap sehat sebab penyebaran penyakit polio pada daerah dengan sanitasi yang buruk akan sangat mudah untuk menyebar dan mewabah.

Saat ini sudah banyak penelitian yang membahas mengenai model matematika penyebaran penyakit polio, diantaranya penelitian Manju Agarwal dan Bhadauria (2011) berjudul “*Modelling Spread of Polio with the Role of Vaccination*” yang membahas tentang model penyebaran penyakit Polio dengan menggunakan model epidemik SEIV (*Susceptible – Exposed – Infective – vaccinated*) dengan hasil stabil asimtotik lokal pada kedua titik ekulibrium dan meskipun vaksinasi membantu dalam pemberantasan polio dengan menurunkan tingkat kesetimbangan endemik namun jika vaksin diberikan pada populasi exposed, maka kesetimbangan endemik meningkat dan penyakit tetap ada dalam populasi (Agarwal & Bhadauria, 2011).

Kemudian penelitian tersebut dikembangkan oleh Rr Laila Marifatun dengan judul “Model Penyebaran Penyakit Polio dengan Pengaruh Vaksinasi” (Marifatun, 2013). Penelitian lainnya oleh Yanuar Chaerul Umam (2016) berjudul “Model Epidemik SEIV Penyebaran Penyakit Polio pada Populasi Tak Konstan”. Penelitian ini menjelaskan model SEIV pada penyebaran penyakit polio dengan menambahkan asumsi populasi tidak konstan yang menunjukkan bahwa penyakit

polio akan tetap ada namun dengan jumlah yang tidak lebih besar dari populasi yang tervaksinasi (Umam, 2016).

Berdasarkan uraian tersebut, peneliti tertarik mengembangkan model penyakit polio yang sudah ada sebelumnya dengan menambahkan kompartemen baru, yaitu *Maternal Antibody* (M). *Maternal Antibody* merupakan kompartemen populasi yang dilindungi oleh imun pasif. Sehingga model penyakit polio terbagi menjadi 5 kompartemen yaitu *Maternal Antibody – Susceptible – Exposed – Infected – vaccinated*. Berdasarkan pemikiran tersebut peneliti mencoba melakukan penelitian yang berjudul **“Analisis Model Matematika pada Penyebaran penyakit Polio dengan Pengaruh Vaksinasi dan Maternal Antibody”**.

B. Rumusan Masalah

Rumusan masalah yang akan dibahas dalam penelitian ini yaitu :

1. Bagaimana model matematika pada penyebaran penyakit polio dengan pengaruh vaksinasi dan maternal antibody?
2. Bagaimana kestabilan titik kesetimbangan dari model matematika pada penyebaran penyakit polio dengan pengaruh vaksinasi dan maternal antibody?
3. Bagaimana simulasi model matematika pada penyebaran penyakit polio dengan pengaruh vaksinasi dan maternal antibody?

C. Tujuan Penelitian

Adapun tujuan penelitian ini adalah :

1. Mengetahui model matematika pada penyebaran penyakit polio dengan pengaruh vaksinasi dan maternal antibody.
2. Mengetahui kestabilan titik kesetimbangan dari model matematika pada penyebaran penyakit polio dengan pengaruh vaksinasi dan maternal antibody.
3. Mengetahui bagaimana simulasi model matematika pada penyebaran penyakit polio dengan pengaruh vaksinasi dan maternal antibody.

D. Manfaat Penelitian

Adapun manfaat yang diharapkan dari penelitian ini adalah :

1. Bagi Penulis

Sarana pengaplikasian ilmu mengenai penyebaran penyakit polio yang dapat di modelkan dalam pemodelan matematika dengan sistem persamaan diferensial.

2. Bagi Pembaca

Dapat menjadi referensi untuk penelitian selanjutnya terkait pemodelan matematika, terutama tentang model matematika pada penyebaran penyakit polio.

E. Batasan Masalah

Agar pembahasan menjadi lebih terarah dan tidak meluas, maka peneliti memberikan batasan masalah yaitu :

1. Penelitian berfokus pada pembentukan model penyebaran penyakit polio.

2. Perubahan populasi dipengaruhi oleh faktor kelahiran dan kematian, sedangkan faktor imigrasi tidak diperhatikan.
3. Model MSEIV ini difokuskan kepada balita.

F. Sistematika Penulisan

Sistematika penulisan yang digunakan dalam tugas akhir ini terdiri pendahuluan, tinjauan pustaka, metodologi penelitian, hasil dan pembahasan, penutup serta daftar pustaka.

Bab pertama yaitu Pendahuluan, memuat latar belakang masalah dalam penelitian ini, rumusan masalah yang digunakan dalam penelitian, tujuan penelitian, manfaat penelitian, dan sistematika penulisan dalam penyusunan penelitian ini.

Bab kedua yaitu Tinjauan Pustaka, memuat teori dan teorema yang digunakan sebagai acuan dalam penelitian ini terkait pemodelan matematika dan penyakit polio.

Bab ketiga yaitu Metodologi Penelitian, membahas jenis penelitian, waktu penelitian, variabel yang digunakan, dan prosedur penelitian,

Bab keempat yaitu Hasil dan Pembahasan, bagian ini memuat model penyebaran penyakit polio, analisa titik kesetimbangan model, nilai reproduksi dasar, hasil simulasi numerik model penyakit polio dengan software *Maple* dan interpretasi hasil.

Bab kelima yaitu Penutup, memuat kesimpulan dan saran penelitian yang telah dilaksanakan.

Daftar pustaka, Pada bagian ini memuat referensi-referensi yang digunakan dalam menyusun penelitian ini.



BAB II

TINJAUAN PUSTAKA

A. Pemodelan Matematika

Pemodelan matematika secara umum dipahami sebagai proses penerapan matematika ke masalah dunia nyata. Pemodelan matematika adalah cabang matematika yang mencoba untuk merepresentasikan sistem fisik atau masalah dunia nyata dalam pernyataan matematis sehingga pemahaman kita tentang dunia nyata lebih akurat. Konstruksi, analisis, dan penggunaan model matematika dianggap sebagai salah satu aplikasi matematika yang penting (Sutimin & Widowati, 2007).

Secara umum, menurut (Li, 2018) proses pemodelan matematika melibatkan beberapa tahap sebagai berikut :

1. Membuat Asumsi
2. Menyiapkan model matematis berdasarkan asumsi yang ada, biasanya dimulai dengan menggambarkan diagram transfer kemudian menurunkan persamaan matematika.
3. Melakukan analisis matematis pada model
4. Interpretasi Model
5. Validasi model

Pemodelan matematika bidang epidemiologi dapat memberikan pemahaman tentang mekanisme yang mendasari penularan dan penyebaran penyakit , membantu menentukan faktor kunci dalam proses penularan penyakit,

menyarankan tindakan pengendalian dan pencegahan yang efektif, dan memberikan perkiraan tingkat keparahan dan potensi skala epidemi (Li, 2018).

B. Persamaan Diferensial

Persamaan diferensial merupakan persamaan yang memuat fungsi yang tidak diketahui turunannya. Persamaannya melibatkan turunan dari satu atau lebih variabel terikat terhadap satu atau lebih variabel bebas (Kartono, 2012).

Pada persamaan diferensial terbagi menjadi dua jenis persamaan yaitu persamaan diferensial biasa (PDB) dan persamaan diferensial parsial (PDP). Persamaan Diferensial Biasa (PDB) adalah suatu persamaan diferensial yang hanya melibatkan satu variabel bebas. Contohnya: $\frac{dy(x)}{dx} + 2y = 2x^3$ merupakan persamaan diferensial biasa berorde satu dan $\frac{d^2y(x)}{dx^2} + 4\frac{dy(x)}{dx} + xy = 4x$ merupakan persamaan diferensial berorde dua.

Persamaan Diferensial Parsial (PDP) yaitu suatu persamaan diferensial yang melibatkan lebih dari satu variabel bebas. Contohnya: $\frac{\partial z(x, y)}{\partial x} + 3\frac{\partial z(x, y)}{\partial y} = z$

merupakan persamaan diferensial parsial berorde satu dan $\frac{\partial^2 v(x, y, z)}{\partial x^2} - \frac{\partial^2 v(x, y, z)}{\partial y^2} - \frac{\partial^2 v(x, y, z)}{\partial z^2} = 0$ merupakan persamaan diferensial berorde dua.

C. Sistem Persamaan Diferensial

Jika ada beberapa persamaan diferensial yang saling berhubungan, maka akan membentuk sistem persamaan diferensial. Berikut persamaan (2.1) sistem persamaan diferensial :

$$\dot{x}(t) = f(t, x) \quad (2.1)$$

Dimana,

$$\dot{x}(t) = \frac{dx}{dt} = \begin{bmatrix} \frac{dx_1}{dt} \\ \frac{dx_2}{dt} \\ \vdots \\ \frac{dx_n}{dt} \end{bmatrix}, f(t, x) = \begin{pmatrix} f_1(t, x_1, x_2, \dots, x_n) \\ f_2(t, x_1, x_2, \dots, x_n) \\ \vdots \\ f_n(t, x_1, x_2, \dots, x_n) \end{pmatrix} \quad (2.2)$$

Dengan x_1, x_2, \dots, x_n merupakan variabel terikat dan t merupakan variabel bebas. Jika pada ruas kanan variabel t tidak dinyatakan secara eksplisit maka sistem pada persamaan (2.1) disebut sebagai sistem otonomus dan secara matematis dituliskan sebagai berikut :

$$\dot{x}(t) = f(x) \quad (2.3)$$

Jika fungsi f_1, f_2, \dots, f_n pada persamaan (2.2) adalah suatu fungsi linear dari variabel terikat x_1, x_2, \dots, x_n dan variabel bebas t , maka sistem tersebut merupakan sistem persamaan diferensial linear. Dan sebaliknya jika fungsi f_1, f_2, \dots, f_n pada persamaan (2.2) adalah suatu fungsi nonlinear dari variabel terikat x_1, x_2, \dots, x_n dan variabel bebas t , maka sistem tersebut merupakan sistem persamaan diferensial nonlinear atau ditulis dalam bentuk (Perko, 2001)

$$\begin{aligned} \frac{dx_1}{dt} &= f_1(x_1, x_2, \dots, x_n) \\ \frac{dx_2}{dt} &= f_2(x_1, x_2, \dots, x_n) \\ &\vdots \\ \frac{dx_n}{dt} &= f_n(x_1, x_2, \dots, x_n) \end{aligned} \quad (2.4)$$

D. Titik Keseimbangan (Ekuilibrium)

Titik keseimbangan merupakan titik dari persamaan yang tidak mengalami perubahan atau tetap sepanjang waktu. Artinya disaat $t = 1, 2, \dots, n$ nilai titiknya akan tetap dan tidak berubah. Misalkan diberikan persamaan diferensial sebagaimana persamaan berikut :

$$\dot{x} = f(x), x \in \mathbb{R}^n \quad (2.5)$$

Titik $\bar{x} \in \mathbb{R}^n$ dapat disebut sebagai titik keseimbangan jika memenuhi persamaan (Olsder, 1998).

$$f(\bar{x}) = 0 \quad (2.6)$$

E. Nilai Eigen

Jika A adalah suatu matriks berukuran $n \times n$ maka sebuah vektor tak nol dalam \mathbb{R}^n disebut vektor eigen dari matriks A jika Ax adalah kelipatan skalar dari x , dapat ditulis :

$$Ax = \lambda x \quad (2.7)$$

Skalar λ disebut sebagai nilai eigen dari A , dan x disebut sebagai vektor eigen dari A yang bersesuaian dengan λ . Untuk mencari nilai eigen matriks A maka persamaan (2.7) dapat dibentuk menjadi :

$$Ax = \lambda Ix$$

$$(\lambda I - A)x = 0 \quad (2.8)$$

Persamaan (2.8) memiliki solusi bukan nol jika dan hanya jika λ memenuhi persamaan :

$$\det(\lambda I - A) = 0 \quad (2.9)$$

F. Kestabilan Titik Kesetimbangan

Nilai eigen λ dari matriks A dapat diperoleh melalui akar-akar karakteristik dari polinomial persamaan (2.9) atau ditulis dalam bentuk (Pratiwi, Pane, & Sirait, 2021).

$$P(\lambda) = a_0\lambda^n + a_1\lambda^{n-1} + a_2\lambda^{n-2} + \dots + a_n, \quad a_0 \neq 0 \quad (2.10)$$

Untuk menentukan kestabilan titik kesetimbangan bisa diperoleh dengan memperhatikan nilai eigen yang diperoleh. Misalnya diberikan persamaan diferensial $\dot{x} = Ax$, A matriks $n \times n$ dengan nilai eigen berbeda dari persamaan karakteristiknya adalah $\lambda_1, \dots, \lambda_j$ dimana ($j \leq n$):

1. Titik kesetimbangan \bar{x} dikatakan stabil asimtotik jika $\lambda_i < 0 \forall i = 1, \dots, j$.
2. Titik kesetimbangan \bar{x} dikatakan stabil jika $\lambda_i < 0$ dan terdapat $\lambda_k = 0$ dengan $1 \leq k \leq j$.
3. Titik kesetimbangan \bar{x} dikatakan tidak stabil jika terdapat $\lambda_i > 0$.

Perhatikan Tabel 2.1 berikut diberikan beberapa jenis sifat kestabilan yang dikategorikan berdasarkan jenis nilai eigen :

Tabel 2. 1 Kestabilan Titik Ekuilibrium Sistem Dinamik

No	Nilai Eigen	Kestabilan	Jenis Kestabilan
	$\lambda_1, \lambda_2 \in \mathbb{R}$		
1	$\lambda_1, \lambda_2 > 0$	Tidak stabil	<i>Node</i> /simpul
2	$\lambda_1, \lambda_2 < 0$	Stabil Asimtotik	<i>Node</i> /Simpul
3	$\lambda_1 < 0 < \lambda_2$	Tidak Stabil	<i>Saddle</i> /Pelana

No	Nilai Eigen	Kestabilan	Jenis Kestabilan
4	$\lambda_1 = \lambda_2 > 0$	Tidak Stabil	Node/Simpul
5	$\lambda_1 = \lambda_2 < 0$	Stabil Asimtotik	Node/Simpul
$\lambda_{12} = a + bi \in \mathbb{C}$			
6	$a > 0$	Tidak Stabil	Spiral
7	$a < 0$	Stabil Asimtotik	Spiral
8	$a = 0$	Stabil	Terpusat

G. Pelinearan

Setelah mendapatkan titik kesetimbangan, akan dilihat apakah titik kesetimbangan tersebut stabil atau tidak. Perilaku penyelesaian sistem nonlinear di sekitar titik kesetimbangan dapat ditentukan melalui linearisasi sistem dengan menggunakan pendekatan deret Taylor. Pendekatan tersebut hanya menggunakan suku linear atau orde pertama sehingga suku-suku dengan pangkat yang lebih tinggi diabaikan. Misalkan $\bar{x} = (\bar{x}_1, \bar{x}_2, \dots, \bar{x}_n)$ adalah titik kesetimbangan dari sistem tersebut, maka diperoleh

$$\begin{aligned}
 \frac{dx_1}{dt} &= f_1(\bar{x}) + \frac{\partial f_1(\bar{x})}{\partial x_1}(x_1 - \bar{x}_1) + \dots + \frac{\partial f_1(\bar{x})}{\partial x_n}(x_n - \bar{x}_n) \\
 \frac{dx_2}{dt} &= f_2(\bar{x}) + \frac{\partial f_2(\bar{x})}{\partial x_1}(x_1 - \bar{x}_1) + \dots + \frac{\partial f_2(\bar{x})}{\partial x_n}(x_n - \bar{x}_n) \\
 &\vdots \\
 \frac{dx_n}{dt} &= f_n(\bar{x}) + \frac{\partial f_n(\bar{x})}{\partial x_1}(x_1 - \bar{x}_1) + \dots + \frac{\partial f_n(\bar{x})}{\partial x_n}(x_n - \bar{x}_n)
 \end{aligned} \tag{2.11}$$

Jika dimisalkan

$$\begin{aligned}w_1 &= x_1 - \bar{x}_1 \\w_2 &= x_2 - \bar{x}_2 \\&\vdots \\w_n &= x_n - \bar{x}_n\end{aligned}$$

Persamaan (2.11) menjadi :

$$\begin{aligned}\frac{dw_1}{dt} &= f_1(\bar{x}) + \frac{\partial f_1(\bar{x})}{\partial x_1} w_1 + \dots + \frac{\partial f_1(\bar{x})}{\partial x_n} w_n \\ \frac{dw_2}{dt} &= f_2(\bar{x}) + \frac{\partial f_2(\bar{x})}{\partial x_1} w_1 + \dots + \frac{\partial f_2(\bar{x})}{\partial x_n} w_n \\ &\vdots \\ \frac{dw_n}{dt} &= f_n(\bar{x}) + \frac{\partial f_n(\bar{x})}{\partial x_1} w_1 + \dots + \frac{\partial f_n(\bar{x})}{\partial x_n} w_n\end{aligned}\tag{2.12}$$

Dengan perkalian matriks, sistem (2.12) dapat ditulis menjadi :

$$\frac{d}{dt} \begin{pmatrix} w_1 \\ w_2 \\ \vdots \\ w_n \end{pmatrix} = \begin{pmatrix} \frac{\partial f_1(\bar{x})}{\partial x_1} & \frac{\partial f_1(\bar{x})}{\partial x_2} & \dots & \frac{\partial f_1(\bar{x})}{\partial x_n} \\ \frac{\partial f_2(\bar{x})}{\partial x_1} & \frac{\partial f_2(\bar{x})}{\partial x_2} & \dots & \frac{\partial f_2(\bar{x})}{\partial x_n} \\ \vdots & \vdots & \ddots & \vdots \\ \frac{\partial f_n(\bar{x})}{\partial x_1} & \frac{\partial f_n(\bar{x})}{\partial x_2} & \dots & \frac{\partial f_n(\bar{x})}{\partial x_n} \end{pmatrix} \begin{pmatrix} w_1 \\ w_2 \\ \vdots \\ w_n \end{pmatrix}\tag{2.13}$$

Atau

$$\frac{dx}{dt} = J_{(\bar{x}_1, \bar{x}_2, \dots, \bar{x}_n)} w\tag{2.14}$$

Sistem persamaan (2.12) merupakan hasil linearisasi dari sistem persamaan (2.4) disekitar titik kesetimbangan $\bar{x} = (\bar{x}_1, \bar{x}_2, \dots, \bar{x}_n)$. Matriks $J_{(\bar{x}_1, \bar{x}_2, \dots, \bar{x}_n)}$ pada persamaan (2.14) disebut matriks jacobian disekitar titik kesetimbangan $\bar{x} = (\bar{x}_1, \bar{x}_2, \dots, \bar{x}_n)$ (Campbell & Haberman, 2008).

H. Kriteria Routh-Hurwitz

Nilai eigen dari matriks A adalah akar dari persamaan polynomial. Dengan kriteria Routh-Hurwitz, stabilitas A dapat diperiksa langsung dengan mempertimbangkan koefisien $\{a_i\}$, tanpa menghitung akar polinomial pada persamaan(2.9) secara eksplisit. Menyusun koefisien $\{a_i\}$ dengan cara berikut :

Tabel 2. 2 Routh-Hurwitz

λ^n	a_0	a_2	a_4	\dots	a_{n-1}
λ^{n-1}	a_1	a_3	a_5	\dots	a_n
λ^{n-2}	b_1	b_2	b_3	\dots	b_n
λ^{n-3}	c_1	c_2	c_3	\dots	c_n
\vdots	\vdots	\vdots	\vdots		
λ^0					

Dimana koefisien $\{b_i\}, \{c_i\}, \dots$ didefinisikan sebagai berikut :

$$b_1 = \frac{a_1 a_2 - a_0 a_3}{a_1}, \quad b_2 = \frac{a_1 a_4 - a_0 a_5}{a_1}, \dots,$$

$$c_1 = \frac{b_1 a_3 - a_1 b_2}{b_1}, \quad c_2 = \frac{b_1 a_5 - a_1 b_3}{b_1}, \dots,$$

Skema dilanjutkan hingga hanya angka nol yang muncul (ke kanan dan ke bawah). Dengan demikian telah diperoleh tabel Routh-Hurwitz. Untuk mengecualikan kasus tunggal, diasumsikan bahwa elemen $n + 1$ pertama dari kolom pertama tabel Routh-Hurwitz bukan nol. Sesuai asumsi ini, kriteria Routh-Hurwitz menyatakan bahwa matriks A memiliki nilai eigen dengan bagian real

negatif jika dan hanya jika semua elemen pada kolom pertama memiliki tanda yang sama (Olsder, 1998).

Kriteria *routh-hurwitz* digunakan untuk menentukan batas penguatan sistem agar stabil dan tidak dapat menjelaskan bagaimana memperbaiki kestabilan relatif atau bagaimana menstabilkan sistem tak stabil, (Wahab & Subiantoro, 2013).

I. Bilangan Reproduksi dasar (R_0)

Bilangan reproduksi dasar, dilambangkan dengan R_0 , adalah ukuran infeksi sekunder yang terjadi dalam populasi yang sangat rentan karena satu individu infeksi. Jika $R_0 < 1$, maka rata-rata individu yang terinfeksi menghasilkan kurang dari satu individu baru yang terinfeksi selama periode penularannya, dan infeksi tidak dapat berkembang. Sebaliknya, jika $R_0 > 1$, maka setiap individu yang terinfeksi rata-rata menghasilkan lebih dari satu infeksi baru, dan penyakit tersebut dapat menyerang populasi.

Ada beberapa keadaan yang akan timbul yaitu : (Driessche & Watmough, 2002).

- 1) Jika $R_0 < 1$, maka epidemi tidak akan terjadi
- 2) Jika $R_0 = 1$, maka penyakit akan menetap
- 3) Jika $R_0 > 1$, maka penyakit akan mewabah

Penting untuk memberikan pendekatan yang lebih umum tentang arti bilangan reproduksi, dan hal tersebut dapat dilakukan melalui metode *next generation matrix*. Konsep dasarnya adalah menghitung matriks yang entri (i, j) -

nya adalah jumlah infeksi sekunder di kompartemen i oleh individu yang terinfeksi di kompartemen j .

Suatu kompartemen disebut kompartemen penyakit jika individu di dalamnya terinfeksi. Perhatikan bahwa penggunaan istilah penyakit ini lebih luas daripada definisi klinis dan mencakup tahapan infeksi seperti tahapan terpapar dimana individu yang terinfeksi belum tentu infeksi. Misalkan ada n kompartemen penyakit dan m kompartemen bukan penyakit, dan misalkan $x \in R^n$ dan $y \in R^m$ menjadi subpopulasi di setiap kompartemen ini. Misalkan F_i adalah tingkat dimana infeksi sekunder meningkat pada kompartemen i dan V_i adalah tingkat dimana perkembangan penyakit, kematian, dan pemulihan menurun pada kompartemen i . Model kompartemen kemudian dapat ditulis dalam bentuk :

$$\begin{aligned} x'_i &= F_i(x, y) - V_i(x, y), & i &= 1, \dots, n \\ y'_j &= g_j(x, y), & j &= 1, \dots, m \end{aligned} \quad (2.15)$$

Derivasi bilangan reproduksi dasar didasarkan pada linearisasi persamaan diferensial biasa tentang kesetimbangan bebas penyakit.

Suatu matriks K disebut sebagai *the next generation matrix* untuk sistem pada kesetimbangan bebas penyakit. Matriks K didefinisikan dalam bentuk :

$$K = FV^{-1} \quad (2.16)$$

Bilangan reproduksi dasar dapat didefinisikan secara pasti sebagai radius spektral dari matriks K . Radius spektral matriks K , dilambangkan dengan $\rho(K)$, adalah maksimum moduli nilai eigen dari K . Jika bilangan reproduksi $R_0 = \rho(K)$ konsisten dengan model persamaan diferensial, maka kesetimbangan bebas

penyakit stabil secara asimtotik jika $R_0 < 1$ dan tidak stabil jika $R_0 > 1$ (Brauer & Chavez, 2012).

J. Penyakit Polio

Poliomyelitis atau biasa disingkat dengan sebutan polio adalah penyakit paralisis atau lumpuh yang disebabkan oleh virus. Virus polio termasuk genus *enterovirus*, family *picornavirus*. Agen pembawa penyakit ini merupakan sebuah virus yang dinamakan poliovirus (PV), masuk ke tubuh melalui mulut menginfeksi saluran usus. Virus ini dapat memasuki aliran darah dan mengalir ke sistem syaraf pusat menyebabkan melemahnya otot dan kadang kelumpuhan. Poliovirus hanya menginfeksi dan menyebabkan penyakit pada manusia saja (Frida, 2010).

Tiga serotipe virus polio telah diidentifikasi sebagai virus polio tipe 1 (PV1), tipe 2 (PV 2) dan tipe 3(PV 3). Tipe brunhilde merupakan tipe 1 yang dapat memicu epidemi luas dan erat kaitannya dengan kelumpuhan, tipe lansing merupakan tipe 2 yang bersifat sporadis atau penyakit yang hanya terlihat sesekali, dan tipe leon merupakan tipe 3 yang menimbulkan epidemi ringan.

1. Penyebaran Polio

Penularan virus polio utamanya terjadi melalui penularan langsung antara manusia melalui *fecal-oral* (dari tinja ke mulut) yaitu dengan mengonsumsi makanan atau minuman yang terkontaminasi virus polio dari tinja penderita.

Virus polio juga ditularkan melalui infeksi droplet dari *oral-oral* (mulut ke mulut) yaitu penyebaran air liur penderita melalui udara ketika berbicara dan

memasuki mulut orang yang sehat. atau dari tinja seseorang yang menderita penyakit polio.

Poliovirus (PV) masuk melewati hidung atau mulut, melalui aliran darah dan mengalir ke sistem saraf pusat, sehingga dapat menyebabkan kelemahan otot bahkan kelumpuhan. infeksi virus polio dimulai saluran pencernaan yang menyebar ke kelenjar limfa dan sebagian kecil menyebar ke sistem saraf. Penyebaran polio cepat di daerah dengan sanitasi yang buruk, terutama di antara populasi yang tidak kebal. Penyebaran virus terutama terlihat pada bulan-bulan musim panas di daerah beriklim sedang.

2. Gejala

Polio adalah penyakit menular yang menyerang sel saraf otak dan sumsum tulang belakang. Gejalanya meliputi demam, sakit kepala, sakit tenggorokan, dan muntah. Beberapa korban mengalami komplikasi neurologis, termasuk kekakuan pada leher dan punggung, otot lemah, nyeri persendian, dan kelumpuhan satu atau lebih anggota tubuh. Dalam kasus yang parah bisa berakibat fatal karena kelumpuhan pernapasan (Singh, Monga, & Bais, 2013)

3. Jenis-Jenis Polio

- a) *Poliomyelitis* Abortif, adalah bentuk minor dari poliomielitis, terutama menyerang anak kecil tanpa melibatkan sistem saraf pusat. Gejala umum termasuk demam ringan, sakit kepala, sakit tenggorokan, kelelahan, dan muntah setelah terpapar virus. Gejala-gejala ini membutuhkan waktu

sekitar lima hingga tujuh hari untuk mereda. Penyebaran virus ini melalui jalur *fecal-oral* atau aerosol droplet.

- b) *Poliomyelitis* Nonparalitik, juga dikenal sebagai meningitis aseptic, bentuk polio ini diamati pada sekitar 1 hingga 2% orang yang terinfeksi polio. gejala awal bisa mirip dengan gejala polio minor tetapi selain itu terjadi kekakuan leher, punggung, kaki, serta nyeri dan kejang otot.
- c) *Poliomyelitis* paralitik, pada sekitar 1% infeksi, virus polio menyebar disepanjang jalur saraf tertentu, terutama bereplikasi dan menghancurkan neuron motorik di dalam sumsum tulang belakang, batang otak, atau korteks motoric. Hal ini mengarah pada perkembangan *poliomyelitis* paralitik, berbagai bentuknya (spinal, bulbar, dan bulbospinal) hanya bervariasi dengan jumlah kerusakan saraf dan peradangan yang terjadi. Polio spinal merupakan bentuk paling umum dari poliomyelitis paralitik dimana virus ini menyerang sumsum tulang belakang. Polio bulbar terjadi sekitar 2% kasus polio paralitik, terjadi ketika virus polio menyerang dan menghancurkan saraf di dalam wilayah bulbar batang otak yang dapat menyebabkan menyebabkan kesulitan bernapas, berbicara, dan menelan. Polio Bulbospinal terjadi sekitar 19% dari semua kasus polio paralitik memiliki gejala bulbar dan tulang belakang (Singh, Monga, & Bais, 2013)

4. Pencegahan

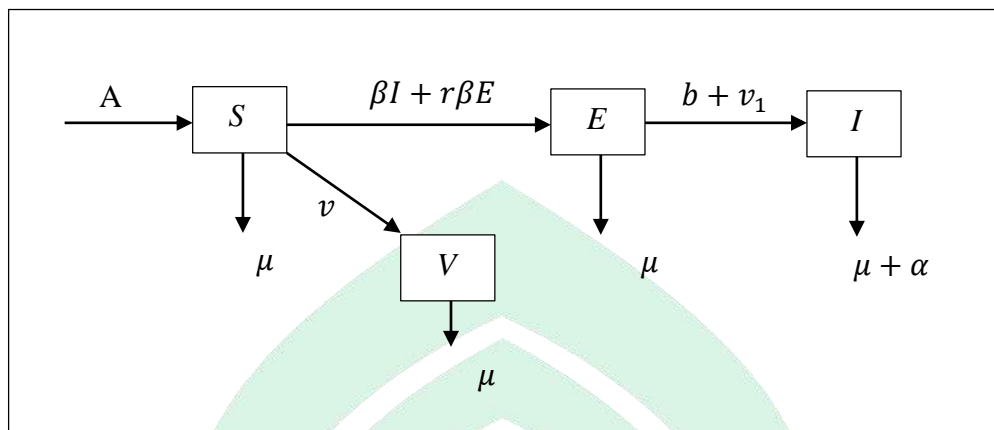
Fokus pengobatan penyakit polio adalah meredakan gejala, mempercepat pemulihan, dan mencegah komplikasi. Polio dapat dicegah dengan menjaga

sanitasi lingkungan agar tetap baik. Selain itu, cara efektif juga dilakukan dengan vaksin atau imunisasi. Adapun jenis vaksin polio antara lain :

- a) *Oral Polio Vaccine* (OPV), merupakan vaksin yang diteteskan ke mulut. OPV menggunakan virus yang telah dilemahkan. OPV menciptakan respon kekebalan atau antibody didalam usus tempat virus polio berkembang biak sehingga dapat memberikan perlindungan yang lebih baik.
- b) *Inactivated Polio Vaccine* (IPV), adalah vaksin yang disuntikkan kedalam otot intra muskular. Tidak ada replikasi virus karena menggunakan virus polio yang dilumpuhkan dengan bahan kimia selama proses pembuatan vaksin (Bitahamsisyah, 2016).

K. Model SEIV dan Maternal Antibody

Penyusunan model *MSEIV* pada penyakit polio dalam penelitian ini mengacu pada penelitian oleh Manju Agarwal dan Archana S Bhadauria (2011) dengan judul “*Modelling Spread of Polio with the Role of Vaccination*”. Dalam jurnal tersebut diuraikan model penyebaran penyakit polio dengan adanya pengaruh vaksin. Pembentukan model *SEIV* didasari adanya penyakit menular yang mempunyai periode laten. Populasi terbagi dalam empat kompartemen, yaitu kompartemen populasi rentan (*susceptible*), kompartemen populasi laten (*ekposed*), kompartemen populasi terinfeksi (*infected*), dan kompartemen populasi yang divaksinasi (*vaccination*). Berikut adalah diagram alir model *SEIV* yang diuraikan dalam jurnal tersebut :



Gambar 2. 1 Diagram Transmisi Penyebaran penyalit polio (Agarwal & Bhadauria, 2011)

Dari gambar tersebut diperoleh model kedalam bentuk sistem persamaan diferensial sebagai berikut :

$$\frac{dS}{dt} = A - \beta SI - r\beta SE - (\mu + v)S$$

$$\frac{dE}{dt} = \beta SI - r\beta SE - (b + \mu + v_1)E$$

$$\frac{dI}{dt} = (b + v_1)E - (\mu + \alpha)I$$

$$\frac{dV}{dt} = vS - \mu V \quad (2.17)$$

dengan :

A : laju populasi manusia (konstan)

β : probabilitas persatuan waktu penularan infeksi oleh populasi *infective*

$r\beta$: probabilitas persatuan waktu penularan infeksi oleh populasi *exposed*

r : pengurangan penularan infeksi oleh populasi *exposed*

μ : laju kematian alami

α : laju kematian yang diakibatkan penyakit polio

- b : laju transisi dari keadaan laten menuju keadaan terinfeksi
- v : proporsi jumlah individu di kompartemen *susceptible* yang pindah ke kelompok *vaccinated* karena sudah divaksinasi
- v_1 : laju populasi *exposed* yang divaksinasi karena gejala polio belum terlihat.

Pembahasan model dalam jurnal membahas titik ekuilibrium dan titik kestabilan dari model *SEIV* dan dilengkapi simulasinya. Oleh karena itu, dalam penelitian ini akan dijabarkan pembahasan model *SEIV* berdasarkan dari jurnal tersebut dengan menambahkan kompartemen *Maternal Antibody* (M) dan akan diuraikan kestabilan modelnya yang disertai perhitungan simulasi modelnya.

Maternal antibody atau imun pasif adalah kekebalan tubuh pasif yang diperoleh dari ibu selama dalam kandungan lewat plasenta. Imun pasif pada bayi hanya akan bertahan hingga enam bulan (Bona, 2008). Bayi akan kembali rentan terhadap penyakit polio disaat imun pasif ini mulai menghilang. Jumlah dan jenis antibodi yang diberikan kepada bayi tergantung pada kekebalan ibu. Saat bayi berada dalam kandungan ibunya, darahnya bersirkulasi melalui plasenta, tali yang menghubungkan ibu dan bayinya. Darah yang membawa nutrisi dan oksigen mencapai janin yang sedang berkembang melalui plasenta. Dinding plasenta juga melewati antibodi dan sel sistem kekebalan dari tubuh ibu ke janin (Ashok, 2022).

L. Estimasi Parameter Model Epidemiologi

Estimasi parameter untuk model MSEIV dapat dilihat pada tabel berikut :

Tabel 2. 3 Definisi dan Formulasi Parameter dalam model MSEIV

Parameter	Definisi	Formulasi
b	Laju Kelahiran populasi	$\frac{\text{Jumlah Populasi } M}{\text{Total populasi} \times 6 \text{ bulan}}$
δ	Laju perpindahan dari populasi imun pasif ke populasi rentan	$\frac{1}{\text{masa efektifitas imun pasif}}$
β	Laju penularan infeksi oleh populasi terinfeksi	$\frac{\text{jumlah exposed} \times 12}{\text{jumlah rentan}}$
ω	Laju perpindahan populasi rentan ke populasi tervaksin	$\frac{\text{Jumlah balita yang divaksin}}{\text{total populasi} \times 12 \text{ bulan}}$
μ	Laju kematian alami	$\frac{1}{\text{angka harapan hidup}}$
α	Laju kematian alami	$\frac{\text{jumlah individu meninggal akibat penyakit}}{\text{jumlah individu terinfeksi}}$

BAB III

METODOLOGI PENELITIAN

A. Jenis Penelitian

Penelitian ini merupakan kajian teori sekaligus terapan mengenai model matematika pada penyebaran penyakit polio yang bertujuan untuk menyelesaikan masalah yang ada dengan terlebih dahulu menyusun konsep-konsep yang diperlukan dalam penyelesaian masalah. Kajian teori dilakukan dengan mengumpulkan sumber pustaka yang dapat berupa buku, jurnal, teks, dan sebagainya.

B. Waktu Penelitian

Adapun waktu penelitian ini dilaksanakan pada bulan Januari 2023 hingga Maret 2023.

C. Variabel dan Definisi Operasional Variabel

Adapun variabel yang akan digunakan dalam penelitian ini adalah sebagai berikut :

N : Total Populasi Manusia

M : Jumlah individu yang dilindungi imun pasif

S : Jumlah individu yang rentan terinfeksi penyakit polio

E : Jumlah individu laten

I : Jumlah individu yang terinfeksi penyakit polio dan dapat menularkannya

V : Jumlah individu yang telah divaksin.

Definisi operasional variabel adalah sebagai berikut :

1. Variabel N merupakan variabel yang menunjukkan total keseluruhan populasi
2. Variabel M merupakan variabel yang menunjukkan jumlah individu yang lahir dan dilindungi oleh imun pasif yang diperoleh dari ibu sejak lahir melalui plasenta.
3. Variabel S merupakan variabel yang menunjukkan jumlah individu yang rentan (sehat tetapi dapat terinfeksi) penyakit polio.
4. Variabel E merupakan variabel yang menunjukkan jumlah individu laten atau gejala polio belum terlihat.
5. Variabel I merupakan variabel yang menunjukkan jumlah individu yang terinfeksi penyakit polio.
6. Variabel V merupakan variabel yang menunjukkan jumlah individu yang telah mendapatkan vaksin *Oral Polio Vaccine (OPV)* dan *Inactivated polio Vaccine (IPV)*.

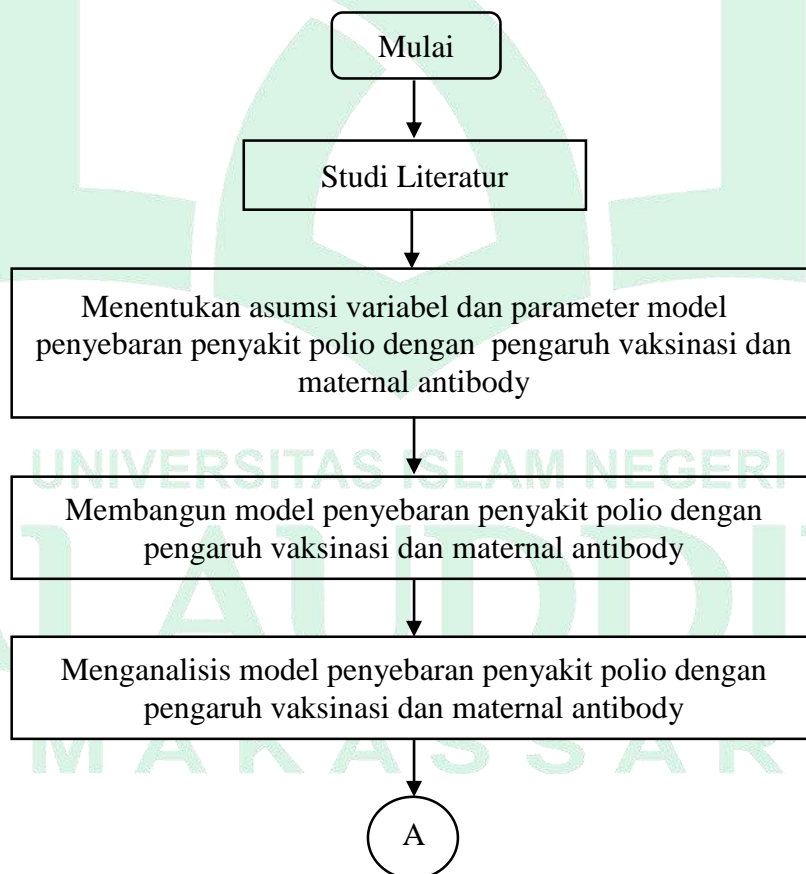
D. Prosedur Penelitian

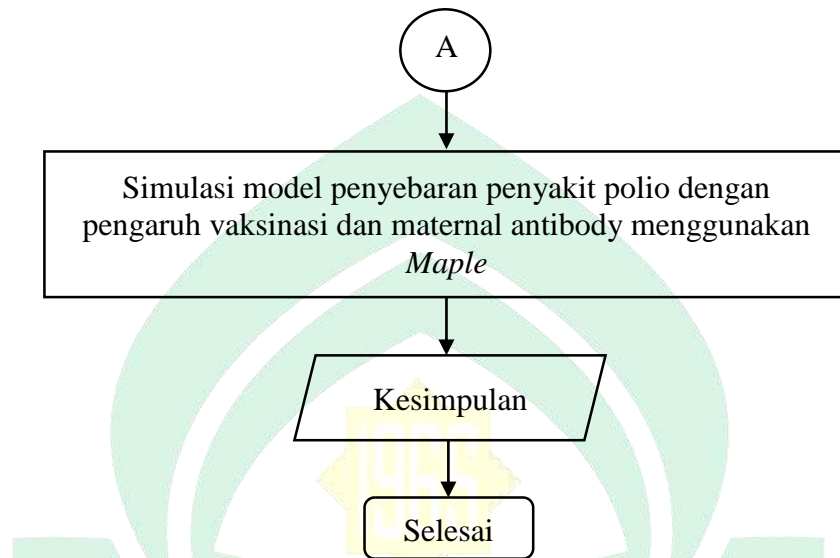
Prosedur penelitian yang diterapkan dalam penelitian ini guna mencapai tujuan penelitian, adalah sebagai berikut :

1. Membangun model matematika pada penyebaran penyakit polio dengan pengaruh vaksinasi dan maternal antibody.
 - a) Menentukan asumsi variabel dan parameter berdasarkan subpopulasi dan laju perubahan.
 - b) Membentuk diagram transmisi model penyebaran penyakit polio berdasarkan batasan, asumsi, dan parameter yang telah dibuat.

- c) Membentuk model matematika penyebaran penyakit polio dengan memperhatikan diagram transmisi yang telah dibuat.
2. Menganalisis model matematika pada penyebaran penyakit polio dengan pengaruh vaksin dan maternal antibody.
 - a) Menentukan titik kesetimbangan bebas penyakit.
 - b) Menentukan bilangan reproduksi dasar (R_0).
 - c) Menentukan titik kesetimbangan endemik penyakit.
 - d) Menganalisis kestabilan titik kesetimbangan berdasarkan nilai eigen.
 3. Simulasi model

E. Kerangka Berfikir





Gambar 3. 1 Kerangka Berfikir

BAB IV

HASIL DAN PEMBAHASAN

A. Hasil Penelitian

1. Membangun model MSEIV pada Penyebaran Penyakit Polio

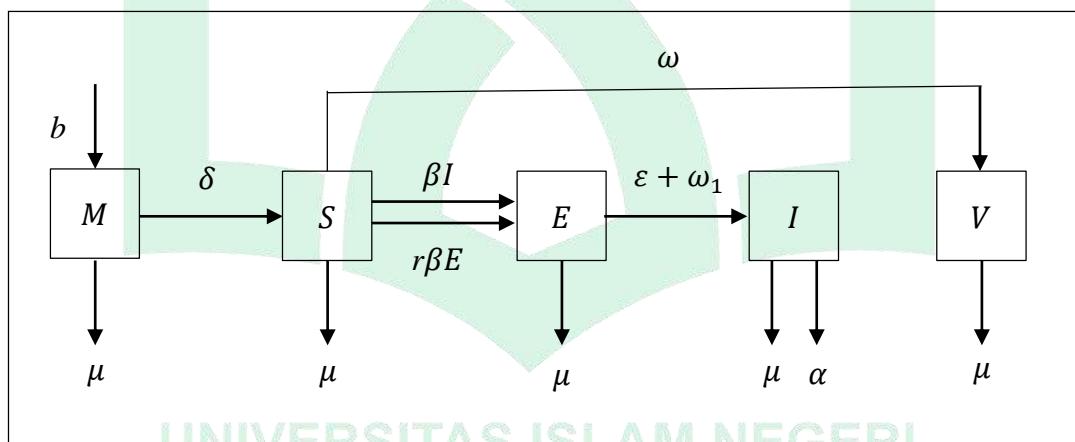
Dalam pembentukan model penyebaran penyakit polio dengan pengaruh vaksinasi dan maternal antibody, digunakan model MSEIV yang terdiri dari 5 kompartemen yaitu *Maternal Antibody – Susceptible – Exposed – Infected – vaccinated*. Kompartemen *Maternal Antibody* (M) menyatakan jumlah individu yang dilindungi imun pasif, kompartemen *Susceptible* (S) menyatakan jumlah individu yang rentan terinfeksi penyakit polio, kompartemen *Exposed* (E) menyatakan jumlah individu laten atau gejala polio belum terlihat, kompartemen *Infected* (I) menyatakan jumlah individu yang terinfeksi penyakit polio, dan kompartemen *Vaccinated* (V) menyatakan jumlah individu yang telah divaksin polio.

Untuk membangun model penyebaran penyakit polio dengan vaksinasi dan maternal antibody diasumsikan sebagai berikut :

- a) Perubahan populasi dipengaruhi oleh kelahiran dan kematian sedangkan faktor imigrasi diabaikan.
- b) Laju kelahiran dan kematian konstan
- c) Semua anak yang baru lahir diasumsikan memiliki imun pasif yang diperoleh dari ibu melalui plasenta dengan masa efektivitas imun pasif adalah 6 bulan.
- d) Masa inkubasi penyakit polio adalah 7-10 hari.

- e) Penyakit polio tidak dapat disembuhkan tetapi Individu yang telah menerima vaksin *Oral Polio Vaccine* (OPV) di usia 0-4 bulan dan dua dosis *Inactivated Polio Vaccine* (IPV) sebelum usia 1 tahun tidak dapat terinfeksi karena kekebalan dari vaksin bersifat permanen.
- f) Populasi *exposed* dan *infected* dapat menularkan penyakit polio ke populasi *susceptible* yang belum mendapat vaksin. Tetapi, penularan oleh populasi *exposed* tidak lebih besar dari penularan oleh populasi *infected*.
- g) Kematian alami terdapat pada kompartemen M, S, E, I, V, dan terdapat kematian akibat penyakit polio pada kompartemen I.

Berdasarkan asumsi maka diagram transmisi penyebaran penyakit polio dengan pengaruh vaksinasi dan *maternal antibody* adalah sebagai berikut:



Gambar 4. 1 Diagram transmisi penyebaran penyakit polio

Adapun variabel dan parameter yang digunakan dalam penyebaran penyakit polio dapat dilihat pada tabel 4.1 berikut :

Tabel 4. 1 Variabel dan Parameter

Variabel	Keterangan
M	Jumlah individu yang lahir dan dilindungi oleh imun pasif

Variabel	Keterangan
S	Jumlah individu yang rentan (sehat tetapi dapat terinfeksi) penyakit polio
E	Jumlah individu laten atau gejala polio belum terlihat.
I	Jumlah individu yang terinfeksi penyakit polio
V	jumlah individu yang telah mendapatkan vaksin <i>Oral Polio Vaccine</i> (OPV) dan <i>Inactivated polio Vaccine</i> (IPV)
b	Laju kelahiran populasi
δ	Laju perpindahan dari populasi imun pasif (<i>maternal antibody</i>) ke populasi rentan (<i>susceptible</i>)
β	Laju penularan infeksi oleh populasi terinfeksi(<i>infected</i>)
r	Laju pengurangan penularan infeksi oleh populasi laten (<i>exposed</i>)
μ	Laju kematian alami
α	Laju kematian yang diakibatkan penyakit polio
ε	Laju perpindahan dari keadaan laten (<i>exposed</i>) menuju keadaan terinfeksi
ω	Laju perubahan populasi rentan (<i>susceptible</i>) yang pindah ke populasi vaksin (<i>vaccinated</i>)
ω_1	Laju populasi laten (<i>exposed</i>) yang divaksinasi karena gejala polio belum terlihat

Dari asumsi dan diagram transmisi pada gambar 4.1 dapat dibentuk model matematika. Berikut merupakan laju perubahan masing-masing subpopulasi pada model MSEIV :

a. Laju Perubahan Populasi *Maternal Antibody*

Subpopulasi *Maternal Antibody* dinyatakan sebagai individu baru lahir dan terlindungi imun pasif yang diperoleh dari ibu melalui plasenta. Jumlah subpopulasi pada kompartemen M akan bertambah dengan kehadiran individu baru lahir sebesar b . Imun pasif yang hanya bertahan selama kurang lebih 6 bulan (Bona, 2008) menyebabkan individu sehat dapat menjadi rentan terhadap penyakit. Akibatnya jumlah subpopulasi yang dilindungi imun pasif berkurang dengan laju δ . Jumlah individu pada kompartemen M dapat juga berkurang karena adanya kematian alami μ yang bukan disebabkan oleh penyakit dengan $\mu > 0$, maka laju perubahan subpopulasi *maternal antibody* terhadap waktu t dapat ditulis dengan :

$$\frac{dM(t)}{dt} = b - \delta M(t) - \mu M(t) \quad (4.1)$$

b. Laju Perubahan Populasi *Susceptible* (Rentan)

Subpopulasi *Susceptible* dinyatakan sebagai individu yang rentan (sehat tetapi dapat terinfeksi penyakit). Jumlah subpopulasi pada kompartemen *susceptible* akan bertambah dengan kehadiran individu yang masa imun pasifnya telah habis menyebabkan individu tersebut menjadi rentan terhadap penyakit. Karena adanya kontak antara individu rentan dengan individu yang terinfeksi (*infected*) dan laten (*exposed*) maka dapat menyebabkan penularan penyakit, sehingga individu rentan menjadi terinfeksi. Akibatnya subpopulasi *susceptible* berkurang dengan laju β dan laju r merupakan pengurangan penularan infeksi oleh populasi laten (*exposed*), dengan penularan oleh

populasi *exposed* tidak lebih besar dari populasi *infected*. Jumlah individu pada kompartemen *S* dapat juga berkurang karena adanya kematian alami μ yang bukan disebabkan oleh penyakit dengan $\mu > 0$. Vaksin merupakan salah satu cara efektif untuk mencegah penyakit polio. Individu yang telah menerima vaksin *Oral Polio Vaccine* (OPV) dan *Inactivated Polio Vaccine* (IPV) akan keluar dari subpopulasi rentan dengan laju ω . Oleh karena itu, laju perubahan subpopulasi *susceptible* atau rentan terhadap waktu t dapat ditulis dengan :

$$\frac{dS(t)}{dt} = \delta M(t) - \beta S(t)I(t) - r\beta S(t)E(t) - (\mu + \omega)S(t) \quad (4.2)$$

c. Laju Perubahan Populasi *Exposed*

Subpopulasi *Exposed* dinyatakan sebagai jumlah individu laten atau gejala penyakit belum terlihat. Jumlah subpopulasi pada kompartemen *E* akan bertambah dengan individu rentan yang melakukan kontak dengan yang terinfeksi ataupun terpapar penyakit. Setelah periode inkubasi, dengan laju ε populasi *exposed* berkurang dan akan menjadi individu terinfeksi. Jumlah individu pada kompartemen *exposed* dapat juga berkurang karena adanya kematian alami μ yang bukan disebabkan oleh penyakit dengan $\mu > 0$. Karena adanya gejala yang tidak ditunjukkan oleh individu yang terpapar selama masa inkubasi, diasumsikan bahwa individu tersebut juga mendapatkan vaksin karena tidak diketahui bahwa telah terpapar penyakit polio dengan laju ω_1 . Oleh karena itu, laju perubahan subpopulasi *exposed* atau terpapar terhadap waktu t , ditulis dengan :

$$\frac{dE(t)}{dt} = \beta S(t)I(t) + r\beta S(t)E(t) - (\varepsilon + \mu + \omega_1)E(t) \quad (4.3)$$

d. Laju Perubahan Populasi *Infected*

Subpopulasi *Infected* dinyatakan sebagai individu yang terinfeksi penyakit polio. Jumlah subpopulasi pada kompartemen I akan bertambah dengan kehadiran individu yang terpapar menjadi terinfeksi sebesar ε dan adanya individu yang divaksin disaat terpapar penyakit dengan laju ω_1 . Jumlah individu pada kompartemen *infected* berkurang karena adanya kematian alami μ yang bukan disebabkan oleh penyakit dengan $\mu > 0$, dan juga kematian yang diakibatkan oleh penyakit sebesar α . Oleh karena itu, laju perubahan subpopulasi *infected* terhadap waktu t ditulis dengan :

$$\frac{dI(t)}{dt} = (\varepsilon + \omega_1)E(t) - (\mu + \alpha)I(t) \quad (4.4)$$

e. Laju Perubahan Populasi *Vaccinated*

Subpopulasi *Vaccinated* dinyatakan sebagai individu yang kebal terhadap penyakit karena memperoleh vaksin *Oral Polio Vaccine* (OPV) dan *Inactivated Polio Vaccine* (IPV). Jumlah subpopulasi pada kompartemen V akan bertambah dengan kehadiran individu yang tervaksin dengan laju ω . Jumlah individu pada kompartemen *vaccinated* berkurang karena adanya kematian alami μ yang bukan disebabkan oleh penyakit dengan $\mu > 0$. Maka, laju perubahan subpopulasi *vaccinated* terhadap waktu t ditulis dengan :

$$\frac{dV(t)}{dt} = \omega S(t) - \mu V(t) \quad (4.5)$$

Berdasarkan persamaan (2.3) maka diperoleh sistem autonomus nonlinear yang merupakan model penyebaran polio dengan pengaruh vaksinasi dan *maternal antibody* dalam model epidemik MSEIV, sebagai berikut :

$$\begin{aligned}
 \frac{dM}{dt} &= b - \delta M - \mu M \\
 \frac{dS}{dt} &= \delta M - \beta SI - r\beta SE - (\mu + \omega)S \\
 \frac{dE}{dt} &= \beta SI + r\beta SE - (\varepsilon + \mu + \omega_1)E \\
 \frac{dI}{dt} &= (\varepsilon + \omega_1)E - (\mu + \alpha)I \\
 \frac{dV}{dt} &= \omega S - \mu V
 \end{aligned} \tag{4.6}$$

Karena $N = M + S + E + I + V$ adalah total populasi maka $M, S, E, I, V \geq 0$.

2. Analisis Model MSEIV pada penyebaran penyakit polio

Persamaan (4.6) adalah sistem persamaan diferensial non linear yang merupakan model matematika penyebaran penyakit polio dengan pengaruh vaksinasi dan *maternal antibody*. Titik kesetimbangan (ekuilibrium) model MSEIV akan terjadi jika $\frac{dM}{dt} = 0$, $\frac{dS}{dt} = 0$, $\frac{dE}{dt} = 0$, $\frac{dI}{dt} = 0$ dan $\frac{dV}{dt} = 0$. Maka persamaan (4.6) menjadi :

$$b - \delta M - \mu M = 0 \tag{4.7}$$

$$\delta M - \beta SI - r\beta SE - (\mu + \omega)S = 0 \tag{4.8}$$

$$\beta SI + r\beta SE - (\varepsilon + \mu + \omega_1)E = 0 \tag{4.9}$$

$$(\varepsilon + \omega_1)E - (\mu + \alpha)I = 0 \tag{4.10}$$

$$\omega S - \mu V = 0 \tag{4.11}$$

Titik kesetimbangan untuk model penyebaran penyakit polio dengan MSEIV terdiri dari dua, yaitu titik kesetimbangan bebas penyakit (E_0) dan titik kesetimbangan endemic penyakit (E_1).

a. Titik Kesetimbangan Bebas Penyakit (E_0)

Titik kesetimbangan bebas penyakit adalah keadaan dimana tidak terdapat penyakit dalam suatu populasi. Maka di asumsikan nilai I yang merupakan kelas individu terinfeksi adalah nol dan nilai E yang merupakan kompartemen individu terpapar penyakit adalah nol, atau $I = 0, E = 0$.

Substitusikan $I = 0, E = 0$ pada persamaan (4.7) untuk mendapatkan nilai M .

$$\begin{aligned} b - \delta M - \mu M &= 0 \\ (\delta + \mu)M &= b \\ M &= \frac{b}{\delta + \mu} \end{aligned} \quad (4.12)$$

Substitusikan $I = 0, E = 0$ pada persamaan (4.8).

$$\delta M - \beta SI - r\beta SE - (\mu + \omega)S = 0$$

$$(\mu + \omega)S = \delta M - \beta SI - r\beta SE$$

$$S = \frac{\delta M - \beta SI - r\beta SE}{\mu + \omega}$$

$$S = \frac{\delta M - \beta S(0) - r\beta S(0)}{\mu + \omega}$$

$$S = \frac{\delta M}{\mu + \omega} \quad (4.13)$$

Substitusikan $M = \frac{b}{\delta + \mu}$ ke persamaan (4.13), maka diperoleh nilai S

$$S = \frac{\delta \frac{b}{\delta + \mu}}{\mu + \omega}$$

$$S = \frac{\frac{\delta b}{\delta + \mu}}{\mu + \omega}$$

$$S = \frac{\delta b}{(\delta + \mu)(\mu + \omega)} \quad (4.14)$$

Substitusikan $S = \frac{\delta b}{(\delta + \mu)(\mu + \omega)}$ ke persamaan (4.11) untuk mendapatkan nilai V .

$$\omega S - \mu V = 0,$$

$$V = \frac{\omega S}{\mu}$$

$$V = \frac{\omega \frac{\delta b}{(\delta + \mu)(\mu + \omega)}}{\mu}$$

$$V = \frac{\omega \delta b}{(\delta + \mu)(\mu + \omega)\mu} \quad (4.15)$$

Maka titik kesetimbangan bebas penyakit adalah :

$$E_0 = (M, S, E, I, V) = \left(\frac{b}{\delta + \mu}, \frac{\delta b}{(\delta + \mu)(\mu + \omega)}, 0, 0, \frac{\omega \delta b}{(\delta + \mu)(\mu + \omega)\mu} \right)$$

b. Bilangan Reproduksi Dasar (R_0)

Nilai bilangan reproduksi dasar (R_0) yaitu parameter yang menunjukkan kondisi tingkat penyebaran penyakit dalam populasi. Maka digunakan sub populasi yang berpotensi untuk menyebarkan penyakit yaitu subpopulasi kompartemen *exposed* dan *infected* pada persamaan (4.6) dengan menggunakan metode *next generation matriks* sebagai berikut :

$$\frac{dE}{dt} = \beta SI + r\beta SE - (\varepsilon + \mu + \omega_1)E$$

$$\frac{dI}{dt} = (\varepsilon + \omega_1)E - (\mu + \alpha)I$$

Misalkan $a = \begin{pmatrix} E \\ I \end{pmatrix}$

Berdasarkan persamaan tersebut, diperoleh nilai $F(a)$ merupakan matriks yang berisi subpopulasi tahap awal individu terinfeksi akibat kontak dengan individu terinfeksi polio, dan $V(a)$ merupakan matriks yang berisi subpopulasi terinfeksi polio sebagai berikut :

$$F(a) = \begin{pmatrix} \beta SI + r\beta SE \\ 0 \end{pmatrix} \text{ dan } V(a) = \begin{pmatrix} (\varepsilon + \mu + \omega_1)E \\ (\mu + \alpha)I - (\varepsilon + \omega_1)E \end{pmatrix} \quad (4.16)$$

Kemudian dilakukan proses linearisasi pada persamaan (4.16) menggunakan matriks jacobian yang dinotasikan dengan \bar{F} yang merupakan matriks jacobian dari $F(a)$ dan \bar{V} merupakan matriks jacobian dari $V(a)$, sebagai berikut:

$$\bar{F} = \begin{bmatrix} \frac{\partial F_1}{\partial E} & \frac{\partial F_1}{\partial I} \\ \frac{\partial F_2}{\partial E} & \frac{\partial F_2}{\partial I} \end{bmatrix} = \begin{bmatrix} r\beta S & \beta S \\ 0 & 0 \end{bmatrix}$$

$$\bar{V} = \begin{bmatrix} \frac{\partial V_1}{\partial E} & \frac{\partial V_1}{\partial I} \\ \frac{\partial V_2}{\partial E} & \frac{\partial V_2}{\partial I} \end{bmatrix} = \begin{bmatrix} \varepsilon + \mu + \omega_1 & 0 \\ -\varepsilon - \omega_1 & \mu + \alpha \end{bmatrix}$$

Kemudian \bar{V}^{-1} dapat diperoleh dengan :

$$\bar{V}^{-1} = \frac{1}{|\bar{V}|} \text{Adj } \bar{V}$$

$$\bar{V}^{-1} = \begin{bmatrix} \frac{1}{\varepsilon + \mu + \omega_1} & 0 \\ \frac{\varepsilon + \omega_1}{(\mu + \alpha)(\varepsilon + \mu + \omega_1)} & \frac{1}{\mu + \alpha} \end{bmatrix}$$

Maka $\bar{K} = \bar{F}\bar{V}^{-1}$

$$\bar{K} = \begin{bmatrix} r\beta S & \beta S \\ 0 & 0 \end{bmatrix} \begin{bmatrix} \frac{1}{\varepsilon + \mu + \omega_1} & 0 \\ \frac{\varepsilon + \omega_1}{(\mu + \alpha)(\varepsilon + \mu + \omega_1)} & \frac{1}{\mu + \alpha} \end{bmatrix}$$

$$\bar{K} = \begin{bmatrix} \frac{r\beta S}{\varepsilon + \mu + \omega_1} + \frac{\beta S(\varepsilon + \omega_1)}{(\mu + \alpha)(\varepsilon + \mu + \omega_1)} & \frac{\beta S}{\mu + \alpha} \\ 0 & 0 \end{bmatrix}$$

Bilangan reproduksi dasar (R_0) adalah nilai eigen maksimum dari matriks $\bar{K} = \bar{F}\bar{V}^{-1}$, maka nilai eigen dapat ditentukan melalui persamaan (2.9) sebagai berikut:

$$\begin{aligned} \det(\lambda I - \bar{K}) &= 0 \\ \left| \lambda \begin{bmatrix} 1 & 0 \\ 0 & 1 \end{bmatrix} - \begin{bmatrix} \frac{r\beta S}{\varepsilon + \mu + \omega_1} + \frac{\beta S(\varepsilon + \omega_1)}{(\mu + \alpha)(\varepsilon + \mu + \omega_1)} & \frac{\beta S}{\mu + \alpha} \\ 0 & 0 \end{bmatrix} \right| &= 0 \\ \left| \begin{bmatrix} \lambda & 0 \\ 0 & \lambda \end{bmatrix} - \begin{bmatrix} \frac{r\beta S}{\varepsilon + \mu + \omega_1} + \frac{\beta S(\varepsilon + \omega_1)}{(\mu + \alpha)(\varepsilon + \mu + \omega_1)} & \frac{\beta S}{\mu + \alpha} \\ 0 & 0 \end{bmatrix} \right| &= 0 \\ \left| \left[\lambda - \frac{r\beta S}{\varepsilon + \mu + \omega_1} - \frac{\beta S(\varepsilon + \omega_1)}{(\mu + \alpha)(\varepsilon + \mu + \omega_1)} \quad -\frac{\beta S}{\mu + \alpha} \right] \right| &= 0 \\ \left(\lambda - \frac{r\beta S}{\varepsilon + \mu + \omega_1} - \frac{\beta S(\varepsilon + \omega_1)}{(\mu + \alpha)(\varepsilon + \mu + \omega_1)} \right) (\lambda) &= 0 \\ \lambda_1 = \frac{r\beta S}{\varepsilon + \mu + \omega_1} + \frac{\beta S(\varepsilon + \omega_1)}{(\mu + \alpha)(\varepsilon + \mu + \omega_1)}, \quad \lambda_2 &= 0 \end{aligned}$$

$$\lambda_1 = \frac{\beta S(r\mu + \alpha r + \varepsilon + \omega_1)}{(\mu + \alpha)(\varepsilon + \mu + \omega_1)} \quad (4.17)$$

Substitusikan nilai titik kesetimbangan bebas penyakit kompartemen S pada persamaan (4.14) ke persamaan (4.17) untuk mendapatkan nilai R_0 .

$$\begin{aligned} R_0 &= \frac{\beta S(r\mu + \alpha r + \varepsilon + \omega_1)}{(\mu + \alpha)(\varepsilon + \mu + \omega_1)} \\ R_0 &= \frac{\beta \left(\frac{\delta b}{(\delta + \mu)(\mu + \omega)} \right) (r\mu + \alpha r + \varepsilon + \omega_1)}{(\mu + \alpha)(\varepsilon + \mu + \omega_1)} \end{aligned}$$

$$R_0 = \frac{\beta\delta b(r\mu + \alpha r + \varepsilon + \omega_1)}{(\mu + \alpha)(\varepsilon + \mu + \omega_1)(\delta + \mu)(\mu + \omega)} \quad (4.18)$$

atau

$$R_0 = \frac{r\beta\delta b}{(\varepsilon + \mu + \omega_1)(\delta + \mu)(\mu + \omega)} + \frac{\beta\delta b(\varepsilon + \omega_1)}{(\mu + \alpha)(\varepsilon + \mu + \omega_1)(\delta + \mu)(\mu + \omega)}$$

$$R_0 = R_{0e} + R_{0i}$$

c. Titik Kesetimbangan Endemik Penyakit (E_1)

Titik kesetimbangan endemik penyakit (E_1) adalah kondisi dimana terdapat penyakit yang menyebar dalam populasi, maka $I \neq 0$.

Nilai M dapat diperoleh dari persamaan (4.7)

$$b - \delta M - \mu M = 0$$

$$(\delta + \mu)M = b$$

$$M = \frac{b}{\delta + \mu}$$

(4.19)

Dari persamaan (4.10) diperoleh:

$$(\varepsilon + \omega_1)E - (\mu + \alpha)I = 0$$

$$(\mu + \alpha)I = (\varepsilon + \omega_1)E$$

$$I = \frac{(\varepsilon + \omega_1)E}{\mu + \alpha} \quad (4.20)$$

Substitusi persamaan (4.20) ke persamaan (4.9) untuk mendapatkan nilai :

$$\beta SI + r\beta SE - (\varepsilon + \mu + \omega_1)E = 0$$

$$\beta S \left(\frac{(\varepsilon + \omega_1)E}{\mu + \alpha} \right) + r\beta SE = (\varepsilon + \mu + \omega_1)E$$

$$S \left(\beta E \left(\frac{(\varepsilon + \omega_1)}{\mu + \alpha} + r \right) \right) = (\varepsilon + \mu + \omega_1)E$$

$$S = \frac{(\varepsilon + \mu + \omega_1)E}{\beta E \left(\frac{(\varepsilon + \omega_1)}{\mu + \alpha} + r \right)}$$

$$S = \frac{\varepsilon + \mu + \omega_1}{\beta \left(\frac{\varepsilon + \omega_1 + r(\mu + \alpha)}{\mu + \alpha} \right)}$$

$$S = \frac{(\varepsilon + \mu + \omega_1)(\mu + \alpha)}{\beta(r\mu + r\alpha + \varepsilon + \omega_1)} \quad (4.21)$$

Dari persamaan (4.11) diperoleh :

$$\omega S - \mu V = 0$$

$$V = \frac{\omega S}{\mu} \quad (4.22)$$

Substitusi nilai S ke persamaan (4.22) untuk mendapatkan nilai V :

$$V = \frac{\omega S}{\mu} = \frac{\omega \left(\frac{(\varepsilon + \mu + \omega_1)(\mu + \alpha)}{\beta(r\mu + r\alpha + \varepsilon + \omega_1)} \right)}{\mu}$$

$$V = \frac{\omega(\varepsilon + \mu + \omega_1)(\mu + \alpha)}{\mu\beta(r\mu + r\alpha + \varepsilon + \omega_1)} \quad (4.23)$$

Substitusi persamaan (4.19), (4.20), (4.21) ke persamaan (4.8) untuk mendapat nilai E :

$$\delta M - \beta SI - r\beta SE - (\mu + \omega)S = 0$$

$$-\beta SI - r\beta SE = -\delta M + (\mu + \omega)S$$

$$S(-\beta I - r\beta E) = -\delta M + (\mu + \omega)S$$

$$\left(\frac{(\varepsilon + \mu + \omega_1)(\mu + \alpha)}{\beta(r\mu + r\alpha + \varepsilon + \omega_1)} \right) \left(-\beta \left(\frac{(\varepsilon + \omega_1)E}{\mu + \alpha} \right) - r\beta E \right) = -\frac{\delta b}{\delta + \mu} + \frac{(\mu + \omega)(\varepsilon + \mu + \omega_1)(\mu + \alpha)}{\beta(r\mu + r\alpha + \varepsilon + \omega_1)}$$

$$\begin{aligned}
\left(\frac{(\varepsilon+\mu+\omega_1)(\mu+\alpha)}{\beta(r\mu+r\alpha+\varepsilon+\omega_1)}\right) E \left(\frac{-\beta(\varepsilon+\omega_1)-r\beta(\mu+\alpha)}{\mu+\alpha}\right) &= \frac{-\delta b(r\mu+r\alpha+\varepsilon+\omega_1)+(\delta+\mu)(\mu+\omega)(\varepsilon+\mu+\omega_1)(\mu+\alpha)}{(\delta+\mu)\beta(r\mu+r\alpha+\varepsilon+\omega_1)} \\
\left(\frac{(\varepsilon+\mu+\omega_1)(\mu+\alpha)}{\beta(r\mu+r\alpha+\varepsilon+\omega_1)}\right) E \left(\frac{-\beta(r\mu+r\alpha+\varepsilon+\omega_1)}{\mu+\alpha}\right) &= \frac{-\delta b(r\mu+r\alpha+\varepsilon+\omega_1)+(\delta+\mu)(\mu+\omega)(\varepsilon+\mu+\omega_1)(\mu+\alpha)}{(\delta+\mu)\beta(r\mu+r\alpha+\varepsilon+\omega_1)} \\
-(\varepsilon+\mu+\omega_1)E &= \frac{-\delta b(r\mu+r\alpha+\varepsilon+\omega_1)+(\delta+\mu)(\mu+\omega)(\varepsilon+\mu+\omega_1)(\mu+\alpha)}{(\delta+\mu)\beta(r\mu+r\alpha+\varepsilon+\omega_1)} \\
E &= \left(\frac{-\delta b(r\mu+r\alpha+\varepsilon+\omega_1)+(\delta+\mu)(\mu+\omega)(\varepsilon+\mu+\omega_1)(\mu+\alpha)}{(\delta+\mu)\beta(r\mu+r\alpha+\varepsilon+\omega_1)}\right) \left(-\frac{1}{(\varepsilon+\mu+\omega_1)}\right) \\
E &= \frac{\delta b\beta(r\mu+r\alpha+\varepsilon+\omega_1)-(\delta+\mu)(\mu+\omega)(\varepsilon+\mu+\omega_1)(\mu+\alpha)}{(\delta+\mu)\beta(r\mu+r\alpha+\varepsilon+\omega_1)(\varepsilon+\mu+\omega_1)} \quad (4.24)
\end{aligned}$$

Substitusi persamaan (4.24) ke persamaan (4.20) untuk mendapatkan nilai :

$$\begin{aligned}
I &= \frac{\varepsilon+\omega_1}{\mu+\alpha} E \\
I &= \left(\frac{\varepsilon+\omega_1}{\mu+\alpha}\right) \left(\frac{\delta b\beta(r\mu+r\alpha+\varepsilon+\omega_1)-(\delta+\mu)(\mu+\omega)(\varepsilon+\mu+\omega_1)(\mu+\alpha)}{(\delta+\mu)\beta(r\mu+r\alpha+\varepsilon+\omega_1)(\varepsilon+\mu+\omega_1)}\right) \\
I &= \frac{(\varepsilon+\omega_1)\delta b\beta(r\mu+r\alpha+\varepsilon+\omega_1)-(\delta+\mu)(\mu+\omega)(\varepsilon+\mu+\omega_1)(\mu+\alpha)}{(\mu+\alpha)(\delta+\mu)\beta(r\mu+r\alpha+\varepsilon+\omega_1)(\varepsilon+\mu+\omega_1)} \quad (4.25)
\end{aligned}$$

Maka diperoleh titik kesetimbangan endemik penyakit sebagai berikut :

$$(E_1) = (M, S, E, I, V) = \left(\begin{array}{c} \frac{b}{\delta+\mu}, \frac{(\varepsilon+\mu+\omega_1)(\mu+\alpha)}{\beta(r\mu+r\alpha+\varepsilon+\omega_1)}, \\ \frac{\delta b\beta(r\mu+r\alpha+\varepsilon+\omega_1)-(\delta+\mu)(\mu+\omega)(\varepsilon+\mu+\omega_1)(\mu+\alpha)}{(\delta+\mu)\beta(r\mu+r\alpha+\varepsilon+\omega_1)(\varepsilon+\mu+\omega_1)}, \\ \frac{(\varepsilon+\omega_1)\delta b\beta(r\mu+r\alpha+\varepsilon+\omega_1)-(\delta+\mu)(\mu+\omega)(\varepsilon+\mu+\omega_1)(\mu+\alpha)}{(\mu+\alpha)(\delta+\mu)\beta(r\mu+r\alpha+\varepsilon+\omega_1)(\varepsilon+\mu+\omega_1)}, \\ \frac{\omega(\varepsilon+\mu+\omega_1)(\mu+\alpha)}{\mu\beta(r\mu+r\alpha+\varepsilon+\omega_1)} \end{array} \right)$$

Titik kesetimbangan endemik penyakit tersebut dapat dinyatakan dalam bentuk

R_0 sebagai berikut :

$$R_0 = \frac{\beta \delta b (r\mu + \alpha r + \varepsilon + \omega_1)}{(\mu + \alpha)(\varepsilon + \mu + \omega_1)(\delta + \mu)(\mu + \omega)}$$

$$\frac{1}{R_0} = \frac{(\mu + \alpha)(\varepsilon + \mu + \omega_1)(\delta + \mu)(\mu + \omega)}{\beta \delta b (r\mu + \alpha r + \varepsilon + \omega_1)}$$

$$\frac{\delta b}{R_0(\delta + \mu)(\mu + \omega)} = \frac{(\mu + \alpha)(\varepsilon + \mu + \omega_1)}{\beta(r\mu + \alpha r + \varepsilon + \omega_1)}$$

Karena $\frac{(\varepsilon + \mu + \omega_1)(\mu + \alpha)}{\beta(r\mu + \alpha r + \varepsilon + \omega_1)} = S$, maka diperoleh :

$$\frac{\delta b}{R_0(\delta + \mu)(\mu + \omega)} = S \quad (4.26)$$

Substitusikan persamaan (4.26) ke persamaan (4.22) untuk mendapatkan nilai V yang dinyatakan dengan R_0 , sebagai berikut :

$$V = \frac{\omega}{\mu} S$$

$$V = \frac{\omega}{\mu} \left(\frac{\delta b}{R_0(\delta + \mu)(\mu + \omega)} \right)$$

$$V = \frac{\omega \delta b}{\mu R_0(\delta + \mu)(\mu + \omega)} \quad (4.27)$$

Selanjutnya, akan dicari nilai $R_0 - 1$:

$$R_0 - 1 = \frac{\beta \delta b (r\mu + \alpha r + \varepsilon + \omega_1)}{(\mu + \alpha)(\varepsilon + \mu + \omega_1)(\delta + \mu)(\mu + \omega)} - 1$$

$$R_0 - 1 = \frac{\beta \delta b (r\mu + \alpha r + \varepsilon + \omega_1) - (\mu + \alpha)(\varepsilon + \mu + \omega_1)(\delta + \mu)(\mu + \omega)}{(\mu + \alpha)(\varepsilon + \mu + \omega_1)(\delta + \mu)(\mu + \omega)} \quad (4.28)$$

Substitusi persamaan (4.28), ke persamaan (4.24) untuk mendapatkan nilai E yang dinyatakan dalam R_0 :

$$E = \frac{\delta b \beta (r\mu + r\alpha + \varepsilon + \omega_1) - (\delta + \mu)(\mu + \omega)(\varepsilon + \mu + \omega_1)(\mu + \alpha)}{(\delta + \mu)\beta(r\mu + r\alpha + \varepsilon + \omega_1)(\varepsilon + \mu + \omega_1)}$$

$$E \left(\frac{1}{(\mu + \alpha)(\mu + \omega)} \right) = \frac{\delta b \beta (r\mu + r\alpha + \varepsilon + \omega_1) - (\delta + \mu)(\mu + \omega)(\varepsilon + \mu + \omega_1)(\mu + \alpha)}{(\delta + \mu)\beta(r\mu + r\alpha + \varepsilon + \omega_1)(\varepsilon + \mu + \omega_1)} \left(\frac{1}{(\mu + \alpha)(\mu + \omega)} \right)$$

$$E \left(\frac{1}{(\mu + \alpha)(\mu + \omega)} \right) = \frac{\delta b \beta (r\mu + r\alpha + \varepsilon + \omega_1) - (\delta + \mu)(\mu + \omega)(\varepsilon + \mu + \omega_1)(\mu + \alpha)}{(\delta + \mu)(\varepsilon + \mu + \omega_1)(\mu + \alpha)(\mu + \omega)} \left(\frac{1}{\beta(r\mu + r\alpha + \varepsilon + \omega_1)} \right)$$

$$E = \frac{(R_0 - 1)(\mu + \alpha)(\mu + \omega)}{\beta(r\mu + r\alpha + \varepsilon + \omega_1)} \quad (4.29)$$

Substitusi persamaan (4.29) ke persamaan (4.20) untuk mendapatkan nilai I yang dinyatakan dalam R_0 :

$$I = \frac{(\varepsilon + \omega_1)}{\mu + \alpha} E$$

$$I = \left(\frac{\varepsilon + \omega_1}{\mu + \alpha} \right) \left(\frac{(R_0 - 1)(\mu + \alpha)(\mu + \omega)}{\beta(r\mu + r\alpha + \varepsilon + \omega_1)} \right)$$

$$I = \frac{(\varepsilon + \omega_1)(R_0 - 1)(\mu + \omega)}{\beta(r\mu + r\alpha + \varepsilon + \omega_1)} \quad (4.30)$$

Maka diperoleh titik kesetimbangan endemik penyakit (E_1) adalah :

$$(E_1) = (M, S, E, I, V) = \left(\frac{b}{\delta + \mu}, \frac{\delta b}{R_0(\delta + \mu)(\mu + \omega)}, \frac{(R_0 - 1)(\mu + \alpha)(\mu + \omega)}{\beta(r\mu + r\alpha + \varepsilon + \omega_1)}, \frac{(\varepsilon + \omega_1)(R_0 - 1)(\mu + \omega)}{\beta(r\mu + r\alpha + \varepsilon + \omega_1)}, \frac{\omega \delta b}{\mu R_0(\delta + \mu)(\mu + \omega)} \right)$$

d. Analisis Kestabilan titik kesetimbangan model MSEIV

Analisis kestabilan titik kesetimbangan dilakukan dengan linearisasi model terlebih dahulu. Langkah-langkah linearisasi persamaan (4.6) dengan matriks jacobian (J) adalah sebagai berikut :

$$J = \begin{bmatrix} \frac{\partial f_1}{\partial M} & \frac{\partial f_1}{\partial S} & \frac{\partial f_1}{\partial E} & \frac{\partial f_1}{\partial I} & \frac{\partial f_1}{\partial V} \\ \frac{\partial f_2}{\partial M} & \frac{\partial f_2}{\partial S} & \frac{\partial f_2}{\partial E} & \frac{\partial f_2}{\partial I} & \frac{\partial f_2}{\partial V} \\ \frac{\partial f_3}{\partial M} & \frac{\partial f_3}{\partial S} & \frac{\partial f_3}{\partial E} & \frac{\partial f_3}{\partial I} & \frac{\partial f_3}{\partial V} \\ \frac{\partial f_4}{\partial M} & \frac{\partial f_4}{\partial S} & \frac{\partial f_4}{\partial E} & \frac{\partial f_4}{\partial I} & \frac{\partial f_4}{\partial V} \\ \frac{\partial f_5}{\partial M} & \frac{\partial f_5}{\partial S} & \frac{\partial f_5}{\partial E} & \frac{\partial f_5}{\partial I} & \frac{\partial f_5}{\partial V} \end{bmatrix} \quad (4.31)$$

Misalkan $\frac{dM}{dt} = f_1$, $\frac{dS}{dt} = f_2$, $\frac{dE}{dt} = f_3$, $\frac{dI}{dt} = f_4$, $\frac{dV}{dt} = f_5$, maka dapat dituliskan

persamaannya sebagai berikut :

$$f_1(M, S, E, I, V) = b - \delta M - \mu M$$

$$f_2(M, S, E, I, V) = \delta M - \beta SI - r\beta SE - (\mu + \omega)S$$

$$f_3(M, S, E, I, V) = \beta SI + r\beta SE - (\varepsilon + \mu + \omega_1)E$$

$$f_4(M, S, E, I, V) = (\varepsilon + \omega_1)E - (\mu + \alpha)I$$

$$f_5(M, S, E, I, V) = \omega S - \mu V$$

Kemudian persamaan tersebut di linearisasi sebagai berikut :

$$a. \frac{\partial f_1}{\partial M} = \frac{\partial(b - \delta M - \mu M)}{\partial M} = -\delta - \mu$$

$$b. \frac{\partial f_2}{\partial M} = \frac{\partial(\delta M - \beta SI - r\beta SE - (\mu + \omega)S)}{\partial M} = \delta$$

$$c. \frac{\partial f_3}{\partial M} = \frac{\partial(\beta SI + r\beta SE - (\varepsilon + \mu + \omega_1)E)}{\partial M} = 0$$

$$d. \frac{\partial f_4}{\partial M} = \frac{\partial((\varepsilon + \omega_1)E - (\mu + \alpha)I)}{\partial M} = 0$$

$$e. \frac{\partial f_5}{\partial M} = \frac{\partial(\omega S - \mu V)}{\partial M} = 0$$

$$f. \frac{\partial f_1}{\partial S} = \frac{\partial(b - \delta M - \mu M)}{\partial S} = 0$$

$$g. \frac{\partial f_2}{\partial S} = \frac{\partial(\delta M - \beta SI - r\beta SE - (\mu + \omega)S)}{\partial S} = -\beta I - r\beta E - \mu - \omega$$

$$h. \frac{\partial f_3}{\partial S} = \frac{\partial(\beta SI + r\beta SE - (\varepsilon + \mu + \omega_1)E)}{\partial S} = \beta I + r\beta E$$

$$i. \frac{\partial f_4}{\partial S} = \frac{\partial((\varepsilon + \omega_1)E - (\mu + \alpha)I)}{\partial S} = 0$$

$$j. \frac{\partial f_5}{\partial S} = \frac{\partial(\omega S - \mu V)}{\partial S} = \omega$$

$$k. \frac{\partial f_1}{\partial E} = \frac{\partial(b - \delta M - \mu M)}{\partial E} = 0$$

$$l. \frac{\partial f_2}{\partial E} = \frac{\partial(\delta M - \beta SI - r\beta SE - (\mu + \omega)S)}{\partial E} = -r\beta S$$

$$m. \frac{\partial f_3}{\partial E} = \frac{\partial(\beta SI + r\beta SE - (\varepsilon + \mu + \omega_1)E)}{\partial E} = r\beta S - \varepsilon - \mu - \omega_1$$

$$n. \frac{\partial f_4}{\partial E} = \frac{\partial((\varepsilon + \omega_1)E - (\mu + \alpha)I)}{\partial E} = \varepsilon + \omega_1$$

$$o. \frac{\partial f_5}{\partial E} = \frac{\partial(\omega S - \mu V)}{\partial E} = 0$$

$$p. \frac{\partial f_1}{\partial I} = \frac{\partial(b - \delta M - \mu M)}{\partial I} = 0$$

$$q. \frac{\partial f_2}{\partial I} = \frac{\partial(\delta M - \beta SI - r\beta SE - (\mu + \omega)S)}{\partial I} = -\beta S$$

$$r. \frac{\partial f_3}{\partial I} = \frac{\partial(\beta SI + r\beta SE - (\varepsilon + \mu + \omega_1)E)}{\partial I} = \beta S$$

$$s. \frac{\partial f_4}{\partial I} = \frac{\partial((\varepsilon + \omega_1)E - (\mu + \alpha)I)}{\partial I} = -\mu - \alpha$$

$$t. \frac{\partial f_5}{\partial I} = \frac{\partial(\omega S - \mu V)}{\partial I} = 0$$

$$u. \frac{\partial f_1}{\partial V} = \frac{\partial(b - \delta M - \mu M)}{\partial V} = 0$$

$$v. \frac{\partial f_2}{\partial V} = \frac{\partial(\delta M - \beta SI - r\beta SE - (\mu + \omega)S)}{\partial V} = 0$$

$$w. \frac{\partial f_3}{\partial V} = \frac{\partial(\beta SI + r\beta SE - (\varepsilon + \mu + \omega_1)E)}{\partial V} = 0$$

$$x. \frac{\partial f_4}{\partial V} = \frac{\partial((\varepsilon + \omega_1)E - (\mu + \alpha)I)}{\partial V} = 0$$

$$y. \frac{\partial f_5}{\partial V} = \frac{\partial(\omega S - \mu V)}{\partial V} = -\mu$$

Substitusi uraian tersebut ke dalam matriks jacobian (J), maka diperoleh :

$$J = \begin{bmatrix} -\delta - \mu & 0 & 0 & 0 & 0 \\ \delta & -\beta I - r\beta E - \mu - \omega & -r\beta S & -\beta S & 0 \\ 0 & \beta I + r\beta E & r\beta S - \varepsilon - \mu - \omega_1 & \beta S & 0 \\ 0 & 0 & \varepsilon + \omega_1 & -\mu - \alpha & 0 \\ 0 & \omega & 0 & 0 & -\mu \end{bmatrix} \quad (4.32)$$

1) Analisis Kestabilan Titik Kesetimbangan Bebas Penyakit

Analisis kestabilan pada titik kesetimbangan bebas penyakit dapat dilakukan dengan langkah awal yaitu mensubstitusi nilai titik kesetimbangan

$$\text{bebas penyakit } E_0 = (M, S, E, I, V) = \left(\frac{b}{\delta + \mu}, \frac{\delta b}{(\delta + \mu)(\mu + \omega)}, 0, 0, \frac{\omega \delta b}{(\delta + \mu)(\mu + \omega)\mu} \right)$$

ke matriks jacobian J (4.32) dan diperoleh :

$$J_{E_0} = \begin{bmatrix} -\delta - \mu & 0 & 0 & 0 & 0 \\ \delta & -\beta(0) - r\beta(0) - \mu - \omega & -r\beta \left(\frac{\delta b}{(\delta + \mu)(\mu + \omega)} \right) & -\beta \left(\frac{\delta b}{(\delta + \mu)(\mu + \omega)} \right) & 0 \\ 0 & \beta(0) + r\beta(0) & r\beta \left(\frac{\delta b}{(\delta + \mu)(\mu + \omega)} \right) - \varepsilon - \mu - \omega_1 & \beta \left(\frac{\delta b}{(\delta + \mu)(\mu + \omega)} \right) & 0 \\ 0 & 0 & \varepsilon + \omega_1 & -\mu - \alpha & 0 \\ 0 & \omega & 0 & 0 & -\mu \end{bmatrix}$$

$$J_{E_0} = \begin{bmatrix} -\delta - \mu & 0 & 0 & 0 & 0 \\ \delta & -\mu - \omega & \frac{-r\beta\delta b}{(\delta + \mu)(\mu + \omega)} & \frac{-\beta\delta b}{(\delta + \mu)(\mu + \omega)} & 0 \\ 0 & 0 & \frac{r\beta\delta b}{(\delta + \mu)(\mu + \omega)} - \varepsilon - \mu - \omega_1 & \frac{\beta\delta b}{(\delta + \mu)(\mu + \omega)} & 0 \\ 0 & 0 & \varepsilon + \omega_1 & -\mu - \alpha & 0 \\ 0 & \omega & 0 & 0 & -\mu \end{bmatrix}$$

Selanjutnya mencari nilai eigen dari matriks J_{E_0} dengan menggunakan persamaan (2.9) :

$$\det(\lambda I - J_{E_0}) = 0$$

$$\det \begin{pmatrix} \lambda & 0 & 0 & 0 & 0 \\ 0 & 1 & 0 & 0 & 0 \\ 0 & 0 & 1 & 0 & 0 \\ 0 & 0 & 0 & 1 & 0 \\ 0 & 0 & 0 & 0 & 1 \end{pmatrix} - \begin{pmatrix} -\delta - \mu & 0 & 0 & 0 & 0 \\ \delta & -\mu - \omega & \frac{-r\beta\delta b}{(\delta + \mu)(\mu + \omega)} & \frac{-\beta\delta b}{(\delta + \mu)(\mu + \omega)} & 0 \\ 0 & 0 & \frac{r\beta\delta b}{(\delta + \mu)(\mu + \omega)} - \varepsilon - \mu - \omega_1 & \frac{\beta\delta b}{(\delta + \mu)(\mu + \omega)} & 0 \\ 0 & 0 & \varepsilon + \omega_1 & -\mu - \alpha & 0 \\ 0 & \omega & 0 & 0 & -\mu \end{pmatrix} = 0$$

$$\det \begin{pmatrix} \lambda & 0 & 0 & 0 & 0 \\ 0 & \lambda & 0 & 0 & 0 \\ 0 & 0 & \lambda & 0 & 0 \\ 0 & 0 & 0 & \lambda & 0 \\ 0 & 0 & 0 & 0 & \lambda \end{pmatrix} - \begin{pmatrix} -\delta - \mu & 0 & 0 & 0 & 0 \\ \delta & -\mu - \omega & \frac{-r\beta\delta b}{(\delta + \mu)(\mu + \omega)} & \frac{-\beta\delta b}{(\delta + \mu)(\mu + \omega)} & 0 \\ 0 & 0 & \frac{r\beta\delta b}{(\delta + \mu)(\mu + \omega)} - \varepsilon - \mu - \omega_1 & \frac{\beta\delta b}{(\delta + \mu)(\mu + \omega)} & 0 \\ 0 & 0 & \varepsilon + \omega_1 & -\mu - \alpha & 0 \\ 0 & \omega & 0 & 0 & -\mu \end{pmatrix} = 0$$

$$\begin{vmatrix} \lambda + \delta + \mu & 0 & 0 & 0 & 0 \\ -\delta & \lambda + \mu + \omega & \frac{r\beta\delta b}{(\delta + \mu)(\mu + \omega)} & \frac{\beta\delta b}{(\delta + \mu)(\mu + \omega)} & 0 \\ 0 & 0 & \lambda - \frac{r\beta\delta b}{(\delta + \mu)(\mu + \omega)} + \varepsilon + \mu + \omega_1 & -\frac{\beta\delta b}{(\delta + \mu)(\mu + \omega)} & 0 \\ 0 & 0 & -\varepsilon - \omega_1 & \lambda + \mu + \alpha & 0 \\ 0 & -\omega & 0 & 0 & \lambda + \mu \end{vmatrix} = 0$$

Dengan metode ekspansi kofaktor maka diperoleh :

$$(\lambda + \mu) \begin{vmatrix} \lambda + \delta + \mu & 0 & 0 & 0 \\ -\delta & \lambda + \mu + \omega & \frac{r\beta\delta b}{(\delta + \mu)(\mu + \omega)} & \frac{\beta\delta b}{(\delta + \mu)(\mu + \omega)} \\ 0 & 0 & \lambda - \frac{r\beta\delta b}{(\delta + \mu)(\mu + \omega)} + \varepsilon + \mu + \omega_1 & -\frac{\beta\delta b}{(\delta + \mu)(\mu + \omega)} \\ 0 & 0 & -\varepsilon - \omega_1 & \lambda + \mu + \alpha \end{vmatrix} = 0$$

$$(\lambda + \mu)(\lambda + \delta + \mu) \begin{vmatrix} \lambda + \mu + \omega & \frac{r\beta\delta b}{(\delta + \mu)(\mu + \omega)} & \frac{\beta\delta b}{(\delta + \mu)(\mu + \omega)} \\ 0 & \lambda - \frac{r\beta\delta b}{(\delta + \mu)(\mu + \omega)} + \varepsilon + \mu + \omega_1 & -\frac{\beta\delta b}{(\delta + \mu)(\mu + \omega)} \\ 0 & -\varepsilon - \omega_1 & \lambda + \mu + \alpha \end{vmatrix} = 0$$

$$(\lambda + \mu)(\lambda + \delta + \mu)(\lambda + \mu + \omega) \begin{vmatrix} \lambda - \frac{r\beta\delta b}{(\delta + \mu)(\mu + \omega)} + \varepsilon + \mu + \omega_1 & -\frac{\beta\delta b}{(\delta + \mu)(\mu + \omega)} \\ -\varepsilon - \omega_1 & \lambda + \mu + \alpha \end{vmatrix} = 0$$

$$\Leftrightarrow (\lambda + \mu)(\lambda + \delta + \mu)(\lambda + \mu + \omega) \left(\left(\lambda - \frac{r\beta\delta b}{(\delta + \mu)(\mu + \omega)} + \varepsilon + \mu + \omega_1 \right) (\lambda + \mu + \alpha) - (-\varepsilon - \omega_1) \left(-\frac{\beta\delta b}{(\delta + \mu)(\mu + \omega)} \right) \right) = 0$$

(4.33)

Titik kesetimbangan bebas penyakit akan stabil jika akar-akar persamaan karakteristik yang diperoleh bernilai negatif. Pada persamaan (4.33) didapatkan nilai eigen berikut :

$$(\lambda + \mu) = 0$$

$$\lambda_1 = -\mu$$

dan,

$$(\lambda + \delta + \mu) = 0$$

$$\lambda_2 = -\delta - \mu$$

dan,

$$(\lambda + \mu + \omega) = 0$$

$$\lambda_3 = -\mu - \omega$$

Dapat dilihat bahwa masing-masing nilai $\lambda_1, \lambda_2, \lambda_3 < 0$ atau bernilai negatif. Selanjutnya nilai eigen lainnya dari persamaan (4.33) didapatkan dari akar persamaan berikut :

$$\left(\left(\lambda - \frac{r\beta\delta b}{(\delta+\mu)(\mu+\omega)} + \varepsilon + \mu + \omega_1 \right) (\lambda + \mu + \alpha) - (-\varepsilon - \omega_1) \left(-\frac{\beta\delta b}{(\delta+\mu)(\mu+\omega)} \right) \right) = 0$$

$$\Leftrightarrow \lambda(\lambda + \mu + \alpha) - \frac{r\beta\delta b}{(\delta+\mu)(\mu+\omega)} (\lambda + \mu + \alpha) + (\varepsilon + \mu + \omega_1)(\lambda + \mu + \alpha) -$$

$$\frac{(\varepsilon + \omega_1)\beta\delta b}{(\delta+\mu)(\mu+\omega)} = 0$$

$$\Leftrightarrow \lambda^2 + \lambda(\mu + \alpha) - \frac{r\beta\delta b}{(\delta+\mu)(\mu+\omega)} \lambda + \left(-\frac{r\beta\delta b}{(\delta+\mu)(\mu+\omega)} \right) (\mu + \alpha) + (\varepsilon + \mu +$$

$$\omega_1)\lambda + (\varepsilon + \mu + \omega_1)(\mu + \alpha) - \frac{(\varepsilon + \omega_1)\beta\delta b}{(\delta+\mu)(\mu+\omega)} = 0$$

$$\begin{aligned}
&\Leftrightarrow \lambda^2 \left(\mu + \alpha - \frac{r\beta\delta b}{(\delta+\mu)(\mu+\omega)} + \varepsilon + \mu + \omega_1 \right) \lambda + \left(-\frac{r\beta\delta b(\mu+\alpha)}{(\delta+\mu)(\mu+\omega)} \right) + (\varepsilon + \mu + \\
&\omega_1)(\mu + \alpha) - \frac{(\varepsilon+\omega_1)\beta\delta b}{(\delta+\mu)(\mu+\omega)} = 0 \\
&\Leftrightarrow \lambda^2 + \left((\mu + \alpha) + (\varepsilon + \mu + \omega_1) - \frac{r\beta\delta b}{(\delta+\mu)(\mu+\omega)} \right) \lambda + (\varepsilon + \mu + \\
&\omega_1)(\mu + \alpha) - \left(\frac{r\beta\delta b(\mu+\alpha) + (\varepsilon+\omega_1)\beta\delta b}{(\delta+\mu)(\mu+\omega)} \right) = 0 \tag{4.34}
\end{aligned}$$

Dari persamaan (4.34) dapat ditulis dalam bentuk :

$$\lambda^2 + A_1\lambda + A_2 = 0 \tag{4.35}$$

dengan :

$$\begin{aligned}
A_1 &= (\mu + \alpha) + (\varepsilon + \mu + \omega_1) - \frac{r\beta\delta b}{(\delta + \mu)(\mu + \omega)} \\
A_2 &= (\varepsilon + \mu + \omega_1)(\mu + \alpha) - \left(\frac{r\beta\delta b(\mu + \alpha) + (\varepsilon + \omega_1)\beta\delta b}{(\delta + \mu)(\mu + \omega)} \right)
\end{aligned}$$

Nilai eigen pada persamaan (4.35) akan bernilai negatif jika $A_1 > 0$ dan $A_2 > 0$. Berikut akan ditunjukkan bahwa $A_1 > 0$:

dimisalkan :

$$\begin{aligned}
x_1 &= \mu + \alpha \\
x_2 &= \varepsilon + \mu + \omega_1 \\
x_3 &= \frac{r\beta\delta b}{(\delta + \mu)(\mu + \omega)} \tag{4.36}
\end{aligned}$$

maka :

$$\begin{aligned}
A_1 &= x_1 + x_2 - x_3 \\
&= x_1 + (x_2)(1 - R_{0e})
\end{aligned}$$

dimana, $R_{0e} = \frac{x_3}{x_2}$

Dengan mengacu pada persamaan (4.36) maka syarat untuk $A_1 > 0$ adalah $R_{0e} < 1$.

Selanjutnya A_2 akan bernilai positif jika :

$$(\varepsilon + \mu + \omega_1)(\mu + \alpha) > \frac{r\beta\delta b(\mu + \alpha) + (\varepsilon + \omega_1)\beta\delta b}{(\delta + \mu)(\mu + \omega)}$$

$$(\varepsilon + \mu + \omega_1)(\mu + \alpha) \left(\frac{1}{(\varepsilon + \mu + \omega_1)(\mu + \alpha)} \right) > \frac{\beta\delta b(r\mu + r\alpha + \varepsilon + \omega_1)}{(\delta + \mu)(\mu + \omega)} \left(\frac{1}{(\varepsilon + \mu + \omega_1)(\mu + \alpha)} \right)$$

$$1 > \frac{\beta\delta b(r\mu + r\alpha + \varepsilon + \omega_1)}{(\delta + \mu)(\mu + \omega)(\varepsilon + \mu + \omega_1)(\mu + \alpha)}$$

dimana, $R_0 = \frac{\beta\delta b(r\mu + r\alpha + \varepsilon + \omega_1)}{(\mu + \alpha)(\varepsilon + \mu + \omega_1)(\delta + \mu)(\mu + \omega)}$, maka syarat untuk $A_2 > 0$ adalah

$R_0 < 1$.

Dari uraian tersebut, dapat diamati bahwa persamaan (4.35) memiliki akar negatif jika $R_{0e} < 1$ dan $R_0 < 1$. Karena, $R_0 = R_{0e} + R_{0i}$ sehingga syarat cukup agar persamaan (4.35) memiliki bagian real negatif adalah $R_0 < 1$. Dengan demikian, kesetimbangan bebas penyakit stabil asimtotik jika angka reproduksi dasar $R_0 < 1$ yang menunjukkan bahwa penyakit tidak akan menyebar dan epidemi akan menghilang. Oleh karena itu, dapat dibentuk teorema (4.1).

Teorema 4.1

Titik kesetimbangan bebas penyakit polio $(E_0) = (M, S, E, I, V) = \left(\frac{b}{\delta + \mu}, \frac{\delta b}{(\delta + \mu)(\mu + \omega)}, 0, 0, \frac{\omega \delta b}{(\delta + \mu)(\mu + \omega)\mu} \right)$ akan stabil asimtotis jika dan hanya

jika memenuhi nilai $R_0 < 1$.

2) Analisis Kestabilan Titik Kesetimbangan Endemik

Pada perhitungan titik kesetimbangan endemik sebelumnya diperoleh

$$\text{titik } (E_1) = (M, S, E, I, V) = \left(\frac{b}{\delta + \mu}, \frac{\delta b}{R_0(\delta + \mu)(\mu + \omega)}, \frac{(R_0 - 1)(\mu + \alpha)(\mu + \omega)}{\beta(r\mu + r\alpha + \varepsilon + \omega_1)}, \right.$$

$$\left. \frac{(\varepsilon + \omega_1)(R_0 - 1)(\mu + \omega)}{\beta(r\mu + r\alpha + \varepsilon + \omega_1)}, \frac{\omega \delta b}{\mu R_0(\delta + \mu)(\mu + \omega)} \right), \text{ Analisis kestabilan pada titik}$$

kesetimbangan endemik dapat dilakukan dengan langkah awal yaitu mensubstitusi nilai titik kesetimbangan bebas endemik E_1 ke matriks jacobian

(4.32) dan diperoleh:

$$J = \begin{bmatrix} -\delta - \mu & 0 & 0 & 0 & 0 \\ \delta & -\beta I - r\beta E - \mu - \omega & -r\beta S & -\beta S & 0 \\ 0 & \beta I + r\beta E & r\beta S - \varepsilon - \mu - \omega_1 & \beta S & 0 \\ 0 & 0 & \varepsilon + \omega_1 & -\mu - \alpha & 0 \\ 0 & \omega & 0 & 0 & -\mu \end{bmatrix}$$

$$J_E = \begin{bmatrix} -\delta - \mu & 0 & 0 & 0 & 0 \\ \delta & -\beta \left(\frac{(\varepsilon + \omega_1)(R_0 - 1)(\mu + \omega)}{\beta(r\mu + r\alpha + \varepsilon + \omega_1)} \right) - r\beta \left(\frac{(R_0 - 1)(\mu + \alpha)(\mu + \omega)}{\beta(r\mu + r\alpha + \varepsilon + \omega_1)} \right) - \mu - \omega & -r\beta \left(\frac{\delta b}{R_0(\delta + \mu)(\mu + \omega)} \right) & -\beta \left(\frac{\delta b}{R_0(\delta + \mu)(\mu + \omega)} \right) & 0 \\ 0 & \beta \left(\frac{(\varepsilon + \omega_1)(R_0 - 1)(\mu + \omega)}{\beta(r\mu + r\alpha + \varepsilon + \omega_1)} \right) - r\beta \left(\frac{(R_0 - 1)(\mu + \alpha)(\mu + \omega)}{\beta(r\mu + r\alpha + \varepsilon + \omega_1)} \right) & r\beta \left(\frac{\delta b}{R_0(\delta + \mu)(\mu + \omega)} \right) - \varepsilon - \mu - \omega_1 & \beta \left(\frac{\delta b}{R_0(\delta + \mu)(\mu + \omega)} \right) & 0 \\ 0 & 0 & \varepsilon + \omega_1 & -\mu - \alpha & 0 \\ 0 & \omega & 0 & 0 & -\mu \end{bmatrix}$$

untuk memudahkan analisis maka terlebih dahulu dimisalkan :

$$a = \delta + \mu$$

$$b = \frac{(\varepsilon + \omega_1)(R_0 - 1)(\mu + \omega)}{r\mu + r\alpha + \varepsilon + \omega_1}$$

$$c = \frac{r(R_0 - 1)(\mu + \alpha)(\mu + \omega)}{\beta(r\mu + r\alpha + \varepsilon + \omega_1)}$$

$$d = \mu + \omega$$

$$e = \frac{r\beta\delta b}{R_0(\delta + \mu)(\mu + \omega)}$$

$$f = \frac{\beta\delta b}{R_0(\delta + \mu)(\mu + \omega)}$$

$$g = \varepsilon + \mu + \omega_1$$

$$h = \varepsilon + \omega_1$$

$$i = \mu + \alpha$$

(4.37)

Dengan mensubstitusi (4.37) ke persamaan J_E , Maka persamaan J_{E_1} adalah sebagai berikut :

$$J_{E_1} = \begin{bmatrix} -a & 0 & 0 & 0 & 0 \\ \delta & -\frac{\beta b}{\beta} - \frac{\beta c}{\beta} - d & -e & -f & 0 \\ 0 & \frac{\beta b}{\beta} + \frac{\beta c}{\beta} & e - g & f & 0 \\ 0 & 0 & h & -i & 0 \\ 0 & \omega & 0 & 0 & -\mu \end{bmatrix}$$

$$J_{E_1} = \begin{bmatrix} -a & 0 & 0 & 0 & 0 \\ \delta & -b - c - d & -e & -f & 0 \\ 0 & b + c & e - g & f & 0 \\ 0 & 0 & h & -i & 0 \\ 0 & \omega & 0 & 0 & -\mu \end{bmatrix}$$

Selanjutnya mencari nilai eigen dari matriks J_{E_1} dengan menggunakan persamaan (2.9) :

$$\det(\lambda I - J_{E_0}) = 0$$

$$\det \left(\lambda \begin{bmatrix} 1 & 0 & 0 & 0 & 0 \\ 0 & 1 & 0 & 0 & 0 \\ 0 & 0 & 1 & 0 & 0 \\ 0 & 0 & 0 & 1 & 0 \\ 0 & 0 & 0 & 0 & 1 \end{bmatrix} - \begin{bmatrix} -a & 0 & 0 & 0 & 0 \\ \delta & -b - c - d & -e & -f & 0 \\ 0 & b + c & e - g & f & 0 \\ 0 & 0 & h & -i & 0 \\ 0 & \omega & 0 & 0 & -\mu \end{bmatrix} \right) = 0$$

$$\begin{vmatrix} \lambda + a & 0 & 0 & 0 & 0 \\ -\delta & \lambda + b + c + d & e & f & 0 \\ 0 & -b - c & \lambda - e + g & -f & 0 \\ 0 & 0 & -h & \lambda + i & 0 \\ 0 & -\omega & 0 & 0 & \lambda + \mu \end{vmatrix} = 0$$

Dengan metode ekspansi kofaktor maka diperoleh :

$$\lambda + \mu \begin{vmatrix} \lambda + a & 0 & 0 & 0 \\ -\delta & \lambda + b + c + d & e & f \\ 0 & -b - c & \lambda - e + g & -f \\ 0 & 0 & -h & \lambda + i \end{vmatrix} = 0$$

$$(\lambda + \mu)(\lambda + a) \begin{vmatrix} \lambda + b + c + d & e & f \\ -b - c & \lambda - e + g & -f \\ 0 & -h & \lambda + i \end{vmatrix} = 0$$

Titik kesetimbangan bebas penyakit akan stabil jika akar-akar persamaan karakteristik yang diperoleh bernilai negatif. Dari persamaan diatas didapatkan nilai eigen berikut :

$$(\lambda + \mu) = 0$$

$$\lambda_1 = -\mu$$

dan,

$$(\lambda + a) = 0$$

$$\lambda_2 = -a$$

$$\lambda_2 = -(\delta + \mu)$$

Dapat dilihat bahwa masing-masing nilai $\lambda_1, \lambda_2 < 0$ atau bernilai negatif.

Selanjutnya persamaan lainnya diperoleh dengan menyelesaikan matriks berordo 3×3 berikut dengan metode sarrus :

$$\begin{vmatrix} \lambda + b + c + d & e & f \\ -b - c & \lambda - e + g & -f \\ 0 & -h & \lambda + i \end{vmatrix} = 0$$

$$\begin{aligned} &\Leftrightarrow (\lambda + b + c + d)(\lambda - e + g)(\lambda + i) + 0 + (f)(-b - c)(-h) - 0 - \\ &(-h)(-f)(\lambda + b + c + d) - (\lambda + i)(-b - c)(e) = 0 \\ &\Leftrightarrow \lambda^3 + (i - e + g + b + c + d)\lambda^2 + (-ei + gi + bi - be + bg + ci - ce + \\ &cg + di - ed + dg + hf + be + ce)\lambda + (-bei + bgi - cei + cgi - edi + \\ &dgi + fbh + fch - hfb - hfc + hfd + bei + cei) \\ &\Leftrightarrow \lambda^3 + (i - e + g + b + c + d)\lambda^2 + (-ei + gi + bi + bg + ci + \\ &cg + di - ed + dg + hf)\lambda + (bgi + cgi - edi + dgi + hfd) \end{aligned} \quad (4.38)$$

Persamaan (4.38) dapat dituliskan dalam bentuk :

$$\lambda^3 + B_1\lambda^2 + B_2\lambda + B_3 = 0 \quad (4.39)$$

Dengan :

$$B_1 = i - e + g + b + c + d$$

$$B_2 = -ei + gi + bi + bg + ci + cg + di - ed + dg + hf$$

$$B_3 = bgi + cgi - edi + dgi + hfd$$

Berikut akan ditunjukkan bahwa $B_1 > 0$:

$$i - e + g + b + c + d > 0$$

$$(\mu + \alpha) - \left(\frac{r\beta\delta b}{R_0(\delta + \mu)(\mu + \omega)} \right) + (\varepsilon + \mu + \omega_1) + \left(\frac{(\varepsilon + \omega_1)(R_0 - 1)(\mu + \omega)}{r\mu + r\alpha + \varepsilon + \omega_1} \right) +$$

$$\frac{r(R_0 - 1)(\mu + \alpha)(\mu + \omega)}{\beta(r\mu + r\alpha + \varepsilon + \omega_1)} + (\mu + \omega) > 0$$

dimisalkan :

$$-e + g = -\frac{r\beta\delta b}{R_0(\delta + \mu)(\mu + \omega)} + (\varepsilon + \mu + \omega_1)$$

Akan dibuktikan bahwa $-e + g > 0$

$$\begin{aligned}
 & -\frac{r\beta\delta b}{R_0(\delta + \mu)(\mu + \omega)} + (\varepsilon + \mu + \omega_1) > 0 \\
 & -\frac{r\beta\delta b}{\left(\frac{\beta\delta b(r\mu + \alpha r + \varepsilon + \omega_1)}{(\mu + \alpha)(\varepsilon + \mu + \omega_1)(\delta + \mu)(\mu + \omega)}\right)(\delta + \mu)(\mu + \omega)} + (\varepsilon + \mu + \omega_1) > 0 \\
 & -\frac{r(\mu + \alpha)(\varepsilon + \mu + \omega_1)}{r\mu + \alpha r + \varepsilon + \omega_1} + \frac{(\varepsilon + \mu + \omega_1)(r\mu + \alpha r + \varepsilon + \omega_1)}{r\mu + \alpha r + \varepsilon + \omega_1} > 0 \\
 & -\frac{r\mu(\varepsilon + \mu + \omega_1) + \alpha r(\varepsilon + \mu + \omega_1)}{r\mu + \alpha r + \varepsilon + \omega_1} + \frac{r\mu(\varepsilon + \mu + \omega_1) + \alpha r(\varepsilon + \mu + \omega_1) + (\varepsilon + \mu + \omega_1)(\varepsilon + \omega_1)}{r\mu + \alpha r + \varepsilon + \omega_1} > 0 \\
 & \frac{(\varepsilon + \mu + \omega_1)(\varepsilon + \omega_1)}{r\mu + \alpha r + \varepsilon + \omega_1} > 0
 \end{aligned}$$

Karena $(-e + g) = \frac{(\varepsilon + \mu + \omega_1)(\varepsilon + \omega_1)}{r\mu + \alpha r + \varepsilon + \omega_1}$, maka :

$$(\mu + \alpha) + \left(\frac{(\varepsilon + \mu + \omega_1)(\varepsilon + \omega_1)}{r\mu + \alpha r + \varepsilon + \omega_1}\right) + \left(\frac{(\varepsilon + \omega_1)(R_0 - 1)(\mu + \omega)}{r\mu + \alpha r + \varepsilon + \omega_1}\right) + \frac{r(R_0 - 1)(\mu + \alpha)(\mu + \omega)}{\beta(r\mu + \alpha r + \varepsilon + \omega_1)} + (\mu + \omega) > 0$$

Dengan demikian, terbukti $B_1 > 0$ jika $R_0 > 1$.

Selanjutnya, akan ditunjukkan $B_2 > 0$:

$$-ei + gi + bi + bg + ci + cg + di - ed + dg + hf > 0$$

$$i(-e + g) + bi + bg + ci + cg + di + d(-e + g) + hf > 0$$

Dengan mensubstitusi $(-e + g) = \frac{(\varepsilon + \mu + \omega_1)(\varepsilon + \omega_1)}{r\mu + \alpha r + \varepsilon + \omega_1}$, diperoleh :

$$\begin{aligned}
 & (\mu + \alpha) \left(\frac{(\varepsilon + \mu + \omega_1)(\varepsilon + \omega_1)}{r\mu + \alpha r + \varepsilon + \omega_1}\right) + \left(\frac{(\varepsilon + \omega_1)(R_0 - 1)(\mu + \omega)}{r\mu + \alpha r + \varepsilon + \omega_1}\right) (\mu + \alpha) + \\
 & \left(\frac{(\varepsilon + \omega_1)(R_0 - 1)(\mu + \omega)}{r\mu + \alpha r + \varepsilon + \omega_1}\right) (\varepsilon + \mu + \omega_1) + \left(\frac{r(R_0 - 1)(\mu + \alpha)(\mu + \omega)}{\beta(r\mu + \alpha r + \varepsilon + \omega_1)}\right) (\mu + \alpha) + \\
 & \left(\frac{r(R_0 - 1)(\mu + \alpha)(\mu + \omega)}{\beta(r\mu + \alpha r + \varepsilon + \omega_1)}\right) (\varepsilon + \mu + \omega_1) + (\mu + \omega)(\mu + \alpha) + (\mu + \\
 & \omega) \left(\frac{(\varepsilon + \mu + \omega_1)(\varepsilon + \omega_1)}{r\mu + \alpha r + \varepsilon + \omega_1}\right) + (\varepsilon + \omega_1) \left(\frac{\beta\delta b}{R_0(\delta + \mu)(\mu + \omega)}\right) > 0
 \end{aligned}$$

Dengan demikian, terbukti $B_2 > 0$ jika $R_0 > 1$.

Selanjutnya, akan ditunjukkan $B_3 > 0$ atau bernilai positif:

$$bgi + cgi - edi + dgi + hfd > 0$$

$$gi(b + c) + di(-e + g) + hfd > 0$$

substitusi $(-e + g) = \frac{(\varepsilon + \mu + \omega_1)(\varepsilon + \omega_1)}{r\mu + r\alpha + \varepsilon + \omega_1}$, maka :

$$(\varepsilon + \mu + \omega_1)(\mu + \alpha) \left(\frac{(\varepsilon + \omega_1)(R_0 - 1)(\mu + \omega)}{r\mu + r\alpha + \varepsilon + \omega_1} + \frac{r(R_0 - 1)(\mu + \alpha)(\mu + \omega)}{\beta(r\mu + r\alpha + \varepsilon + \omega_1)} \right) + (\mu + \omega)(\mu + \alpha) \left(\frac{(\varepsilon + \mu + \omega_1)(\varepsilon + \omega_1)}{r\mu + r\alpha + \varepsilon + \omega_1} \right) + (\varepsilon + \omega_1) \left(\frac{\beta \delta b}{R_0(\delta + \mu)(\mu + \omega)} \right) (\mu + \omega) > 0$$

Dengan demikian, terbukti $B_3 > 0$ jika $R_0 > 1$.

Dari uraian tersebut diperoleh bahwa B_1, B_2 , dan B_3 bernilai positif jika dan hanya jika $R_0 > 1$. Persamaan (4.39) merupakan persamaan polynomial pangkat 3 yang dapat ditentukan jenis kestabilannya dengan kriteria *routh-hurwitz* sebagai berikut :

Tabel 4. 2 Kriteria *Routh-Hurwitz*

λ^3	1	B_2
λ^2	B_1	B_3
λ^1	$\frac{B_1 B_2 - 1(B_3)}{B_1}$	0
λ^0	$\frac{\left(\frac{B_1 B_2 - 1(B_3)}{B_1} \right) B_3 - B_1(0)}{\frac{B_1 B_2 - 1(B_3)}{B_1}}$	
	$= B_3$	

Akan dibuktikan bahwa $B_1B_2 - B_3 > 0$

$$(i - e + g + b + c + d)(-ei + gi + bi + bg + ci + cg + di - ed + dg + hf) - (bgi + cgi - edi + dgi + hfd) > 0$$

$$(-ei^2 + gi^2 + bi^2 + 2bgi + ci^2 + 2cgi + di^2 - 2edi + 2dgi + hfi + e^2i - egi - 2bei - beg - 2cei - ceg + de^2 - deg - efh + g^2i + bgi + bg^2 + cg^2 + dg^2 + ghf + b^2i + b^2g + 2bci + 2bcg + 2bdi - bed + 2bdg + bhf + cgi + c^2i + c^2g + 2cdi - ced + 2cdg + cfh - edi + dgi + d^2i - d^2e + d^2g + hfd) - bgi - cgi + edi - dgi - hfd > 0$$

$$-ei^2 + gi^2 + bi^2 + ci^2 + di^2 - 2edi + 2dgi + hfi + e^2i - egi - deg + g^2i + g^2d - 2bei + 2bgi - beg + bg^2 - 2cei + 2cgi - ceg + cg^2 + de^2 - efh + ghf + b^2i + b^2g + 2bci + 2bcg + 2bdi - bed + 2bdg + bhf + c^2i + c^2g + 2cdi - ced + 2cdg + cfh + d^2i - d^2e + d^2g > 0$$

$$i^2(-e + g) + bi^2 + ci^2 + di^2 + 2di(-e + g) + hfi + e^2i + (-e + g)(gi + dg) + 2bi(-e + g) + bg(-e + g) + 2ci(-e + g) + cg(-e + g) + de^2 + fh(-e + g) + b^2i + b^2g + 2bci + 2bcg + 2bdi + bd(-e + 2g) + bhf + c^2i + c^2g + 2cdi + cd(-e + 2g) + cfh + d^2i + d^2(-e + g) > 0$$

Akan dibuktikan bahwa $(-e + 2g) > 0$

$$-\frac{r\beta\delta b}{R_0(\delta + \mu)(\mu + \omega)} + 2(\varepsilon + \mu + \omega_1) > 0$$

$$-\frac{r\beta\delta b}{\left(\frac{\beta\delta b(r\mu + ar + \varepsilon + \omega_1)}{(\mu + \alpha)(\varepsilon + \mu + \omega_1)(\delta + \mu)(\mu + \omega)}\right)(\delta + \mu)(\mu + \omega)} + 2(\varepsilon + \mu + \omega_1) > 0$$

$$-\frac{r(\mu + \alpha)(\varepsilon + \mu + \omega_1)}{r\mu + ar + \varepsilon + \omega_1} + \frac{2(\varepsilon + \mu + \omega_1)(r\mu + ar + \varepsilon + \omega_1)}{r\mu + ar + \varepsilon + \omega_1} > 0$$

$$-\frac{r\mu(\varepsilon+\mu+\omega_1)+\alpha r(\varepsilon+\mu+\omega_1)}{r\mu+\alpha r+\varepsilon+\omega_1} + \frac{2r\mu(\varepsilon+\mu+\omega_1)+2\alpha r(\varepsilon+\mu+\omega_1)+2(\varepsilon+\omega_1)(\varepsilon+\mu+\omega_1)}{r\mu+\alpha r+\varepsilon+\omega_1} > 0$$

$$\frac{(\varepsilon + \mu + \omega_1)(r\mu + \alpha r + 2\varepsilon + 2\omega_1)}{r\mu + \alpha r + \varepsilon + \omega_1} > 0$$

Dengan mensubstitusi $(-e + g) = \frac{(\varepsilon+\mu+\omega_1)(\varepsilon+\omega_1)}{r\mu+\alpha r+\varepsilon+\omega_1}$ dan $(-e + 2g) =$

$\frac{(\varepsilon+\mu+\omega_1)(r\mu+\alpha r+2\varepsilon+2\omega_1)}{r\mu+\alpha r+\varepsilon+\omega_1}$ maka :

$$i^2(-e + g) + bi^2 + ci^2 + di^2 + 2di(-e + g) + hfi + e^2i + (-e + g)(gi + dg) + 2bi(-e + g) + bg(-e + g) + 2ci(-e + g) + cg(-e + g) + de^2 + fh(-e + g) + b^2i + b^2g + 2bci + 2bcg + 2bdi + bd(-e + 2g) + bhf + c^2i + c^2g + 2cdi + cd(-e + 2g) + cfh + d^2i + d^2(-e + g) > 0$$

$$\begin{aligned} & (\mu + \alpha)^2 \left(\frac{(\varepsilon+\mu+\omega_1)(\varepsilon+\omega_1)}{r\mu+\alpha r+\varepsilon+\omega_1} \right) + \left(\frac{(\varepsilon+\omega_1)(R_0-1)(\mu+\omega)}{r\mu+r\alpha+\varepsilon+\omega_1} \right) (\mu + \alpha)^2 + \left(\frac{r(R_0-1)(\mu+\alpha)(\mu+\omega)}{\beta(r\mu+r\alpha+\varepsilon+\omega_1)} \right) (\mu + \\ & \alpha)^2 + (\mu + \omega)(\mu + \alpha)^2 + 2(\mu + \omega)(\mu + \alpha) \left(\frac{(\varepsilon+\mu+\omega_1)(\varepsilon+\omega_1)}{r\mu+\alpha r+\varepsilon+\omega_1} \right) + (\varepsilon + \\ & \omega_1) \left(\frac{\beta\delta b}{R_0(\delta+\mu)(\mu+\omega)} \right) (\mu + \alpha) + \left(\frac{r\beta\delta b}{R_0(\delta+\mu)(\mu+\omega)} \right)^2 (\mu + \alpha) + \left(\frac{(\varepsilon+\mu+\omega_1)(\varepsilon+\omega_1)}{r\mu+\alpha r+\varepsilon+\omega_1} \right) ((\varepsilon + \mu + \\ & \omega_1)(\mu + \alpha) + (\mu + \omega)(\varepsilon + \mu + \omega_1)) + 2 \left(\frac{(\varepsilon+\omega_1)(R_0-1)(\mu+\omega)}{r\mu+r\alpha+\varepsilon+\omega_1} (\mu + \right. \\ & \left. \alpha) \right) \left(\frac{(\varepsilon+\mu+\omega_1)(\varepsilon+\omega_1)}{r\mu+\alpha r+\varepsilon+\omega_1} \right) + \left(\frac{(\varepsilon+\omega_1)(R_0-1)(\mu+\omega)}{r\mu+r\alpha+\varepsilon+\omega_1} \right) (\varepsilon + \mu + \omega_1) \left(\frac{(\varepsilon+\mu+\omega_1)(\varepsilon+\omega_1)}{r\mu+\alpha r+\varepsilon+\omega_1} \right) + \\ & 2 \left(\frac{r(R_0-1)(\mu+\alpha)(\mu+\omega)}{\beta(r\mu+r\alpha+\varepsilon+\omega_1)} (\mu + \alpha) \right) \left(\frac{(\varepsilon+\mu+\omega_1)(\varepsilon+\omega_1)}{r\mu+\alpha r+\varepsilon+\omega_1} \right) + \left(\frac{r(R_0-1)(\mu+\alpha)(\mu+\omega)}{\beta(r\mu+r\alpha+\varepsilon+\omega_1)} \right) (\varepsilon + \mu + \\ & \omega_1) \left(\frac{(\varepsilon+\mu+\omega_1)(\varepsilon+\omega_1)}{r\mu+\alpha r+\varepsilon+\omega_1} \right) + \left(\frac{r\beta\delta b}{R_0(\delta+\mu)(\mu+\omega)} \right) (\mu + \omega)^2 + (\varepsilon + \\ & \omega_1) \left(\frac{\beta\delta b}{R_0(\delta+\mu)(\mu+\omega)} \right) \left(\frac{(\varepsilon+\mu+\omega_1)(\varepsilon+\omega_1)}{r\mu+\alpha r+\varepsilon+\omega_1} \right) + \left(\frac{(\varepsilon+\omega_1)(R_0-1)(\mu+\omega)}{r\mu+r\alpha+\varepsilon+\omega_1} \right)^2 (\mu + \alpha) + \\ & \left(\frac{(\varepsilon+\omega_1)(R_0-1)(\mu+\omega)}{r\mu+r\alpha+\varepsilon+\omega_1} \right)^2 (\varepsilon + \mu + \omega_1) + 2 \left(\frac{(\varepsilon+\omega_1)(R_0-1)(\mu+\omega)}{r\mu+r\alpha+\varepsilon+\omega_1} \right) \left(\frac{r(R_0-1)(\mu+\alpha)(\mu+\omega)}{\beta(r\mu+r\alpha+\varepsilon+\omega_1)} \right) (\mu + \end{aligned}$$

$$\begin{aligned}
& \alpha) + 2 \left(\frac{(\varepsilon + \omega_1)(R_0 - 1)(\mu + \omega)}{r\mu + r\alpha + \varepsilon + \omega_1} \right) \left(\frac{r(R_0 - 1)(\mu + \alpha)(\mu + \omega)}{\beta(r\mu + r\alpha + \varepsilon + \omega_1)} \right) (\varepsilon + \mu + \omega_1) + \\
& 2 \left(\frac{(\varepsilon + \omega_1)(R_0 - 1)(\mu + \omega)}{r\mu + r\alpha + \varepsilon + \omega_1} \right) (\mu + \omega)(\mu + \alpha) + \left(\frac{(\varepsilon + \omega_1)(R_0 - 1)(\mu + \omega)}{r\mu + r\alpha + \varepsilon + \omega_1} \right) (\mu + \\
& \omega) \left(\frac{(\varepsilon + \mu + \omega_1)(r\mu + r\alpha + 2\varepsilon + 2\omega_1)}{r\mu + r\alpha + \varepsilon + \omega_1} \right) + \left(\frac{(\varepsilon + \omega_1)(R_0 - 1)(\mu + \omega)}{r\mu + r\alpha + \varepsilon + \omega_1} \right) (\varepsilon + \omega_1) \left(\frac{\beta\delta b}{R_0(\delta + \mu)(\mu + \omega)} \right) + \\
& \left(\frac{r(R_0 - 1)(\mu + \alpha)(\mu + \omega)}{\beta(r\mu + r\alpha + \varepsilon + \omega_1)} \right)^2 (\mu + \alpha) + \left(\frac{r(R_0 - 1)(\mu + \alpha)(\mu + \omega)}{\beta(r\mu + r\alpha + \varepsilon + \omega_1)} \right)^2 (\varepsilon + \mu + \omega_1) + \\
& 2 \left(\frac{r(R_0 - 1)(\mu + \alpha)(\mu + \omega)}{\beta(r\mu + r\alpha + \varepsilon + \omega_1)} \right) (\mu + \omega)(\mu + \alpha) + \left(\frac{r(R_0 - 1)(\mu + \alpha)(\mu + \omega)}{\beta(r\mu + r\alpha + \varepsilon + \omega_1)} \right) (\mu + \\
& \omega) \left(\frac{(\varepsilon + \mu + \omega_1)(r\mu + r\alpha + 2\varepsilon + 2\omega_1)}{r\mu + r\alpha + \varepsilon + \omega_1} \right) + \left(\frac{r(R_0 - 1)(\mu + \alpha)(\mu + \omega)}{\beta(r\mu + r\alpha + \varepsilon + \omega_1)} \right) \left(\frac{\beta\delta b}{R_0(\delta + \mu)(\mu + \omega)} \right) (\varepsilon + \omega_1) + (\mu + \\
& \omega)^2 (\mu + \alpha) + (\mu + \omega)^2 \left(\frac{(\varepsilon + \mu + \omega_1)(\varepsilon + \omega_1)}{r\mu + r\alpha + \varepsilon + \omega_1} \right) > 0
\end{aligned}$$

Kriteria *Routh-Hurwitz* menyatakan persamaan polinomial memiliki nilai eigen dengan bagian real negatif jika dan hanya jika semua elemen pada kolom pertama tabel *routh-hurwitz* positif. Karena nilai B_1, B_2 , dan $B_3 > 0$ dan $B_1 B_2 - B_3 > 0$ jika dan hanya jika $R_0 > 1$. Maka dari tabel (4.2) diperoleh semua kolom pertama bertanda positif. Sehingga, dapat dibentuk teorema (4.2) berikut :

Teorema 4.2

Titik kesetimbangan endemik penyakit polio $(E_1) = (M, S, E, I, V) =$

$$\left(\frac{b}{\delta + \mu}, \frac{\delta b}{R_0(\delta + \mu)(\mu + \omega)}, \frac{(R_0 - 1)(\mu + \alpha)(\mu + \omega)}{\beta(r\mu + r\alpha + \varepsilon + \omega_1)}, \frac{(\varepsilon + \omega_1)(R_0 - 1)(\mu + \omega)}{\beta(r\mu + r\alpha + \varepsilon + \omega_1)}, \frac{\omega\delta b}{\mu R_0(\delta + \mu)(\mu + \omega)} \right) \text{ akan}$$

stabil asimtotis jika dan hanya jika memenuhi $R_0 > 1$.

3. Simulasi Model

Simulasi model dilakukan dengan menggunakan software *maple* untuk mendapatkan gambaran geometris dari kestabilan titik kesetimbangan model

MSEIV pada penyebaran penyakit polio dengan pengaruh maternal antibody dan vaksinasi.

Simulasi akan dilakukan dengan menggunakan nilai awal pada kejadian polio di Indonesia tahun 2005. Merujuk dari data yang diperoleh dari publikasi Departemen Kesehatan Republik Indonesia yang berjudul “Profil Kesehatan Indonesia 2005, ditemukan jumlah penderita penyakit polio sebanyak 303 jiwa yang tersebar di 47 kabupaten/kota di 10 provinsi yang diasumsikan adalah balita atau anak berumur 0 – 59 bulan dan terjadi kontak polio sebesar 41 orang yang menyebabkan individu tersebut diasumsikan akan menjadi individu laten. Maka diperoleh nilai awal untuk masing-masing variabel sebagai berikut :

Nilai awal untuk subpopulasi M diperoleh dari jumlah individu yang lahir dan dilindungi imun pasif dibagi dengan total populasi balita pada tahun 2005, maka diperoleh proporsi subpopulasi M :

$$M = \frac{4866842}{24785332} = 0.19636$$

Nilai awal untuk subpopulasi S diperoleh dari jumlah balita yang rentan karena tidak menerima vaksin dibagi dengan total populasi balita pada tahun 2005, maka diperoleh proporsi subpopulasi S :

$$S = \frac{100236}{24785332} = 0.00404417$$

Nilai awal untuk subpopulasi E diperoleh dari jumlah individu laten dibagi dengan total populasi balita pada tahun 2005, maka diperoleh proporsi subpopulasi E :

$$E = \frac{41}{24785332} = 0.00000165$$

Nilai awal untuk subpopulasi I diperoleh dari jumlah balita terinfeksi polio dibagi dengan total populasi balita pada tahun 2005, maka diperoleh proporsi subpopulasi I :

$$I = \frac{303}{24785332} = 0.0000122$$

Nilai awal untuk subpopulasi V diperoleh dari jumlah balita yang divaksin dibagi dengan total populasi balita pada tahun 2005, maka diperoleh proporsi subpopulasi V :

$$V = \frac{19817910}{24785332} = 0.799582$$

Sehingga, diperoleh nilai awal untuk masing-masing variabel yang disajikan dalam tabel berikut :

Tabel 4. 3 Nilai Awal

Variabel	Proporsi Nilai Awal	Sumber
M	0.19636	Profil Kesehatan Indonesia 2005
S	0.00404417	Profil Kesehatan Indonesia 2005
E	0.00000165	Profil Kesehatan Indonesia 2005
I	0.0000122	Profil Kesehatan Indonesia 2005
V	0.799582	Profil Kesehatan Indonesia 2005

Selanjutnya yaitu penentuan nilai parameter dari model MSEIV penyakit polio sebagai berikut :

Tabel 4. 4 Nilai Parameter

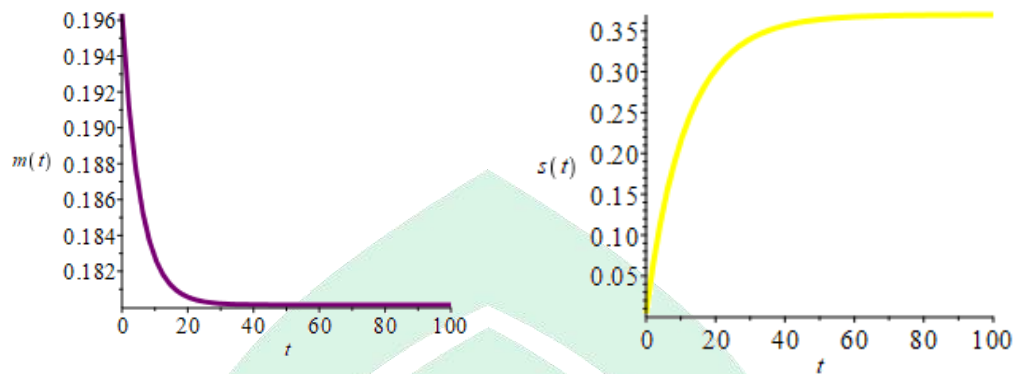
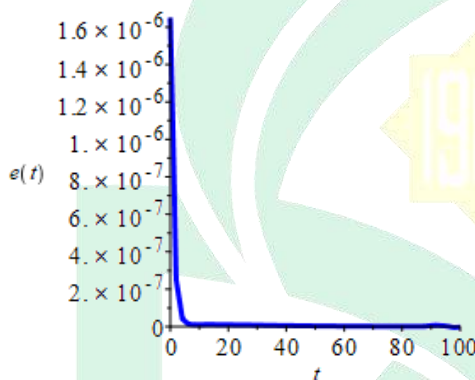
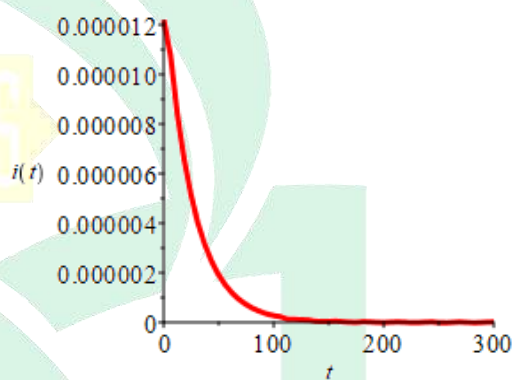
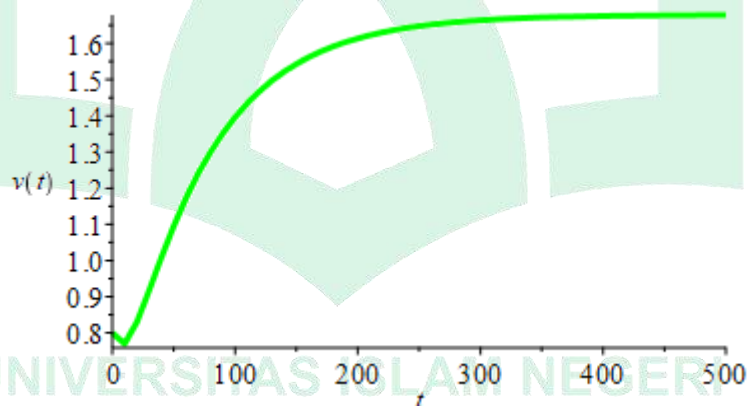
Parameter	Nilai	Sumber
b	0.0327266	Profil Kesehatan Indonesia 2005
δ	0.167	Data Asumsi
β	0.0049	Profil Kesehatan Indonesia 2005
β	0.8589	Asumsi
ω	0.0666318	Profil Kesehatan Indonesia 2005
ε	0.9	(Agarwal & Bhadauria, 2011)
r	0.5	(Agarwal & Bhadauria, 2011)
μ	0.0146842	Badan Pusat Statistik Indonesia 2005
α	0.0264026	Profil Kesehatan Indonesia 2005
ω_1	0.001	(Agarwal & Bhadauria, 2011)

a. Simulasi dengan parameter $\beta = 0.0049$

Dengan mensubstitusi nilai parameter pada tabel (4.4) diperoleh $R_0 = 0.04440743481$ maka $R_0 < 1$ yang artinya penyakit akan menghilang.

Dengan nilai $\beta = 0.0049$, didapatkan nilai titik kesetimbangan bebas penyakit $(E_0) = (M, S, E, I, V) = (0.180131 ; 0.369948 ; 0 ; 0 ; 1.678949)$. Berikut hasil

simulasi dengan *maple* :

(a) Grafik titik $M(t)$ terhadap t (b) Grafik titik $S(t)$ terhadap t (c) Grafik titik $E(t)$ terhadap t (d) Grafik titik $I(t)$ terhadap t (e) Grafik titik $V(t)$ terhadap t **Gambar 4. 2** Grafik titik $M(t)$, $S(t)$, $E(t)$, $I(t)$, dan $V(t)$ terhadap t saat $\beta = 0.0049$

Gambar 4.2(a) merupakan grafik sub populasi $M(t)$. Dalam grafik tersebut terlihat bahwa populasi yang dilindungi imun pasif yang diperoleh sejak lahir melalui plasenta dari bulan ke-0 pada titik awal 0.19636 mengalami penurunan hingga bulan ke-30 yang berada pada titik 0.180131 dan menjadi konstan atau

keadaan setimbang. Hal ini disebabkan karena individu yang keluar dari sub populasi M lebih besar dari pada jumlah individu yang lahir atau masuk dalam sub populasi M .

Gambar 4.2(b) merupakan grafik sub populasi $S(t)$ yang akan bertambah karena adanya individu yang masa imun pasifnya sudah habis menyebabkan individu menjadi rentan terhadap penyakit polio. Dalam grafik tersebut terlihat bahwa populasi rentan dari bulan ke-0 pada nilai awal 0.00404417 mengalami peningkatan hingga bulan ke-50 yang berada pada titik 0.369948, dan seterusnya mengalami konstan atau keadaan setimbang.

Gambar 4.2(c) merupakan grafik sub populasi $E(t)$ terhadap t . Dalam grafik tersebut terlihat bahwa subpopulasi *exposed* dari bulan ke-0 pada nilai awal 0.00000165 mengalami penurunan menuju kesetimbangan 0 pada bulan ke-5. Hal ini berarti jumlah subpopulasi *exposed* akan menghilang disebabkan tidak adanya penambahan penularan oleh subpopulasi *infected* ataupun *exposed* dan subpopulasi *exposed* sebelumnya menjadi terinfeksi.

Gambar 4.2(d) merupakan grafik sub populasi $I(t)$ terhadap t . Dalam grafik tersebut terlihat bahwa subpopulasi *Infected* dari bulan ke-0 pada nilai awal 0.0000122 mengalami penurunan menuju kesetimbangan 0 pada bulan ke-100. Hal ini karena jumlah subpopulasi *infected* akan menghilang karena ketika tidak ada lagi populasi *exposed* maka tidak ada yang masuk ke populasi terinfeksi dan individu yang terinfeksi polio akan meninggal karena usia ataupun karena penyakit.

Gambar 4.2(e) merupakan grafik sub populasi $V(t)$ terhadap t . Dalam grafik tersebut terlihat bahwa pada nilai awal 0.799582 mengalami peningkatan hingga bulan ke-250 yang berada pada titik 1.678949 dan kemudian mengalami konstan atau keadaan setimbang.

b. Simulasi dengan parameter $\beta = 0.8589$

Pada simulasi ini akan diperhatikan pengaruh vaksinasi yang diberikan pada populasi *susceptible* sebesar 0 hingga 100% untuk melihat bagaimana pengaruh vaksin dan menentukan proporsi minimum populasi *susceptible* yang diberikan vaksin untuk mencegah penyakit polio. Dengan mensubstitusi nilai parameter pada persamaan (4.18), maka diperoleh nilai R_0 dan titik kesetimbangan berdasarkan laju vaksin yang diberikan pada subpopulasi *susceptible*, disajikan dalam tabel :

Tabel 4. 5 Nilai R_0 dan titik kesetimbangan dengan pemberian vaksin pada subpopulasi *susceptible* sebesar 0 hingga 100%

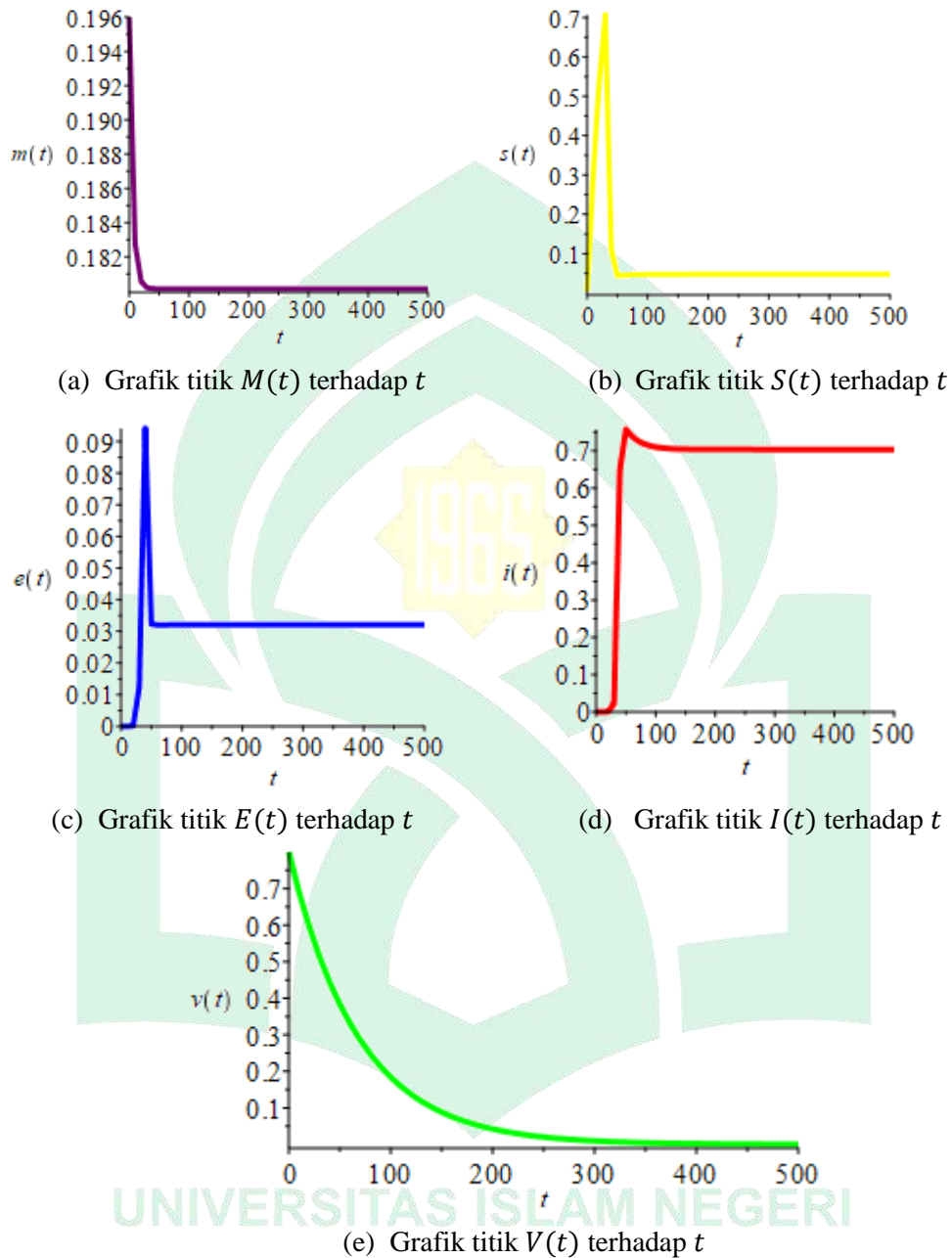
ω	R_0	Titik Kesetimbangan
0	43.10097906	(0.180129; 0.047529; 0.032089; 0.703735; 0)
0.1	5.518662524	(0.180129; 0.04752; 0.026898; 0.589902; 0.323677)
0.2	2.948066959	(0.180129; 0.04752; 0.021708; 0.476070; 0.647354)
0.3	2.011233474	(0.180129; 0.04752; 0.016517; 0.362237; 0.971032)
0.4	1.526229832	(0.180129; 0.04752; 0.011326; 0.248404; 1.294709)
0.5	1.229692687	(0.180129; 0.04752; 0.006136; 0.134572; 1.618387)
0.6	1.029639930	(0.180129; 0.04752; 0.000945; 0.020739; 1.942064)
0.7	0.885570713	(0.180129; 0.0420906; 0 ; 0 ; 2.006475)
0.8	0.776869610	(0.180129; 0.0369241; 0 ; 0 ; 2.0116415)

0.9	0.691936513	(0.180129; 0.0328873; 0 ; 0 ; 2.0156783)
1	0.623744211	(0.180129; 0.0296462; 0 ; 0 ; 2.0189195)

Berdasarkan tabel (4.5), dengan tanpa adanya vaksin diperoleh nilai $R_0 = 43.10097906$ artinya satu individu terinfeksi dapat menularkan penyakit kepada populasi rentan sebanyak 43 orang. Begitu pula dengan pemberian vaksin pada subpopulasi *susceptible* sebesar 10% hingga 60% diperoleh $R_0 > 1$ artinya penyakit polio masih ada dalam populasi dan masih terjadi penularan penyakit oleh subpopulasi *infected* terhadap individu rentan. Adapun dengan pemberian vaksin pada subpopulasi *susceptible* sebesar 70% hingga 100%, diperoleh $R_0 < 1$ artinya satu individu terinfeksi tidak mampu menularkan penyakit kepada satu individu rentan hal ini dikarenakan adanya vaksinasi menyebabkan individu rentan menjadi kebal dan individu yang terinfeksi penyakit polio akan mengalami kematian yang berarti penyakit akan menghilang dari populasi. Dari tabel terlihat juga bahwa nilai ω minimum untuk mencegah penyebaran penyakit polio yaitu sebesar 0.7 dimana diperoleh R_0 sebesar 0.885570713 yang artinya minimal harus ada 70% vaksin yang diberikan pada populasi *susceptible* untuk menghilangkan penyakit dari populasi.

Selanjutnya, akan ditampilkan perbandingan grafik model MSEIV tanpa vaksinasi dan grafik model MSEIV dengan pemberian minimum 70% vaksin pada populasi *susceptible* :

- 1) Simulasi model MSEIV tanpa vaksinasi pada sub populasi *susceptible*



Gambar 4. 3 Grafik titik $M(t)$, $S(t)$, $E(t)$, $I(t)$, dan $V(t)$ terhadap t saat $\beta = 0.8589$ dan tanpa vaksinasi

Gambar 4.3(a) merupakan grafik sub populasi $M(t)$ saat laju kontak diperbesar 0.8589 dan tidak adanya vaksinasi. Dalam grafik tersebut terlihat bahwa populasi yang dilindungi imun pasif dari bulan ke-0 mengalami penurunan hingga bulan ke-30 yang berada pada titik 0.18012903 dan

kemudian menjadi konstan atau keadaan setimbang. Hal ini disebabkan karena individu yang keluar dari sub populasi M lebih besar dari pada jumlah individu yang lahir atau masuk dalam sub populasi M .

Gambar 4.3(b) merupakan grafik sub populasi $S(t)$ terhadap t disaat laju kontak diperbesar 0.8589 dan tanpa pemberian vaksinasi pada subpopulasi *susceptible*. Dalam grafik tersebut terlihat bahwa populasi rentan dari bulan ke-0 pada nilai awal 0.00404417 mengalami peningkatan hingga bulan ke-30 yang berada pada titik 0.705624. Peningkatan terjadi karena adanya individu yang menjadi rentan karena masa imun pasif yang berakhir, kemudian menurun menuju keadaan setimbang pada bulan ke-50 di titik 0.04752944.

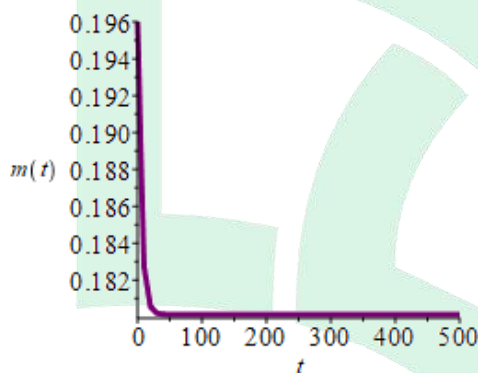
Gambar 4.3(c) merupakan grafik sub populasi $E(t)$ terhadap t disaat laju kontak diperbesar 0.8589 dan tanpa pemberian vaksinasi. Dalam grafik tersebut terlihat bahwa subpopulasi *exposed* dari bulan ke-0 pada nilai awal 0.00000165 mengalami peningkatan hingga bulan ke-40 pada titik 0.093595 hal ini terjadi karena terjadi kontak antara individu rentan dengan individu terinfeksi. Kemudian turun menuju kesetimbangan 0.03208924 pada bulan ke-50.

Gambar 4.3(d) merupakan grafik sub populasi $I(t)$ terhadap t disaat laju kontak diperbesar 0.8589 dan tanpa pemberian vaksinasi. Dalam grafik tersebut terlihat bahwa subpopulasi *Infected* dari bulan ke-0 pada nilai awal 0.0000122 mengalami peningkatan hingga bulan ke-50 yang berada pada titik 0.752023 yang terjadi karena individu *exposed* menjadi individu

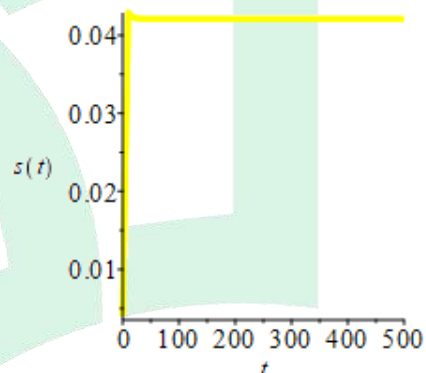
terinfeksi. Kemudian mengalami penurunan menuju kesetimbangan 0.7037355 di bulan ke-100.

Gambar 4.3(e) merupakan grafik sub populasi $V(t)$ terhadap t disaat laju kontak diperbesar 0.8589 dan tanpa pemberian vaksinasi. Dalam grafik tersebut terlihat bahwa pada nilai awal 0.799582 mengalami penurunan hingga bulan ke-350 menuju kesetimbangan 0 karena tidak ada vaksin yang diberikan pada subpopulasi *susceptible* sehingga subpopulasi *vaccinated* akan terus berkurang karena kematian.

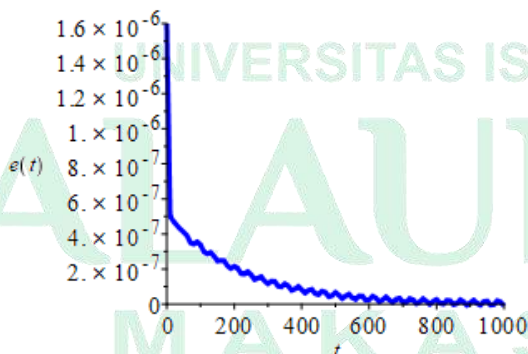
- 2) Simulasi model MSEIV dengan pemberian minimum vaksinasi sebesar 70% pada populasi *susceptible*



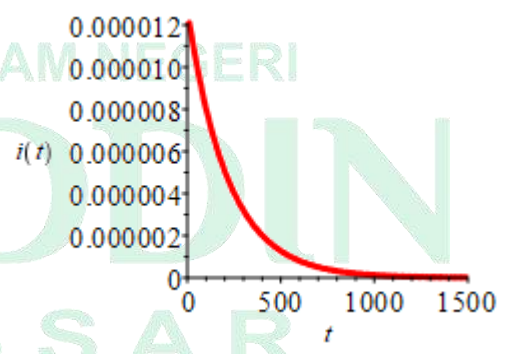
(a) Grafik titik $M(t)$ terhadap t



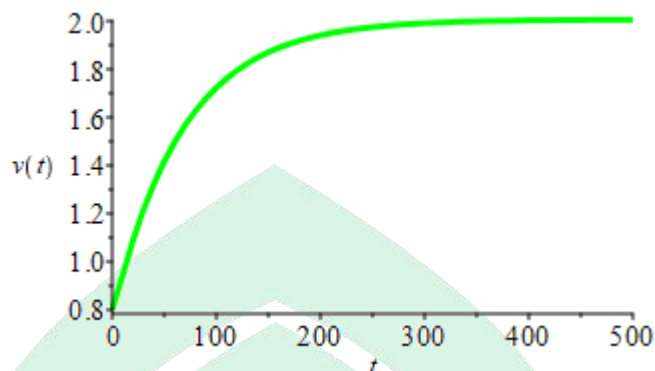
(b) Grafik titik $S(t)$ terhadap t



(c) Grafik titik $E(t)$ terhadap t



(d) Grafik titik $I(t)$ terhadap t

(e) Grafik titik $V(t)$ terhadap t

Gambar 4. 4 Grafik titik $M(t)$, $S(t)$, $E(t)$, $I(t)$, dan $V(t)$ terhadap t saat $\beta = 0.8589$ dengan minimum vaksinasi 70%

Gambar 4.4(a) merupakan grafik sub populasi $M(t)$ saat laju kontak diperbesar 0.8589 dengan vaksinasi 70%. Dalam grafik tersebut terlihat bahwa populasi yang dilindungi imun pasif dari bulan ke-0 mengalami penurunan hingga bulan ke-30 yang berada pada titik 0.1801290371 dan kemudian menjadi konstan atau keadaan setimbang.

Gambar 4.4(b) merupakan grafik sub populasi $S(t)$ saat laju kontak diperbesar 0.8589 dengan vaksinasi 70%. Pada grafik tersebut terlihat bahwa populasi rentan dari bulan ke-0 pada nilai awal 0.00404417 mengalami peningkatan menuju keadaan setimbang pada bulan ke-10 yang berada pada titik 0.04209068.

Gambar 4.4(c) merupakan grafik sub populasi $E(t)$ terhadap t saat laju kontak diperbesar 0.8589 dengan vaksinasi 70%. Dalam grafik tersebut terlihat bahwa subpopulasi *exposed* dari bulan ke-0 pada nilai awal 0.00000165 mengalami penurunan menuju kesetimbangan 0 pada bulan ke-600. Hal ini berarti jumlah subpopulasi *exposed* akan menghilang karena

tidak ada penambahan penularan oleh subpopulasi *infected* ataupun *exposed* dan subpopulasi *exposed* sebelumnya menjadi terinfeksi.

Gambar 4.4(d) merupakan grafik sub populasi $I(t)$ terhadap t saat laju kontak diperbesar 0.8589 dengan vaksinasi 70%. Dalam grafik tersebut terlihat bahwa subpopulasi *Infected* dari bulan ke-0 pada nilai awal 0.0000122 mengalami penurunan menuju kesetimbangan 0 pada bulan ke-800. Hal ini terjadi karena tidak ada penambahan penularan disebabkan individu rentan 70% telah mendapat vaksin sehingga menjadi kebal dan individu yang terinfeksi akan habis karena mengalami kematian.

Gambar 4.4(e) merupakan grafik sub populasi $V(t)$ terhadap t disaat laju kontak diperbesar 0.8589 dan dengan vaksinasi 70%. Dalam grafik tersebut terlihat bahwa pada nilai awal 0.799582 mengalami peningkatan hingga bulan ke-250 menuju kesetimbangan pada titik 2.0064750.

B. Pembahasan

Penelitian yang membahas mengenai model matematika penyebaran penyakit polio telah dilakukan sebelumnya oleh Manju Agarwal dan Bhadauria (2011) yang berjudul “*Modelling Spread of Polio with the Role of Vaccination*” yang membahas tentang model penyebaran penyakit Polio dengan menggunakan model epidemik SEIV (*Susceptible – Exposed – Infective – vaccinated*) dengan hasil stabil asimtotik lokal pada kedua titik ekulibrium dan meskipun vaksinasi membantu dalam pemberantasan polio dengan menurunkan tingkat kesetimbangan endemik namun jika vaksin diberikan pada populasi *exposed*, maka kesetimbangan

endemik meningkat dan penyakit tetap ada dalam populasi (Agarwal & Bhadauria, 2011).

Kemudian penelitian lainnya oleh Rr Laila Marifatun dengan judul “Model Penyebaran Penyakit Polio dengan Pengaruh Vaksinasi” diperoleh hasil stabil asimtotik pada titik kesetimbangan bebas penyakit jika $R < 1$, sedangkan titik kesetimbangan endemic terjadi bifurkasi untuk beberapa parameter. Selain itu, menurut penelitian Marifatun vaksinasi hanya bertujuan untuk mencegah polio, bukan untuk mengobati polio (Marifatun, 2013).

Penelitian lainnya oleh Yanuar Chaerul Umam (2014) berjudul “Model Epidem SEIV Penyebaran Penyakit Polio pada Populasi Tak Konstan”. Penelitian ini menjelaskan model SEIV pada penyebaran penyakit polio dengan menambahkan asumsi populasi tidak konstan yang menunjukkan bahwa penyakit polio akan tetap ada namun dengan jumlah yang tidak lebih besar dari populasi yang tervaksinasi (Umam, 2016).

Dalam penelitian ini berfokus pada pembentukan model MSEIV pada penyebaran penyakit polio. model tersebut terdiri dari lima persamaan diferensial yang masing-masing merepresentasikan laju penurunan dan peningkatan di setiap kelompok individu, *maternal antibody*, *susceptible*, *exposed*, *infected*, dan *vaccinated*. Selanjutnya dilakukan analisis terhadap model tersebut untuk mengetahui bagaimana penyebaran penyakit polio pada suatu populasi dengan menentukan bilangan reproduksi dasar R_0 dengan metode *Next Generation Matriks*.

Analisis model dilakukan dengan menentukan terlebih dahulu titik kesetimbangan bebas penyakit dan titik kesetimbangan endemic penyakit, lalu di

uji kestabilannya dan diperoleh bahwa titik kesetimbangan bebas penyakit polio

$$(E_0) = (M, S, E, I, V) = \left(\frac{b}{\delta+\mu}, \frac{\delta b}{(\delta+\mu)(\mu+\omega)}, 0, 0, \frac{\omega \delta b}{(\delta+\mu)(\mu+\omega)\mu} \right)$$

akan stabil asimtotis jika dan hanya jika memenuhi nilai $R_0 < 1$, dan Titik kesetimbangan endemik

$$\text{penyakit polio } (E_1) = (M, S, E, I, V) = \left(\frac{b}{\delta+\mu}, \frac{\delta b}{R_0(\delta+\mu)(\mu+\omega)}, \frac{(R_0-1)(\mu+\omega)}{\beta(r\mu+r\alpha+\varepsilon+\omega_1)}, \right.$$

$$\left. \frac{(\varepsilon+\omega_1)(R_0-1)(\mu+\omega)}{\beta(r\mu+r\alpha+\varepsilon+\omega_1)}, \frac{\omega \delta b}{\mu R_0(\delta+\mu)(\mu+\omega)} \right)$$

Data yang digunakan untuk simulasi yaitu data sekunder yang diperoleh dari publikasi Departemen Kesehatan Republik Indonesia yang berjudul “Profil Kesehatan Indonesia 2005, ditemukan jumlah penderita penyakit polio sebanyak 303 jiwa yang tersebar di 47 kabupaten/kota di 10 provinsi yang diasumsikan adalah balita atau anak berumur 0 – 59 bulan. Simulasi dilakukan dengan menggunakan dua nilai parameter β yaitu 0.0049 dan 0.8589 serta simulasi dengan pemberian laju vaksin yang berbeda.

Simulasi pertama dilakukan dengan menggunakan parameter $\beta = 0.0049$ diperoleh nilai $R_0 = 0.04080214281$ yang artinya penyakit akan menghilang dalam populasi. Dari grafik menunjukkan sub populasi $M(t)$ menurun karena laju aliran keluar lebih besar dari pada aliran masuk. Sedangkan sub populasi $S(t)$ mengalami peningkatan karena adanya individu yang masa imun pasifnya berakhir menyebabkan individu tersebut menjadi rentan, sedangkan sub populasi $E(t)$ mengalami penurunan menuju kesetimbangan 0 Hal ini berarti jumlah subpopulasi *exposed* akan menghilang disebabkan tidak adanya penambahan penularan oleh subpopulasi *infected* ataupun *exposed* dan subpopulasi *exposed* sebelumnya menjadi terinfeksi. Pada sub populasi $I(t)$ pun menuju kesetimbangan 0 pada bulan

ke-30, artinya jumlah subpopulasi *infected* akan menghilang karena ketika tidak ada lagi populasi *exposed* maka tidak ada yang masuk ke populasi terinfeksi dan individu yang terinfeksi polio akan meninggal karena usia ataupun karena penyakit. Untuk sub populasi $V(t)$ terjadi peningkatan karena adanya subpopulasi *susceptible* yang melakukan vaksin, artinya suatu saat penyakit polio akan menghilang dalam populasi karena semua individu tervaksinasi.

Simulasi berikutnya dilakukan dengan menggunakan parameter $\beta = 0.8589$, dan akan ditentukan proporsi minimum populasi *susceptible* yang diberikan vaksin untuk mencegah penyakit polio. Simulasi dengan 0% (tanpa vaksinasi) diperoleh $R_0 = 43.10097906$, simulasi dengan 10% vaksinasi diperoleh $R_0 = 5.51866252$, dengan 20% vaksinasi $R_0 = 2.9480669$, dengan 30% vaksinasi diperoleh $R_0 = 2.0112334$, dengan 40% vaksinasi diperoleh $R_0 = 1.5262298$, dengan 50% vaksinasi diperoleh $R_0 = 1.229692$, dan dengan vaksinasi sebesar 60% diperoleh $R_0 = 1.0296399$. Terlihat bahwa diperoleh masing-masing atau $R_0 > 1$ artinya penyakit polio masih ada dalam populasi dan masih terjadi penularan penyakit oleh subpopulasi *infected* terhadap individu rentan. Adapun dengan pemberian vaksin pada subpopulasi *susceptible* sebesar 70%, diperoleh nilai $R_0 = 0.88557071$, untuk vaksinasi 80% diperoleh $R_0 = 0.7768696$, 90% vaksinasi diperoleh $R_0 = 0.69193651$, dan dengan 100% vaksinasi diperoleh $R_0 = 0.6237442$, masing-masing $R_0 < 1$ artinya satu individu terinfeksi tidak mampu menularkan penyakit kepada satu individu rentan hal ini dikarenakan adanya vaksinasi menyebabkan individu rentan menjadi kebal dan individu yang terinfeksi penyakit polio akan mengalami kematian yang berarti

penyakit akan menghilang dari populasi. Jadi, vaksinasi berperan penting untuk mencegah polio agar tidak menjadi endemik dengan minimum pemberian vaksin kepada subpopulasi *susceptible* sebesar 70%.

Berdasarkan dari hasil simulasi tersebut diperoleh juga bahwa semakin kecil laju kontak β maka sub populasi *infected* mengalami penurunan yang menyebabkan populasi *exposed* juga semakin menurun dan sub populasi *vaccinated* semakin meningkat karena banyaknya subpopulasi *susceptible* yang melakukan vaksin sehingga suatu saat penyakit menghilang dalam populasi. Sebaliknya, semakin besar laju kontak β maka penyakit dalam suatu populasi akan semakin lama menghilang sehingga terjadi endemik.

Adapun untuk maternal antibody yang diperoleh dari ibu sejak lahir hanya bersifat sementara atau tidak berpengaruh dalam jangka panjang untuk melindungi individu dari penyakit polio. Hal ini disebabkan karena maternal antibody bertahan selama 6 bulan dan kemudian akan menjadi rentan setelah masa efektifitasnya berakhir. Oleh karena itu diperlukan upaya pemberian vaksinasi OPV dan IPV agar individu tidak menjadi rentan terhadap penyakit polio.

BAB V

PENUTUP

A. Kesimpulan

Berdasarkan dari uraian rumusan masalah, maka ditarik kesimpulan pada penelitian ini yaitu sebagai berikut:

1. Model Matematika pada penyebaran penyakit polio dengan pengaruh vaksinasi dan maternal antibody yaitu :

$$\frac{dM}{dt} = b - \delta M - \mu M$$

$$\frac{dS}{dt} = \delta M - \beta SI - r\beta SE - (\mu + \omega)S$$

$$\frac{dE}{dt} = \beta SI + r\beta SE - (\varepsilon + \mu + \omega_1)E$$

$$\frac{dI}{dt} = (\varepsilon + \omega_1)E - (\mu + \alpha)I$$

$$\frac{dV}{dt} = \omega S - \mu V$$

2. Kestabilan titik kesetimbangan model matematika pada penyebaran penyakit polio dengan pengaruh vaksinasi dan maternal antibody yaitu :

- a) Titik kesetimbangan bebas penyakit polio $(E_0) = (M, S, E, I, V) =$

$$\left(\frac{b}{\delta + \mu}, \frac{\delta b}{(\delta + \mu)(\mu + \omega)}, 0, 0, \frac{\omega \delta b}{(\delta + \mu)(\mu + \omega)\mu} \right) \text{ akan stabil asimtotis jika dan hanya}$$

jika memenuhi nilai $R_0 < 1$.

- b) Titik kesetimbangan endemik penyakit polio

$$(E_1) = (M, S, E, I, V) =$$

$$\left(\begin{array}{c} \frac{b}{\delta + \mu}, \frac{(\varepsilon + \mu + \omega_1)(\mu + \alpha)}{\beta(r\mu + r\alpha + \varepsilon + \omega_1)}, \\ \frac{\delta b \beta(r\mu + r\alpha + \varepsilon + \omega_1) - (\delta + \mu)(\mu + \omega)(\varepsilon + \mu + \omega_1)(\mu + \alpha)}{(\delta + \mu)\beta(r\mu + r\alpha + \varepsilon + \omega_1)(\varepsilon + \mu + \omega_1)}, \\ \frac{(\varepsilon + \omega_1)\delta b \beta(r\mu + r\alpha + \varepsilon + \omega_1) - (\delta + \mu)(\mu + \omega)(\varepsilon + \mu + \omega_1)(\mu + \alpha)}{(\mu + \alpha)(\delta + \mu)\beta(r\mu + r\alpha + \varepsilon + \omega_1)(\varepsilon + \mu + \omega_1)}, \\ \frac{\omega(\varepsilon + \mu + \omega_1)(\mu + \alpha)}{\mu\beta(r\mu + r\alpha + \varepsilon + \omega_1)} \end{array} \right)$$

Atau yang dinyatakan dengan R_0 yaitu : $\left(\frac{b}{\delta + \mu}, \frac{\delta b}{R_0(\delta + \mu)(\mu + \omega)}, \right.$

$\left. \frac{(R_0 - 1)(\mu + \alpha)(\mu + \omega)}{\beta(r\mu + r\alpha + \varepsilon + \omega_1)}, \frac{(\varepsilon + \omega_1)(R_0 - 1)(\mu + \omega)}{\beta(r\mu + r\alpha + \varepsilon + \omega_1)}, \frac{\omega \delta b}{\mu R_0(\delta + \mu)(\mu + \omega)} \right)$ akan stabil asimtotis

jika dan hanya jika $R_0 > 1$.

3. Simulasi dengan menggunakan parameter $\beta = 0.0049$ diperoleh nilai $R_0 = 0.04080214281$ atau $R_0 < 1$ yang artinya penyakit polio akan menghilang dari populasi. Adapun simulasi dengan menggunakan parameter $\beta = 0.8589$ dan dengan pengaruh vaksin diperoleh proporsi minimum pemberian vaksin pada sub populasi *susceptible* sebesar 70% agar $R_0 > 1$ yang artinya penyakit polio akan tetap menghilang dalam populasi.

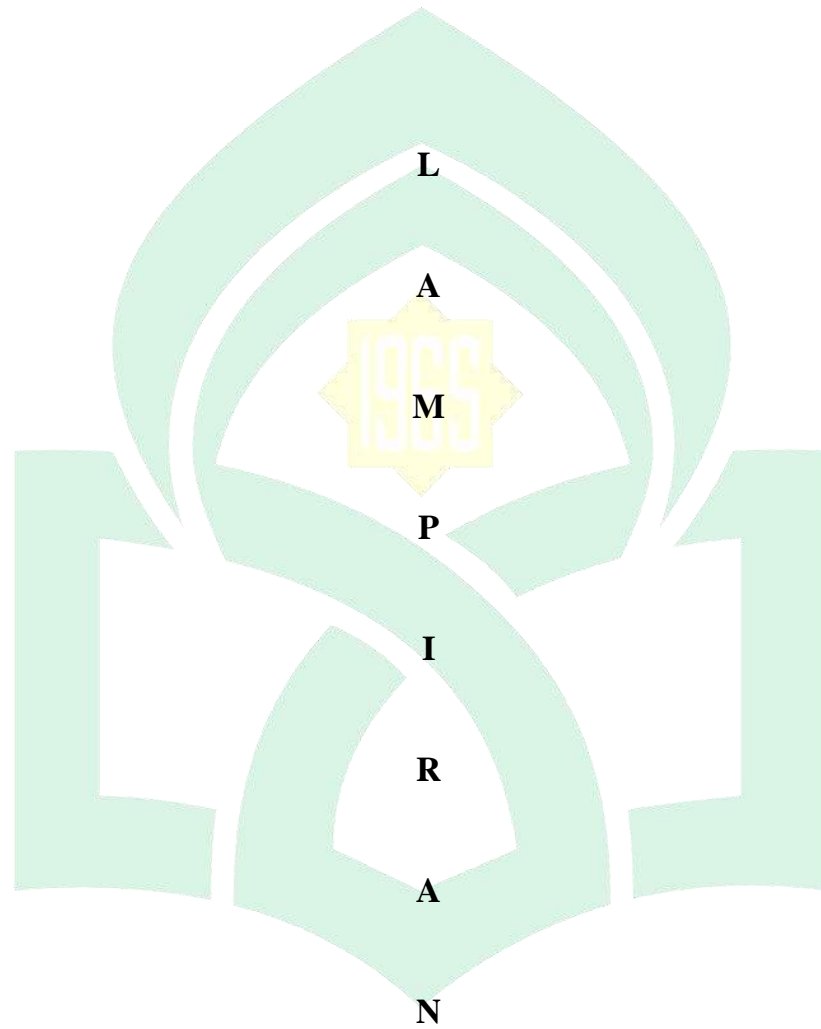
B. Saran

Dalam penelitian ini berfokus pada pembentukan model MSEIV. Simulasi pada penelitian ini menggunakan nilai awal dan parameter berdasarkan kejadian polio di Indonesia tahun 2005. Berdasarkan hal tersebut, saran untuk penelitian berikutnya dapat mengaplikasikan model ini pada kejadian polio di negara yang masih terjadi endemik penyakit polio, misalnya di Nigeria. Selain itu, model MSEIV juga dapat dikembangkan dengan memperhatikan faktor imigrasi dan faktor imun pasif yang diperoleh dari ASI.

DAFTAR PUSTAKA

- Agarwal, M., & Bhadauria, A. S. (2011, December). Modeling Spread of Polio with the Role of Vaccination. *Application and Applied Mathematics : An international journal (AAM)*, 6(2), 552-571.
- Ansar, A. (2018). *Pemodelan Matematika SIRS dengan Vaksinasi pada Penyebaran Penyakit*. Universitas Negeri Makassar: Makassar.
- Ashok, S. (2022, March 29). *What Is Passive Immunity & How Do You Acquire It?* Retrieved from [www.skinkraft.com: https://skinkraft.com/blogs/articles/passive-immunity](https://skinkraft.com/blogs/articles/passive-immunity)
- As-Sa'diy, A. B. (2016). *Tafsir Al-Qur'an SYaikh Abdurrahman As-Sa'diy*. Jakarta: Darul Haq.
- Bitahamsisyah, L. A. (2016). *Analisis Kestabilan dan Kontrol optimal Penyebaran polio dengan vaksinasi*. Surabaya: Universitas Airlangga.
- Bolarin, G. (2010). A Deterministic Mathematical Model of Measles In Newborn(S) Using the MSEIR Endemic Model. *Journal Of Mathematics and Application*, 20, 75-81.
- Bona, C. (2008). *Neonatal Immunity*. United States: Humana Pres.
- Brauer, F., & Chavez, C. C. (2012). *Mathematical Models in Population Biology and Epidemiology, The American Mathematical Monthly*. New York: Springer.
- Campbell, S. L., & Haberman, R. (2008). *Introduction to Differential Equations with Dynamical Systems*. Princenton: Princenton University Press.
- Driessche, P. V., & Watmough, J. (2002). Reproduction Numbers and Sub-Threshold Endemic Equilibria for Compartmental Models of Disease Transmission. *Mathematical Biosciences*, 29-48.
- Frida, N. (2010). *Lebih Tahu tentang Penyakit Polio*. Semarang: Alprin.
- Indonesia, D. K. (2007). *Profil Kesehatan Indonesia 2005*. Jakarta: Departemen Kesehatan Republik Indonesia.
- Indonesia, K. A. (2016). *Al Qur'an dan Terjemahnya*. Solo: Tiga Serangkai.
- Kartono. (2012). *Persamaan Diferensial Biasa*. Yogyakarta: Graha Ilmu.
- Li, M. Y. (2018). *An Introduction to Mathematical Modeling of Infectious Diseases*. Canada: Springer.

- Marifatun, R. L. (2013, April). Model Penyebaran Penyakit Polio dengan Pengaruh Vaksinasi. *Fourier*, 2(1), 11-18.
- Miller, N. Z. (2004). Metode numerik dengan Scilab. *The Polio Vaccine : a Critical Assesment of its Arcane History, Efficacy, and long-term health-related Consequences*, 239.
- Olsder, G. J. (1998). *Mathematical System Theory*. Belanda: Delft Universiti Press.
- Perko, L. (2001). *Differential Equation and Dynamical Systems (3rd Edition)*. Newyork: Springer.
- Pratiwi, R., Pane, R., & Sirait, A. (2021). Menentukan Perpangkatan Matriks Tanpa Menggunakan Eigenvalue. *Jurnal Online Mahasiswa FMIPA Universitas Riau*, 1(2), 1-8.
- Singh, R., Monga, A. K., & Bais, S. (2013). Polio : A Review. *International Journal of Pharmaceutical Sciences and Research*, 4(5), 1714.
- Suherman. (1993). *Strategi Belajar Mengajar Matematika*. Jakarta: Universitas Terbuka Depdikbud.
- Sutimin, & Widowati. (2007). *Buku Ajar Pemodelan Matematika*. Semarang: Matematika FMIPA Undip.
- Umam, Y. C. (2016). Model Epidem SEIV Penyebaran Penyakit Polio pada Populasi Tak Konstan. *UNNES Journal of mathematics*, 5(2), 101-107.
- Wahab, W., & Subiantoro, A. (2013). *Fundamental of Control System Stability Criterion Routh-Hurwitz*.
- Waluya, S. B. (2006). *Persamaan Diferensial*. Yogyakarta: Graha Ilmu.



UNIVERSITAS ISLAM NEGERI
ALAUDDIN
MAKASSAR



**TIM VALIDASI PROGRAM STUDI
MATEMATIKA
Fakultas Sains dan Teknologi
Universitas Islam Negeri Alauddin Makassar**

Kampus II : Jalan Sultan Alauddin No. 36, Romang Polong, Gowa. Telp:(0411) 8221400

**SURAT KETERANGAN
VALIDASI PENILAIAN KELAYAKAN DAN SUSBTANSI PROGRAM**

No : / val / m / 358_2023

Yang bertanda tangan di bawah ini Tim Validasi penilaian kelayakan dan substansi program mahasiswa Jurusan Matematika, Fakultas Sains dan Teknologi, Universitas Islam Negeri Alauddin Makassar menerangkan bahwa karya ilmiah Mahasiswa/ Instansi terkait :

Nama : Sri Wahyuni
Nim : 60600119044
Judul Karya ilmiah : **“Analisis Model Matematika pada Penyebaran Penyakit Polio dengan Pengaruh Vaksinasi dan Maternal Antibody“**

Berdasarkan hasil penelitian kelayakan dan substansi program mahasiswa bersangkutan dengan ini dinyatakan **Valid**.

Demikian surat keterangan ini dibuat untuk digunakan sebagaimana mestinya.

Gowa, 07 Agustus 2023

Kepala TIM Validasi
Program Studi Matematika



Adnan Sauddin, S. Pd., M. S

A. Data

Tabel 1. Populasi Penderita Penyakit Polio Tahun 2005

Provinsi	Bayi Lahir (M)	Vaksin (V)	Exposed (E)	Infected (I)	Meninggal (α)
Nangro Aceh Darussalam	109.128	421.410	-	5	-
Sumatera Utara	320.587	1.253.414	-	10	-
Sumatera Barat	96.520	412.710	-	-	-
Riau	147.831	523.730	-	3	-
Jambi	64.964	248.942	-	-	-
Sumatera Selatan	166.566	726.392	-	5	-
Bengkulu	39.545	134.681	-	-	-
Lampung	171.587	679.315	-	26	-
Kepulauan Bangka Belitung	24.207	95.841	-	-	-
Kepulauan Riau	53.270	113.794	-	-	-
DKI Jakarta	191.306	724.493	1	4	-
Jawa Barat	880.482	4.033.243	35	59	-
Jawa Tengah	605.672	2.464.793	5	20	-
DI Yogyakarta	50.307	204.912	-	-	-
Jawa timur	638.265	2.674.682	-	10	-
Banten	236.590	955.718	-	161	8
Bali	62.290	263.397	-	-	-
Nusa Tenggara Barat	106.771	419.056	-	-	-
Nusa Tenggara Timur	123.358	449.867	-	-	-



TIM VALIDASI PROGRAM STUDI
MATEMATIKA
Fakultas Sains dan Teknologi
Universitas Islam Negeri Alauddin Makassar

Kampus II : Jalan Sultan Alauddin No. 36, Romang Polong, Gowa. Telp:(0411) 8221400

Kalimantan Barat	97.648	369.798	-	-	-
Kalimantan Tengah	47.798	193.241	-	-	-
Kalimantan Selatan	72.844	287.639	-	-	-
Kalimantan Timur	70.058	270.949	-	-	-
Sulawesi Utara	44.912	190.200	-	-	-
Sulawesi Tengah	56.131	252.034	-	-	-
Sulawesi Selatan	171.624	715.322	-	-	-
Sulawesi Tenggara	53.270	210.755	-	-	-
Gorontalo	22.282	86.635	-	-	-
Sulawesi barat	22.216	107.823	-	-	-
Maluku	42.343	44.266	-	-	-
Maluku Utara	20.954	63.995	-	-	-
Papua	55.526	187.078	-	-	-
Irian Jaya Barat	-	37.785	-	-	-
Total	4.866.842	19.817.910	41	303	8

B. Program dan Output

1. Menentukan titik kesetimbangan bebas penyakit dan endemik

```

> restart : with(LinearAlgebra) : with(plots) :
> dm := b - δ m - μ m
dm := -δ m - μ m + b
(1)
> ds := δ m - β s i - r β s e - (μ + ω) s
ds := -r β s e - β s i + δ m - (μ + ω) s
(2)
> de := β s i + r β s e - (ε + μ + ω) e
de := r β s e + β s i - (ε + μ + ω) e
(3)
> di := (ε + ω) e - (μ + α) i
di := (ε + ω) e - (μ + α) i
(4)
> dv := ω s - μ v
dv := -μ v + ω s
(5)
> solve({dm=0, ds=0, de=0, di=0, dv=0}, [m, s, e, i, v])
(6)

```

$$\left[\left[m = \frac{b}{\delta + \mu}, s = \frac{\delta b}{\delta \mu + \delta \omega + \mu^2 + \mu \omega}, e = 0, i = 0, v = \frac{\omega \delta b}{(\delta \mu + \delta \omega + \mu^2 + \mu \omega) \mu} \right], \left[m = \frac{b}{\delta + \mu}, s = \frac{\alpha \mu + \alpha \omega l + \alpha \varepsilon + \mu^2 + \mu \omega l + \mu \varepsilon}{\beta (\alpha r + \mu r + \omega l + \varepsilon)}, e = \frac{(\alpha \beta \delta r + b \beta \delta \mu r - \alpha \delta \mu^2 - \alpha \delta \mu \omega - \alpha \delta \mu \omega l - \alpha \delta \mu \varepsilon - \alpha \delta \omega \omega l - \alpha \delta \omega \varepsilon - \alpha \mu^3 - \alpha \mu^2 \omega - \alpha \mu^2 \omega l - \alpha \mu^2 \varepsilon - \alpha \mu \omega \omega l - \alpha \mu \omega \varepsilon + b \beta \delta \omega l + b \beta \delta \varepsilon - \delta \mu^3 - \delta \mu^2 \omega - \delta \mu^2 \omega l - \delta \mu^2 \varepsilon - \delta \mu \omega \omega l - \delta \mu \omega \varepsilon - \mu^4 - \mu^3 \omega - \mu^3 \omega l - \mu^3 \varepsilon - \mu^2 \omega \omega l - \mu^2 \omega \varepsilon)}{((\alpha \delta \mu r + \alpha \delta \omega l r + \alpha \delta r e + \alpha \mu^2 r + \alpha \mu \omega l r + \alpha \mu r e + \delta \mu^2 r + \delta \mu \omega l r + \delta \mu r e + \mu^3 r + \mu^2 \omega l r + \mu^2 r e + \delta \mu \omega l + \delta \mu \varepsilon + \delta \omega l^2 + 2 \delta \omega l e + \delta \varepsilon^2 + \mu^2 \omega l + \mu^2 \varepsilon + \mu \omega l^2 + 2 \mu \omega l e + \mu \varepsilon^2) \beta)}, i = ((\varepsilon + \omega l) (\alpha \beta \delta r + b \beta \delta \mu r - \alpha \delta \mu^2 - \alpha \delta \mu \omega - \alpha \delta \mu \omega l - \alpha \delta \mu \varepsilon - \alpha \delta \omega \omega l - \alpha \delta \omega \varepsilon - \alpha \mu^3 - \alpha \mu^2 \omega - \alpha \mu^2 \omega l - \alpha \mu^2 \varepsilon - \alpha \mu \omega \omega l - \alpha \mu \omega \varepsilon + b \beta \delta \omega l + b \beta \delta \varepsilon - \delta \mu^3 - \delta \mu^2 \omega - \delta \mu^2 \omega l - \delta \mu^2 \varepsilon - \delta \mu \omega \omega l - \delta \mu \omega \varepsilon - \mu^4 - \mu^3 \omega - \mu^3 \omega l - \mu^3 \varepsilon - \mu^2 \omega \omega l - \mu^2 \omega \varepsilon)}{((\alpha \delta \mu r + \alpha \delta \omega l r + \alpha \delta r e + \alpha \mu^2 r + \alpha \mu \omega l r + \alpha \mu r e + \delta \mu^2 r + \delta \mu \omega l r + \delta \mu r e + \mu^3 r + \mu^2 \omega l r + \mu^2 r e + \delta \mu \omega l + \delta \mu \varepsilon + \delta \omega l^2 + 2 \delta \omega l e + \delta \varepsilon^2 + \mu^2 \omega l + \mu^2 \varepsilon + \mu \omega l^2 + 2 \mu \omega l e + \mu \varepsilon^2) \beta) (\mu + \alpha)}, v = \frac{\omega (\alpha \mu + \alpha \omega l + \alpha \varepsilon + \mu^2 + \mu \omega l + \mu \varepsilon)}{\beta (\alpha r + \mu r + \omega l + \varepsilon)} \right] \right]$$

2. Analisis kestabilan titik kesetimbangan bebas penyakit

*#mencari kestabilan bebas penyakit
restart : with(Infalg) : with(DEtools) : with(VectorCalculus) : with(LinearAlgebra) :*

$$K := \begin{bmatrix} -\delta - \mu & 0 & 0 & 0 & 0 \\ \delta & -\beta(0)r - \beta(0) - \mu - \omega & -r\beta \left(\frac{\delta\delta}{\delta\mu + \delta\omega + \mu^2 + \mu\omega} \right) & -\beta \left(\frac{\delta\delta}{\delta\mu + \delta\omega + \mu^2 + \mu\omega} \right) & 0 \\ 0 & \beta(0)r + \beta(0) & \beta r \left(\frac{\delta\delta}{\delta\mu + \delta\omega + \mu^2 + \mu\omega} \right) - \mu - \omega I - \epsilon & \beta \left(\frac{\delta\delta}{\delta\mu + \delta\omega + \mu^2 + \mu\omega} \right) & 0 \\ 0 & 0 & \epsilon + \omega I & -\mu - \alpha & 0 \\ 0 & \omega & 0 & 0 & -\mu \end{bmatrix}$$

$$K := \begin{bmatrix} -\delta - \mu & 0 & 0 & 0 & 0 \\ \delta & -\mu - \omega & \frac{r\beta\delta\delta}{\delta\mu + \delta\omega + \mu^2 + \mu\omega} & \frac{\beta\delta\delta}{\delta\mu + \delta\omega + \mu^2 + \mu\omega} & 0 \\ 0 & 0 & \frac{r\beta\delta\delta}{\delta\mu + \delta\omega + \mu^2 + \mu\omega} - \mu - \omega I - \epsilon & \frac{\beta\delta\delta}{\delta\mu + \delta\omega + \mu^2 + \mu\omega} & 0 \\ 0 & 0 & \epsilon + \omega I & -\mu - \alpha & 0 \\ 0 & \omega & 0 & 0 & -\mu \end{bmatrix}$$

$$Z := \begin{bmatrix} \lambda + \delta + \mu & 0 & 0 & 0 & 0 \\ -\delta & \lambda + \mu + \omega & \frac{r\beta\delta\delta}{\delta\mu + \delta\omega + \mu^2 + \mu\omega} & \frac{\beta\delta\delta}{\delta\mu + \delta\omega + \mu^2 + \mu\omega} & 0 \\ 0 & 0 & \lambda - \frac{r\beta\delta\delta}{\delta\mu + \delta\omega + \mu^2 + \mu\omega} + \mu + \omega I + \epsilon & -\frac{\beta\delta\delta}{\delta\mu + \delta\omega + \mu^2 + \mu\omega} & 0 \\ 0 & 0 & -\epsilon - \omega I & \lambda + \mu + \alpha & 0 \\ 0 & -\omega & 0 & 0 & \lambda + \mu \end{bmatrix}$$

> Characteristic Polynomial (λ , lambda)

$$\lambda^5 + \frac{1}{\delta\mu + \delta\omega + \mu^2 + \mu\omega} \left((-\beta\beta\delta r + \alpha\delta\mu + \alpha\delta\omega + \alpha\mu^2 + \alpha\mu\omega + \delta^2\mu + \delta^2\omega + 6\delta\mu^2 + 7\delta\mu\omega + \delta\mu\omega l + \delta\mu e + \delta\omega^2 + \delta\omega\omega l + \delta\omega e + 5\mu^3 + 6\mu^2\omega + \mu^2\omega l - \mu\omega^2 + \mu\omega\omega l + \mu\omega e) \lambda^4 \right) - \frac{1}{\delta\mu + \delta\omega + \mu^2 + \mu\omega} \left((\alpha\delta\beta\delta r + \beta\beta\delta^2 r + 4\beta\beta\delta\mu r + \beta\beta\delta\omega r - \alpha\delta^2\mu - \alpha\delta^2\omega - 5\alpha\delta\mu^2 - 6\alpha\delta\mu\omega - \alpha\delta\mu\omega l - \alpha\delta\mu e - \alpha\delta\omega^2 - \alpha\delta\omega\omega l - \alpha\delta\omega e - 4\alpha\mu^3 - 5\alpha\mu^2\omega - \alpha\mu^2\omega l - \alpha\mu^2e - \alpha\mu\omega^2 - \alpha\mu\omega\omega l - \alpha\mu\omega e + \beta\beta\delta\omega l + \beta\beta\delta e - 4\delta^2\mu^3 - 5\delta^2\mu^2\omega - \delta^2\mu\omega l - \delta^2\mu e - \delta^2\omega\omega l - \delta^2\omega e - 14\delta\mu^3 - 19\delta\mu^2\omega - 5\delta\mu^2\omega l - 5\delta\mu^2e - 5\delta\mu\omega^2 - 6\delta\mu\omega\omega l - 6\delta\mu\omega e - \delta\omega^2\omega l - \delta\omega^2e - 10\mu^4 - 14\mu^3\omega - 4\mu^3\omega l - 4\mu^3e - 4\mu^2\omega^2 - 5\mu^2\omega\omega l - 5\mu^2\omega e - \mu\omega^2\omega l - \mu\omega^2e) \lambda^3 \right) - \frac{1}{\delta\mu + \delta\omega + \mu^2 + \mu\omega} \left((\alpha\delta\beta\delta^2 r + 3\alpha\delta\beta\delta\mu r + \alpha\delta\beta\delta\omega r + 3\beta\beta\delta^2\mu r + \beta\beta\delta^2\omega r + 6\beta\beta\delta\mu^2 r + 3\beta\beta\delta\mu\omega r - 3\alpha\delta^2\mu\omega - \alpha\delta^2\mu\omega l - \alpha\delta^2\mu e - \alpha\delta^2\omega\omega l - \alpha\delta^2\omega e - 9\alpha\delta\mu^3 - 13\alpha\delta\mu^2\omega - 4\alpha\delta\mu^2\omega l - 4\alpha\delta\mu^2e - 4\alpha\delta\mu\omega^2 - 5\alpha\delta\mu\omega\omega l - 5\alpha\delta\mu\omega e - \alpha\delta\omega^2\omega l - \alpha\delta\omega^2e - 6\alpha\mu^4 - 9\alpha\mu^3\omega - 3\alpha\mu^3\omega l - 3\alpha\mu^3e - 3\alpha\mu^2\omega^2 - 4\alpha\mu^2\omega\omega l - 4\alpha\mu^2\omega e - \alpha\mu\omega^2\omega l - \alpha\mu\omega^2e + \beta\beta\delta^2\omega l + \beta\beta\delta^2e + 3\beta\beta\delta\mu\omega l + 3\beta\beta\delta\mu e + \beta\beta\delta\omega\omega l + \beta\beta\delta\omega e - 6\delta^2\mu^3 - 9\delta^2\mu^2\omega - 3\delta^2\mu^2\omega l - 3\delta^2\mu^2e - 3\delta^2\mu\omega^2 - 4\delta^2\mu\omega\omega l - 4\delta^2\mu\omega e - \delta^2\omega\omega l - 16\delta\mu^4 - 25\delta\mu^3\omega - 9\delta\mu^3\omega l - 9\delta\mu^3e - 9\delta\mu^2\omega^2 - 13\delta\mu^2\omega\omega l - 13\delta\mu^2\omega e - 4\delta\mu\omega^2\omega l - 4\delta\mu\omega^2e - 10\mu^5 - 16\mu^4\omega - 6\mu^4\omega l - 6\mu^4e - 6\mu^3\omega^2\omega l - 9\mu^3\omega^2e - 3\mu^3\omega^2\omega l - 3\mu^3\omega^2e) \lambda^2 \right) - \frac{1}{\delta\mu + \delta\omega + \mu^2 + \mu\omega} \left((2\alpha\delta\beta\delta^2\mu r + \alpha\delta\beta\delta^2\omega r + 3\alpha\delta\beta\delta\mu^2 r + 2\alpha\delta\beta\delta\mu\omega r + 3\beta\beta\delta^2\mu^2 r + 2\beta\beta\delta^2\mu\omega r + 4\beta\beta\delta\mu^2 r + 3\beta\beta\delta\mu\omega r - 3\alpha\delta^2\mu^3 - 5\alpha\delta^2\mu^2\omega - 2\alpha\delta^2\mu^2\omega l - 2\alpha\delta^2\mu^2e - 2\alpha\delta^2\mu\omega^2 - 3\alpha\delta^2\mu\omega\omega l - 3\alpha\delta^2\mu\omega e - \alpha\delta\omega^2\omega l - \alpha\delta\omega^2e - 7\alpha\delta\mu^4 - 12\alpha\delta\mu^3\omega - 5\alpha\delta\mu^3\omega l - 5\alpha\delta\mu^3e - 5\alpha\delta\mu^2\omega^2 - 8\alpha\delta\mu^2\omega\omega l - 8\alpha\delta\mu^2\omega e - 3\alpha\delta\mu\omega^2\omega l - 3\alpha\delta\mu\omega^2e - 4\alpha\mu^5 - 7\alpha\mu^4\omega - 3\alpha\mu^4\omega l - 3\alpha\mu^4e - 3\alpha\mu^3\omega^2\omega l - 3\alpha\mu^3\omega^2e - 2\alpha\mu^3\omega^2\omega l - 2\alpha\mu^3\omega^2e + 2\beta\beta\delta^2\mu\omega l + 2\beta\beta\delta^2\mu e + \beta\beta\delta^2\omega\omega l + \beta\beta\delta^2\omega e + 3\beta\beta\delta\mu^2\omega l + 3\beta\beta\delta\mu^2e + 2\beta\beta\delta\mu\omega\omega l + 2\beta\beta\delta\mu\omega e - 4\delta^2\mu^4 - 7\delta^2\mu^3\omega - 3\delta^2\mu^3\omega l - 3\delta^2\mu^3e - 3\delta^2\mu^2\omega^2 - 3\delta^2\mu^2\omega\omega l - 3\delta^2\mu^2\omega e - 2\delta^2\mu^2\omega^2\omega l - 2\delta^2\mu^2\omega^2e - 9\delta\mu^5 - 16\delta\mu^4\omega - 7\delta\mu^4\omega l - 7\delta\mu^4e - 7\delta\mu^3\omega^2 - 12\delta\mu^3\omega\omega l - 12\delta\mu^3\omega e - 5\delta\mu^2\omega^2\omega l - 5\delta\mu^2\omega^2e - 5\mu^6 - 9\mu^5\omega - 4\mu^5\omega l - 4\mu^5e - 4\mu^4\omega^2 - 7\mu^4\omega\omega l - 7\mu^4\omega e - 3\mu^4\omega^2\omega l - 3\mu^4\omega^2e) \lambda \right) - \mu \left(\alpha\delta\beta\delta r + \beta\beta\delta\mu r - \alpha\delta\mu^2 - \alpha\delta\mu\omega - \alpha\delta\mu\omega l - \alpha\delta\mu e - \alpha\delta\omega\omega l - \alpha\delta\omega e - \alpha\mu^3 - \alpha\mu^2\omega - \alpha\mu^2\omega l - \alpha\mu^2e - \alpha\mu\omega^2 - \alpha\mu\omega\omega l - \alpha\mu\omega e + \beta\beta\delta\omega l + \beta\beta\delta e - \delta\mu^3 - \delta\mu^2\omega - \delta\mu^2\omega l - \delta\mu^2e - \delta\mu\omega\omega l - \delta\mu\omega e - \mu^4 - \mu^3\omega - \mu^3\omega l - \mu^3e - \mu^2\omega\omega l - \mu^2\omega e \right)$$

3. Analisis kestabilan titik kesetimbangan endemik

> #mencari analisis kesetimbangan endemik
 > restart : with(linalg) : with(DEtools) : with(VectorCalculus) : with(LinearAlgebra) :
 > C := Jacobian([$\delta - \delta m - \mu m, \delta m - \beta s l - r \beta s e - (\mu + \omega) s, \beta s l + r \beta s e - (e + \mu + \omega l) e, (e + \mu + \omega l) e - (\mu + \omega) l, \omega s - \mu \nu] , [m, s, e, l]$

$$C := \begin{bmatrix} -\delta - \mu & 0 & 0 & 0 & 0 \\ \delta & -\beta e r - \beta l - \mu - \omega & -r \beta s & -\beta s & 0 \\ 0 & \beta e r + \beta l & \beta r s - \mu - \omega l - e & \beta s & 0 \\ 0 & 0 & e + \omega l & -\mu - \alpha & 0 \\ 0 & \omega & 0 & 0 & -\mu \end{bmatrix}$$

> m := kI

m := kI

> s := $\frac{\delta k^2}{r\alpha}$

s := $\frac{\delta k^2}{r\alpha}$

> e := $\frac{(r\alpha - 1) k^2}{\beta}$

e := $\frac{(r\alpha - 1) k^2}{\beta}$

> l := $\frac{(r\alpha - 1) k l}{\beta}$

l := $\frac{(r\alpha - 1) k l}{\beta}$

> H := $\begin{bmatrix} -\delta - \mu & 0 & 0 & 0 & 0 \\ \delta & -\beta e r - \beta l - \mu - \omega & -r \beta s & -\beta s & 0 \\ 0 & \beta e r + \beta l & \beta r s - \mu - \omega l - e & \beta s & 0 \\ 0 & 0 & e + \omega l & -\mu - \alpha & 0 \\ 0 & \omega & 0 & 0 & -\mu \end{bmatrix}$

4. Simulasi dengan parameter $\beta = 0.0049$

```

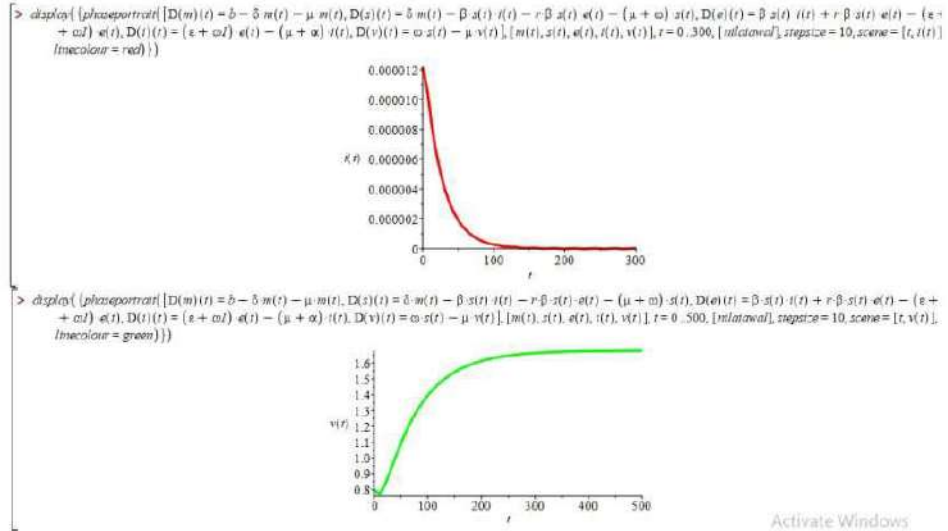
> #simulasi untuk beta=0.0049
> restart : with(linalg) : with(DEtools) : with(VectorCalculus) : with(LinearAlgebra) : with(plots) :
> b := 0.0327266; delta := 0.167; beta := 0.0049; r := 0.5; mu := 0.014682; omega := 0.0666318; c1 := 0.001; e := 0.9; alpha := 0.0264
      b := 0.0327266
      delta := 0.167
      beta := 0.0049
      r := 0.5
      mu := 0.014682
      omega := 0.0666318
      c1 := 0.001
      e := 0.9
      alpha := 0.0264

> #Nilas R0
> r0 := (beta*delta*(alpha+mu*r+c1+e))/(delta*(mu+omega)*(alpha+mu)*(e+mu+c1))
      r0 := 0.04440743481

> e1 := solve({delta-delta*m-m=0, delta-beta*s-i-r*beta*x-e-(mu+omega)*s=0, beta*x+i+r*beta*x-e-(e+mu+c1)*e=0, (e+c1)*e-(mu+alpha)*i=0, omega*x-m*v=0}, {m, x, e, i})
      e1 := {e = 0., i = 0., m = 0.1801312183, s = 0.3699484599, v = 1.678949084}, {e = -0.7069321494, i = -15.50426091, m = 0.1801312183, s = 8.330777076, v = 37.80783762}
> #initial
      #initial := {m(0)=0.19636, s(0)=0.00404417, e(0)=0.00000165, i(0)=0.0000122, v(0)=0.799582}
      #initial := {e(0)=0.00000165, i(0)=0.0000122, m(0)=0.19636, s(0)=0.00404417, v(0)=0.799582}
> display([phaseportrait([D(m)(t)=delta-delta*m(t)-mu*m(t), D(s)(t)=delta*m(t)-beta*s(t)-r*beta*s(t)*e(t)-(mu+omega)*s(t), D(e)(t)=beta*s(t)+r*beta*s(t)*e(t)-(e+mu+c1)*e(t), D(i)(t)=(e+c1)*e(t)-(mu+alpha)*i(t), D(v)(t)=omega*s(t)-mu*v(t)], [m(t), s(t), e(t), i(t), v(t)], t=0..100, [initial], stepsize=10, scene=[t, m(t)], linestyle=purple)]);
      0.196
      0.194
      0.192
      0.190
      0.188
      0.186
      0.184
      0.182
      m(t)
      0 20 40 60 80 100
      t

> display([phaseportrait([D(m)(t)=delta-delta*m(t)-mu*m(t), D(s)(t)=delta*m(t)-beta*s(t)-r*beta*s(t)*e(t)-(mu+omega)*s(t), D(e)(t)=beta*s(t)+r*beta*s(t)*e(t)-(e+mu+c1)*e(t), D(i)(t)=(e+c1)*e(t)-(mu+alpha)*i(t), D(v)(t)=omega*s(t)-mu*v(t)], [m(t), s(t), e(t), i(t), v(t)], t=0..100, [initial], stepsize=10, scene=[t, s(t)], linestyle=yellow)]);
      0.35
      0.30
      0.25
      0.20
      0.15
      0.10
      0.05
      s(t)
      0 20 40 60 80 100
      t

> display([phaseportrait([D(m)(t)=delta-delta*m(t)-mu*m(t), D(s)(t)=delta*m(t)-beta*s(t)-r*beta*s(t)*e(t)-(mu+omega)*s(t), D(e)(t)=beta*s(t)+r*beta*s(t)*e(t)-(e+mu+c1)*e(t), D(i)(t)=(e+c1)*e(t)-(mu+alpha)*i(t), D(v)(t)=omega*s(t)-mu*v(t)], [m(t), s(t), e(t), i(t), v(t)], t=0..100, [initial], stepsize=10, scene=[t, e(t)], linestyle=blue)]);
      1.6 x 10^-6
      1.4 x 10^-6
      1.2 x 10^-6
      1.0 x 10^-6
      8. x 10^-7
      6. x 10^-7
      4. x 10^-7
      2. x 10^-7
      e(t)
      0 20 40 60 80 100
      t
  
```



5. Simulasi dengan parameter $\beta = 0.8589$ dan penentuan proporsi minimum pemberian vaksin pada subpopulasi *susceptible*

```

> simulasi vaksin beta=0.8589
> #Tempa Validasi
> restart : with(intalg):with(DEtools):with(VectorCalculus):with(LinearAlgebra):with(plots):
> b := 0.0327266, delta := 0.167, beta := 0.8589, r := 0.5, mu := 0.0146842, omega := 0, omega1 := 0.001, e := 0.9, alpha := 0.0264
      delta := 0.167
      beta := 0.8589
      r := 0.5
      mu := 0.0146842
      omega := 0
      omega1 := 0.001
      e := 0.9
      alpha := 0.0264
> r0 := (beta*delta*(alpha+mu*r+omega1+e))/(delta+mu*(mu+omega)*(alpha+mu)*(e+mu+omega))
      r0 := 43.10097906
> initial := (m(0)=0.190,s(0)=0.004,e(0)=0.0000010,i(0)=0.000012,v(0)=0.799582)
      initial := (e(0)=0.0000010,i(0)=0.000012,m(0)=0.190,s(0)=0.004,v(0)=0.799582)
> alat := solve([b-delta*m-mu*m=0,delta*m-beta*s*i-r*beta*s*e-(mu+omega)*s=0,beta*s*i+r*beta*s*e-(e+mu+omega)*e=0,(e+omega)*e-(mu+alpha)*i=0,omega*s-mu*v=0],[m,
      alat := (a=0,t=0,m=0.1801290371,s=2.048565751,v=0.1),(a=0.03208924783,i=0.7037355562,m=0.1801290371,s=0.04752944818,v=0.)

```

```

> #simulasi untuk beta=0.8589
> #Faktorasi 10%
> restart : with(intalg) : with(DEtools) : with(VectorCalculus) : with(LinearAlgebra) : with(plots) :
> b := 0.0327266, delta := 0.167, beta := 0.8589, r := 0.5, mu := 0.0146842, omega := 0.1, omegaI := 0.001, epsilon := 0.9, alpha := 0.0264
      delta := 0.0327266
      delta := 0.167
      beta := 0.8589
      r := 0.5
      mu := 0.0146842
      omega := 0.1
      omegaI := 0.001
      epsilon := 0.9
      alpha := 0.0264

> r0 := (beta*delta*(alpha+mu*r+omegaI+epsilon)) / ((delta+mu)*(mu+omega)*(alpha+mu)*(epsilon+mu+omegaI))
      r0 := 5.518562524

> nilatawal := (m(0) = 0.196, z(0) = 0.004, e(0) = 0.0000016, i(0) = 0.000012, v(0) = 0.799582)
      nilatawal := (e(0) = 0.0000016, i(0) = 0.000012, m(0) = 0.196, z(0) = 0.004, v(0) = 0.799582)

> ebsol := solve([delta - delta*m - mu*m = 0, delta*m - beta*z*i - r*beta*z*e - (mu+omega)*z = 0, beta*z*i + r*beta*z*e - (epsilon+mu+omegaI)*e = 0, (epsilon+omegaI)*e - (mu+alpha)*i = 0, omega*z - mu*v = 0], [m, e, z, i, v], m = 0.1801290371, z = 0.3622989845, v = 1.786266766), [e = 0.02689865398, i = 0.5899028638, m = 0.1801290371, z = 0.04752944818, v = 0.3236]

> #simulasi untuk beta=0.8589
> #Faktorasi 20%
> restart : with(intalg) : with(DEtools) : with(VectorCalculus) : with(LinearAlgebra) : with(plots) :
> b := 0.0327266, delta := 0.167, beta := 0.8589, r := 0.5, mu := 0.0146842, omega := 0.2, omegaI := 0.001, epsilon := 0.9, alpha := 0.0264
      delta := 0.0327266
      delta := 0.167
      beta := 0.8589
      r := 0.5
      mu := 0.0146842
      omega := 0.2
      omegaI := 0.001
      epsilon := 0.9
      alpha := 0.0264

> r0 := (beta*delta*(alpha+mu*r+omegaI+epsilon)) / ((delta+mu)*(mu+omega)*(alpha+mu)*(epsilon+mu+omegaI))
      r0 := 2.948006959

> nilatawal := (m(0) = 0.196, z(0) = 0.004, e(0) = 0.0000016, i(0) = 0.000012, v(0) = 0.799582)
      nilatawal := (e(0) = 0.0000016, i(0) = 0.000012, m(0) = 0.196, z(0) = 0.004, v(0) = 0.799582)

> ebsol := solve([delta - delta*m - mu*m = 0, delta*m - beta*z*i - r*beta*z*e - (mu+omega)*z = 0, beta*z*i + r*beta*z*e - (epsilon+mu+omegaI)*e = 0, (epsilon+omegaI)*e - (mu+alpha)*i = 0, omega*z - mu*v = 0], [m, e, z, i, v], m = 0.1801290371, z = 0.1461199958, v = 1.908445755), [e = 0.02170806009, i = 0.4760701715, m = 0.1801290371, z = 0.04752944818, v = 0.6473]

> #simulasi untuk beta=0.8589
> #Faktorasi 30%
> restart : with(intalg) : with(DEtools) : with(VectorCalculus) : with(LinearAlgebra) : with(plots) :
> b := 0.0327266, delta := 0.167, beta := 0.8589, r := 0.5, mu := 0.0146842, omega := 0.3, omegaI := 0.001, epsilon := 0.9, alpha := 0.0264
      delta := 0.0327266
      delta := 0.167
      beta := 0.8589
      r := 0.5
      mu := 0.0146842
      omega := 0.3
      omegaI := 0.001
      epsilon := 0.9
      alpha := 0.0264

> r0 := (beta*delta*(alpha+mu*r+omegaI+epsilon)) / ((delta+mu)*(mu+omega)*(alpha+mu)*(epsilon+mu+omegaI))
      r0 := 2.011233474

> nilatawal := (m(0) = 0.196, z(0) = 0.004, e(0) = 0.0000016, i(0) = 0.000012, v(0) = 0.799582)
      nilatawal := (e(0) = 0.0000016, i(0) = 0.000012, m(0) = 0.196, z(0) = 0.004, v(0) = 0.799582)

> ebsol := solve([delta - delta*m - mu*m = 0, delta*m - beta*z*i - r*beta*z*e - (mu+omega)*z = 0, beta*z*i + r*beta*z*e - (epsilon+mu+omegaI)*e = 0, (epsilon+omegaI)*e - (mu+alpha)*i = 0, omega*z - mu*v = 0], [m, e, z, i, v], m = 0.1801290371, z = 0.09559281716, v = 1.952972933), [e = 0.01651746619, i = 0.3621374792, m = 0.1801290371, z = 0.04752944818, v = 0.9710324330]

```

```

> #stimulasi untuk beta=0.8589
> #Validasi 40%
> restart : with(Imalg) : with(DEtools) : with(VectorCalculus) : with(LinearAlgebra) : with(plots) :
> b := 0.0327266; delta := 0.167; beta := 0.8589; r := 0.5; mu := 0.0146842; omega := 0.4; alpha := 0.001; epsilon := 0.9; xi := 0.0264
      beta := 0.0327266
      delta := 0.167
      beta := 0.8589
      r := 0.5
      mu := 0.0146842
      omega := 0.4
      alpha := 0.001
      epsilon := 0.9
      xi := 0.0264
> rho := (beta * delta * b * (alpha * r + mu * r + omega * epsilon)) / ((delta + mu) * (mu + omega) * (alpha + mu) * (epsilon + mu + omega))
      rho := 1.5216229812
> mltawal := {m(0) = 0.196, s(0) = 0.004, e(0) = 0.0000016, i(0) = 0.000012, v(0) = 0.799582}
      mltawal := {e(0) = 0.0000016, i(0) = 0.000012, m(0) = 0.196, s(0) = 0.004, v(0) = 0.799582}
> eku := solve({delta - delta * m - mu * m = 0, delta * m - beta * s - r * beta * s * e - (mu + omega) * s = 0, beta * s + r * beta * s * e - (epsilon + mu + omega) * s = 0, (epsilon + omega) * s - (mu + omega) * i = 0, omega * i - mu * v = 0}, {m, s, i, v}, t = 0, m = 0.1801290371, s = 0.07254086168, v = 1.976024889}, {e = 0.01132687230, i = 0.2484647868, m = 0.1801290371, s = 0.04752944818, v = 1.2944444444444444}
> #stimulasi untuk beta=0.8589
> #Validasi 50%
> restart : with(Imalg) : with(DEtools) : with(VectorCalculus) : with(LinearAlgebra) : with(plots) :
> b := 0.0327266; delta := 0.167; beta := 0.8589; r := 0.5; mu := 0.0146842; omega := 0.5; alpha := 0.001; epsilon := 0.9; xi := 0.0264
      beta := 0.0327266
      delta := 0.167
      beta := 0.8589
      r := 0.5
      mu := 0.0146842
      omega := 0.5
      alpha := 0.001
      epsilon := 0.9
      xi := 0.0264
> rho := (beta * delta * b * (alpha * r + mu * r + omega * epsilon)) / ((delta + mu) * (mu + omega) * (alpha + mu) * (epsilon + mu + omega))
      rho := 1.219692687
> mltawal := {m(0) = 0.196, s(0) = 0.004, e(0) = 0.0000016, i(0) = 0.000012, v(0) = 0.799582}
      mltawal := {e(0) = 0.0000016, i(0) = 0.000012, m(0) = 0.196, s(0) = 0.004, v(0) = 0.799582}
> eku := solve({delta - delta * m - mu * m = 0, delta * m - beta * s - r * beta * s * e - (mu + omega) * s = 0, beta * s + r * beta * s * e - (epsilon + mu + omega) * s = 0, (epsilon + omega) * s - (mu + omega) * i = 0, omega * i - mu * v = 0}, {m, s, i, v}, t = 0, m = 0.1801290371, s = 0.05844661482, v = 1.99019136}, {e = 0.006136278406, i = 0.1345720945, m = 0.1801290371, s = 0.04752944818, v = 1.618387348}
> #stimulasi untuk beta=0.8589
> #Validasi 60%
> restart : with(Imalg) : with(DEtools) : with(VectorCalculus) : with(LinearAlgebra) : with(plots) :
> b := 0.0327266; delta := 0.167; beta := 0.8589; r := 0.5; mu := 0.0146842; omega := 0.6; alpha := 0.001; epsilon := 0.9; xi := 0.0264
      beta := 0.0327266
      delta := 0.167
      beta := 0.8589
      r := 0.5
      mu := 0.0146842
      omega := 0.6
      alpha := 0.001
      epsilon := 0.9
      xi := 0.0264
> rho := (beta * delta * b * (alpha * r + mu * r + omega * epsilon)) / ((delta + mu) * (mu + omega) * (alpha + mu) * (epsilon + mu + omega))
      rho := 1.029639930
> mltawal := {m(0) = 0.196, s(0) = 0.004, e(0) = 0.0000016, i(0) = 0.000012, v(0) = 0.799582}
      mltawal := {e(0) = 0.0000016, i(0) = 0.000012, m(0) = 0.196, s(0) = 0.004, v(0) = 0.799582}
> eku := solve({delta - delta * m - mu * m = 0, delta * m - beta * s - r * beta * s * e - (mu + omega) * s = 0, beta * s + r * beta * s * e - (epsilon + mu + omega) * s = 0, (epsilon + omega) * s - (mu + omega) * i = 0, omega * i - mu * v = 0}, {m, s, i, v}, t = 0, m = 0.1801290371, s = 0.04893821770, v = 1.999627533}, {e = 0.0009456845115, i = 0.02073940213, m = 0.1801290371, s = 0.04752944818, v = 1.942084866}

```

```

> #simulasi untuk  $\beta=0.8589$ 
> #Validasi 70%
> restart : with(intalg) : with(DEtools) : with(VectorCalculus) : with(LinearAlgebra) : with(plots) :
> b := 0.0327266;  $\delta := 0.167$ ;  $\beta := 0.8589$ ;  $r := 0.5$ ;  $\mu := 0.0146842$ ;  $\omega := 0.7$ ;  $\alpha := 0.001$ ;  $\epsilon := 0.9$ ;  $\alpha := 0.0264$ 
      b := 0.0327266
       $\delta := 0.167$ 
       $\beta := 0.8589$ 
      r := 0.5
       $\mu := 0.0146842$ 
       $\omega := 0.7$ 
       $\alpha := 0.001$ 
       $\epsilon := 0.9$ 
       $\alpha := 0.0264$ 

>  $ro := \frac{\beta \cdot \delta \cdot b (\alpha r + \mu r + \omega) + \epsilon}{(\delta + \mu) (\mu + \omega) (\alpha + \mu) (\epsilon + \mu + \omega)}$ 
      ro := 0.8855707116

> relatarwal := (m(0) = 0.196, s(0) = 0.004, e(0) = 0.0000016, i(0) = 0.000012, v(0) = 0.799582)
      relatarwal := (e(0) = 0.0000016, i(0) = 0.000012, m(0) = 0.196, s(0) = 0.004, v(0) = 0.799582)

> etau := solve({b -  $\delta \cdot m - \mu \cdot n = 0$ ,  $\delta \cdot m - \beta \cdot s - r \cdot \beta \cdot s \cdot e - (\mu + \omega) \cdot s = 0$ ,  $\beta \cdot s + r \cdot \beta \cdot s \cdot e - (\epsilon + \mu + \omega) \cdot e = 0$ ,  $(\epsilon + \omega) \cdot e - (\mu + \alpha) \cdot i = 0$ ,  $\omega \cdot s - \mu \cdot v = 0$ }, {m, n, s, e, i, v})
      etau := (e = 0., i = 0., m = 0.1801290371, s = 0.64209068732, v = 2.006475063), (e = -0.004244909383, i = -0.09309329022, m = 0.1801290371, s = 0.04752944818, v = 2.265742344)

> #simulasi untuk  $\beta=0.8589$ 
> #Validasi 80%
> restart : with(intalg) : with(DEtools) : with(VectorCalculus) : with(LinearAlgebra) : with(plots) :
> b := 0.0327266;  $\delta := 0.167$ ;  $\beta := 0.8589$ ;  $r := 0.5$ ;  $\mu := 0.0146842$ ;  $\omega := 0.8$ ;  $\alpha := 0.001$ ;  $\epsilon := 0.9$ ;  $\alpha := 0.0264$ 
      b := 0.0327266
       $\delta := 0.167$ 
       $\beta := 0.8589$ 
      r := 0.5
       $\mu := 0.0146842$ 
       $\omega := 0.8$ 
       $\alpha := 0.001$ 
       $\epsilon := 0.9$ 
       $\alpha := 0.0264$ 

>  $ro := \frac{\beta \cdot \delta \cdot b (\alpha r + \mu r + \omega) + \epsilon}{(\delta + \mu) (\mu + \omega) (\alpha + \mu) (\epsilon + \mu + \omega)}$ 
      ro := 0.7768096102

> relatarwal := (m(0) = 0.196, s(0) = 0.004, e(0) = 0.0000016, i(0) = 0.000012, v(0) = 0.799582)
      relatarwal := (e(0) = 0.0000016, i(0) = 0.000012, m(0) = 0.196, s(0) = 0.004, v(0) = 0.799582)

> etau := solve({b -  $\delta \cdot m - \mu \cdot n = 0$ ,  $\delta \cdot m - \beta \cdot s - r \cdot \beta \cdot s \cdot e - (\mu + \omega) \cdot s = 0$ ,  $\beta \cdot s + r \cdot \beta \cdot s \cdot e - (\epsilon + \mu + \omega) \cdot e = 0$ ,  $(\epsilon + \omega) \cdot e - (\mu + \alpha) \cdot i = 0$ ,  $\omega \cdot s - \mu \cdot v = 0$ }, {m, n, s, e, i, v})
      etau := (e = 0., i = 0., m = 0.1801290371, s = 0.03692418387, v = 2.011641567), (e = -0.009435503277, i = -0.2069259826, m = 0.1801290371, s = 0.04752944818, v = 2.389419821)

> #simulasi untuk  $\beta=0.8589$ 
> #Validasi 90%
> restart : with(intalg) : with(DEtools) : with(VectorCalculus) : with(LinearAlgebra) : with(plots) :
> b := 0.0327266;  $\delta := 0.167$ ;  $\beta := 0.8589$ ;  $r := 0.5$ ;  $\mu := 0.0146842$ ;  $\omega := 0.9$ ;  $\alpha := 0.001$ ;  $\epsilon := 0.9$ ;  $\alpha := 0.0264$ 
      b := 0.0327266
       $\delta := 0.167$ 
       $\beta := 0.8589$ 
      r := 0.5
       $\mu := 0.0146842$ 
       $\omega := 0.9$ 
       $\alpha := 0.001$ 
       $\epsilon := 0.9$ 
       $\alpha := 0.0264$ 

>  $ro := \frac{\beta \cdot \delta \cdot b (\alpha r + \mu r + \omega) + \epsilon}{(\delta + \mu) (\mu + \omega) (\alpha + \mu) (\epsilon + \mu + \omega)}$ 
      ro := 0.6919365138

> relatarwal := (m(0) = 0.196, s(0) = 0.004, e(0) = 0.0000016, i(0) = 0.000012, v(0) = 0.799582)
      relatarwal := (e(0) = 0.0000016, i(0) = 0.000012, m(0) = 0.196, s(0) = 0.004, v(0) = 0.799582)

> etau := solve({b -  $\delta \cdot m - \mu \cdot n = 0$ ,  $\delta \cdot m - \beta \cdot s - r \cdot \beta \cdot s \cdot e - (\mu + \omega) \cdot s = 0$ ,  $\beta \cdot s + r \cdot \beta \cdot s \cdot e - (\epsilon + \mu + \omega) \cdot e = 0$ ,  $(\epsilon + \omega) \cdot e - (\mu + \alpha) \cdot i = 0$ ,  $\omega \cdot s - \mu \cdot v = 0$ }, {m, n, s, e, i, v})
      etau := (e = 0., i = 0., m = 0.1801290371, s = 0.03288736608, v = 2.015078390), (e = -0.01462609717, i = -0.3207586749, m = 0.1801290371, s = 0.04752944818, v = 2.913097299)

```

```

> #Simulasi untuk beta=0.8589
> #Vaksinasi 100%
> restart: with(Insig): with(DEtools): with(VectorCalculus): with(LinearAlgebra): with(plots):
> b := 0.0327266; delta := 0.167; beta := 0.8589; r := 0.5; mu := 0.0146842; omega := 1; cwl := 0.001; e := 0.9; alpha := 0.0264
      b := 0.0327266
      delta := 0.167
      beta := 0.8589
      r := 0.5
      mu := 0.0146842
      omega := 1
      cwl := 0.001
      e := 0.9
      alpha := 0.0264
> rho := (beta*delta*b*(alpha+mu*r+cwl+e))/(
      (delta+mu)*(mu+omega)*(alpha+mu)*(e+mu+cwl))
      rho := 0.6237442119
> nilatawal := {m(0) = 0.196, s(0) = 0.004, e(0) = 0.0000016, i(0) = 0.000012, v(0) = 0.799582}
      nilatawal := {e(0) = 0.0000016, i(0) = 0.000012, m(0) = 0.196, s(0) = 0.004, v(0) = 0.799582}
> a := solve({delta - delta*m - mu*m = 0, delta*m - beta*s*i - r*beta*s*e - (mu+omega)*s = 0, beta*s*i + r*beta*s*e - (e+mu+cwl)*e = 0, (e+cwl)*e - (mu+alpha)*e - (mu+v) = 0}, {m, s, i, e, v})
      a := {e = 0, i = 0, m = 0.1801290371, s = 0.02964621820, v = 2.018919532}, {e = -0.01981669107, i = -0.4345913672, m = 0.1801290371, s = 0.04752944818, v = 3.230774777}

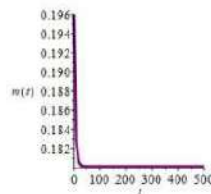
```

6. Simulasi dengan parameter $\beta = 0.8589$ dengan tanpa vaksinasi

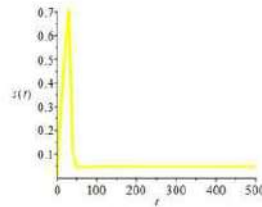
```

> #Simulasi perbandingan grafik model MSEIY dengan 0% dan 70% vaksinasi
> #Tanpa Vaksinasi
> restart: with(Insig): with(DEtools): with(VectorCalculus): with(LinearAlgebra): with(plots):
> b := 0.0327266; delta := 0.167; beta := 0.8589; r := 0.5; mu := 0.0146842; omega := 0; cwl := 0.001; e := 0.9; alpha := 0.0264
      b := 0.0327266
      delta := 0.167
      beta := 0.8589
      r := 0.5
      mu := 0.0146842
      omega := 0
      cwl := 0.001
      e := 0.9
      alpha := 0.0264
> nilatawal := {m(0) = 0.196, s(0) = 0.004, e(0) = 0.0000016, i(0) = 0.000012, v(0) = 0.799582}
      nilatawal := {e(0) = 0.0000016, i(0) = 0.000012, m(0) = 0.196, s(0) = 0.004, v(0) = 0.799582}
> display([phaseportrait([D(m)(t) = b - delta*m(t) - mu*m(t), D(s)(t) = delta*m(t) - beta*s(t)*i(t) - r*beta*s(t)*e(t) - (mu+omega)*s(t), D(e)(t) = beta*s(t)*i(t) + r*beta*s(t)*e(t) + cwl*e(t), D(i)(t) = (e+cwl)*e(t) - (mu+alpha)*i(t), D(v)(t) = alpha*s(t) - mu*v(t)], [m(t), s(t), e(t), i(t), v(t)], t = 0..500, [nilatawal], stepsize = 10, scene = [t, tncolor = purple])])

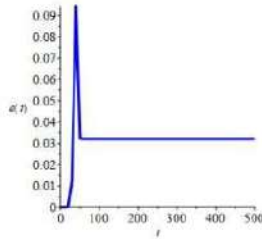
```



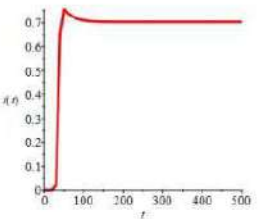
```
> display({phaseportrait([D(m)(t) = b - d m(t) - mu m(t), D(s)(t) = d m(t) - beta s(t) i(t) - r beta s(t) e(t) - (mu + omega) s(t), D(e)(t) = beta s(t) i(t) + r beta s(t) e(t) - (e + omega) e(t), D(i)(t) = (e + omega) e(t) - (mu + alpha) i(t), D(v)(t) = omega s(t) - mu v(t)], [m(t), s(t), e(t), i(t), v(t)], t = 0..500, [initialval], stepsize = 10, scene = [t, imecolour = yellow])})
```



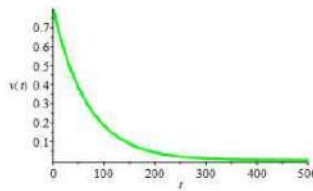
```
> display({phaseportrait([D(m)(t) = b - d m(t) - mu m(t), D(s)(t) = d m(t) - beta s(t) i(t) - r beta s(t) e(t) - (mu + omega) s(t), D(e)(t) = beta s(t) i(t) + r beta s(t) e(t) - (e + omega) e(t), D(i)(t) = (e + omega) e(t) - (mu + alpha) i(t), D(v)(t) = omega s(t) - mu v(t)], [m(t), s(t), e(t), i(t), v(t)], t = 0..500, [initialval], stepsize = 10, scene = [t, e imecolour = blue])})
```



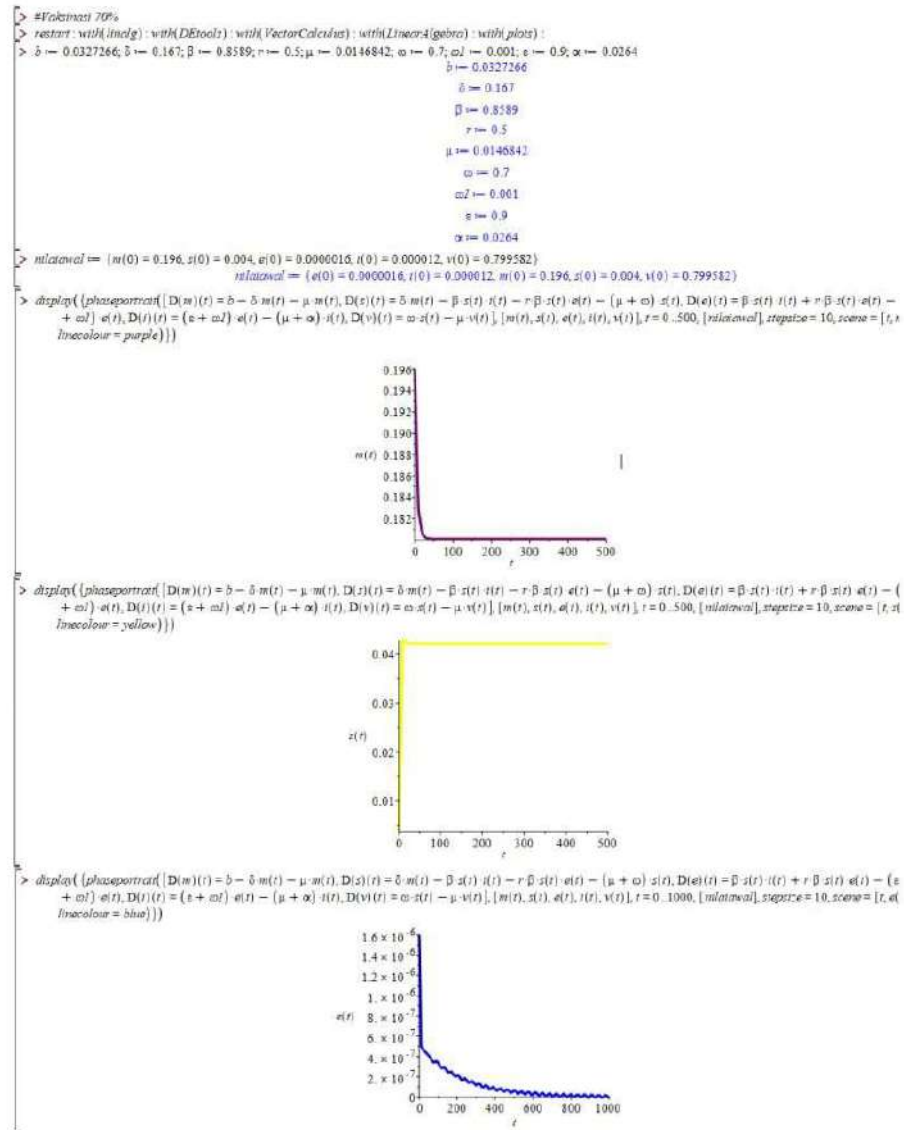
```
> display({phaseportrait([D(m)(t) = b - d m(t) - mu m(t), D(s)(t) = d m(t) - beta s(t) i(t) - r beta s(t) e(t) - (mu + omega) s(t), D(e)(t) = beta s(t) i(t) + r beta s(t) e(t) - (e + omega) e(t), D(i)(t) = (e + omega) e(t) - (mu + alpha) i(t), D(v)(t) = omega s(t) - mu v(t)], [m(t), s(t), e(t), i(t), v(t)], t = 0..500, [initialval], stepsize = 10, scene = [t, i(t)] imecolour = red])})
```



```
> display({phaseportrait([D(m)(t) = b - d m(t) - mu m(t), D(s)(t) = d m(t) - beta s(t) i(t) - r beta s(t) e(t) - (mu + omega) s(t), D(e)(t) = beta s(t) i(t) + r beta s(t) e(t) - (e + omega) e(t), D(i)(t) = (e + omega) e(t) - (mu + alpha) i(t), D(v)(t) = omega s(t) - mu v(t)], [m(t), s(t), e(t), i(t), v(t)], t = 0..500, [initialval], stepsize = 10, scene = [t, v(t)] imecolour = green])})
```



7. Simulasi dengan parameter $\beta = 0.8589$ dengan proporsi minimum vaksinasi 70% pada sub populasi *susceptible*



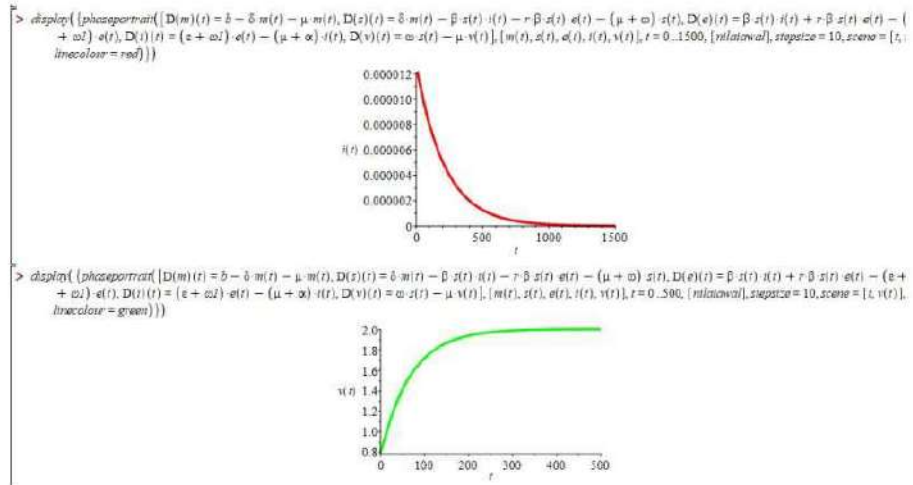


TIM VALIDASI PROGRAM STUDI MATEMATIKA

Fakultas Sains dan Teknologi

Universitas Islam Negeri Alauddin Makassar

Kampus II : Jalan Sultan Alauddin No. 36, Romang Polong, Gowa. Telp:(0411) 8221400



DAFTAR RIWAYAT HIDUP



Sri Wahyuni, akrab disapa Uni. Penulis lahir di Sinjai, Provinsi Sulawesi Selatan tanggal 2 Februari 2002. Lahir sebagai anak ketiga dari tiga bersaudara dan merupakan putri dari pasangan H. Usman, dan Hj.Kambe T, S.Pd. Penulis bertempat tinggal di Jln. Bung, lorong 6 No. 12, Kel. Tamalanrea Jaya, Kec. Tamalanrea, Makassar. Penulis menempuh pendidikan dasar di SDN 153 Baruttung pada tahun 2007 dan lulus di tahun 2013. Pada tahun yang sama melanjutkan pendidikan di tingkat Sekolah Menengah Pertama di SMPN 2 Bulupoddo tahun 2013-2016. Kemudian dilanjutkan di SMAN 4 Sinjai dan lulus pada tahun 2019. Pada tahun yang sama penulis melanjutkan pendidikan program Strata Satu (S1) di Universitas Islam Negeri (UIN) Alauddin Makaasar Jurusan Matematika Fakultas Sains dan Teknologi.

UNIVERSITAS ISLAM NEGERI
ALAUDDIN
MAKASSAR